

29  
88



UNIVERSIDAD NACIONAL AUTONOMA DE MEXICO  

---

FACULTAD DE QUIMICA

**CALCULO DE PROPIEDADES  
TERMODINAMICAS CON  
UNA ECUACION DE ESTADO  
GENERALIZADA DE  
CADENA DE ROTORES.**

**T E S I S**  
QUE PARA OBTENER EL TITULO DE  
**INGENIERO QUIMICO**  
P R E S E N T A :  
EDUARDO VILLARREAL MARTINEZ

México D.F.

1986



## **UNAM – Dirección General de Bibliotecas Tesis Digitales Restricciones de uso**

### **DERECHOS RESERVADOS © PROHIBIDA SU REPRODUCCIÓN TOTAL O PARCIAL**

Todo el material contenido en esta tesis está protegido por la Ley Federal del Derecho de Autor (LFDA) de los Estados Unidos Mexicanos (México).

El uso de imágenes, fragmentos de videos, y demás material que sea objeto de protección de los derechos de autor, será exclusivamente para fines educativos e informativos y deberá citar la fuente donde la obtuvo mencionando el autor o autores. Cualquier uso distinto como el lucro, reproducción, edición o modificación, será perseguido y sancionado por el respectivo titular de los Derechos de Autor.

## INDICE

<b>Capítulo I.</b>	<b>Introducción.</b>	<b>1</b>
<b>Capítulo II.</b>	<b>Modelo de cadena de rotores.</b>	<b>3</b>
- Generalidades -		4
- Potencial intermolecular -		6
- Teoría de perturbación.-		8
- Teoría de Prigogine para cadenas moleculares -		10
- Desarrollo de la función de partición -		12
- Ecuación de estado y propiedades termodinámicas -		14
- Cálculo de la presión de vapor -		16
<b>Capítulo III.</b>	<b>Correlación de parámetros de la ecuación de estado con propiedades críticas.</b>	<b>21</b>
- Conceptos generales -		22
- Cálculo del punto crítico -		22
- Algoritmo para la obtención de correlaciones -		29
- Correlaciones -		32
- Parámetros -		34
<b>Capítulo IV.</b>	<b>Analisis y comparación de resultados.</b>	<b>53</b>
- Presiones de vapor -		56
- Volumen de vapor saturado -		62
- Volumen de líquido saturado -		66
- Datos pVT (isotermas) -		71
- Segundo coeficiente virial -		82
- Datos de una curva de saturación en un diagrama presión-entalpia -		88
- Programas para generar las propiedades mencionadas -		124
<b>Capítulo V.</b>	<b>Conclusiones.</b>	<b>129</b>

**Capítulo VI. Apéndice A**

Elementos de termodinámica estadística.	131
- Conceptos generales -	132
- Ley de distribución de Maxwell-Boltzmann -	132
- Cálculo de las propiedades termodinámicas -	138

**Capítulo VII. Bibliografía.**

142

- LISTA DE SIMBOLOS -

A	energía libre de Helmholtz.
Anm	constante de la ecuación de estado COR.
B	segundo coeficiente virial.
B1, B2, B3	constantes de la ecuación de estado COR.
Cv	capacidad calorífica a volumen constante.
Cp	capacidad calorífica a presión constante.
c	grados de libertad rotacionales equivalentes de una molécula.
E	energía total de un sistema.
$\epsilon_T$	error total.
$\epsilon_i$	error i ( capítulo III)
$\epsilon_i$	estado energético i (apéndice A)
F	fuerza de interacción entre dos moléculas.
f	fugacidad.
G	energía de Guiba.
$g_i$	degeneración o multiplicidad de un estado.
H	entalpia.
k	constante de Boltzman.
N	número de moléculas.
N	número de parejas de datos. (capítulo III)
N	número total de partículas (apéndice A).
$n_i$	número de partículas en el nivel i.
n	número de moles.
p	presión.
$p^0$	presión de vapor.
Q	función de partición de un sistema de partículas.
q	función de partición de una partícula.
R	constante universal de los gases.
r	distancia entre centros de masa de dos moléculas.
S	entropia.
T	temperatura.

- $T^*$  temperatura característica  $T^* = u/k$   
 $\tilde{T}$  temperatura reducida  $\tilde{T} = T/T^*$ .  
 $u$  energía característica.  
 $U$  energía potencial.  
 $U_0$  potencial molecular de un sistema de referencia.  
 $V$  volumen.  
 $V_0$  volumen empacado más cercano.  
 $\tilde{V}$  volumen reducido  $\tilde{V} = V/V_0$ .  
 $z$  factor de compresibilidad.

#### LETRAS GRIEGAS

- $\alpha$  constante de una molécula-cadena de dos segmentos ó constante dumbbell, dada en términos de la relación  $r/\sigma$   
 $\beta$   $= 1/kT$ .  
 $\Delta$  indica una diferencia, un valor final-inicial o diferencia en una propiedad al pasar de un estado a otro.  
 $\mu$  potencial químico.  
 $\Omega$  probabilidad de obtener una distribución dada.  
 $w$  factor acéntrico de Pitzer.  
 $w'$  perturbación.  
 $\sigma$  diámetro molecular.  
 $\tau$   $= \pi \sqrt{2/6}$

#### SUPERINDICES

- $o$  propiedad de gas ideal.  
 $v$  propiedad del vapor.  
 $l$  propiedad del líquido.

## SUBINDICES

- c      propiedad en el punto crítico.
- db     propiedad para una cadena-molécula de dos segmentos ó dumbbell.
- i      propiedad definida en un punto inicial.
- r      propiedad reducida.

## CAPITULO I INTRODUCCION

El diseño de procesos de separación en ingeniería química requiere información cuantitativa acerca de las propiedades termodinámicas de las mezclas y sustancias que se encuentran en cada proceso. Dado que existe una gran cantidad de mezclas y sustancias de interés que puede involucrar un proceso, es difícil obtener todos los datos necesarios directamente a partir de mediciones experimentales, es por eso que son tan importantes los métodos de correlación para predecir la información requerida mediante datos ya existentes. Continúa siendo una necesidad la interpolación y la extensión en forma fragmentaria de los datos, para predecir y diseñar procesos.

Existen tres métodos que se utilizan con mucha frecuencia en correlaciones de propiedades termodinámicas, estos son: ecuación de estado, coeficientes de actividad y métodos de contribución de grupos.

Las ecuaciones de estado se usan en forma amplia para el cálculo de propiedades de fluidos en procesos de ingeniería química, la utilidad de estas ecuaciones ha impulsado un continuo desarrollo de nuevas ecuaciones.

Las ventajas que tiene el método de ecuaciones de estado son:

- 1) Se utiliza la misma ecuación para calcular propiedades de vapores y líquidos sin necesidad de introducir estados de referencia hipotéticos.
- 2) Calcula tanto propiedades de componentes puros como de mezclas, incluyendo altas presiones sin necesidad de relaciones adicionales.

Las ecuaciones de estado se pueden clasificar en: empíricas, teóricas y semiteóricas. Las ecuaciones empíricas se han proyectado gracias a la exactitud adecuada con que se representan los datos experimentales observados. Estas ecuaciones facilitan grandemente la diferenciación e integración de los datos para obtener propiedades termodinámicas derivadas, y así construir tablas y diagramas como por ejemplo las tablas de propiedades del vapor de agua.

La exactitud de ajuste se consigue con el uso de un gran número de términos empíricos y un correspondiente gran número de parámetros de - ecuación para cada sustancia. Las desventajas de estas ecuaciones son:

1) Dificultad para obtener los parámetros necesarios, usualmente del orden de 10 a 20 constantes, y 2) la incertidumbre para extender su aplicación a mezclas. Lo anterior plantea la necesidad de desarrollar ecuaciones que se apoyen en la teoría de modo que el número de parámetros sea pequeño, tres o cuatro, que además tengan sentido físico y puedan ser extendidas fácilmente a mezclas.

La ecuación de estado C.O.R. (chain of rotators) fué desarrollada por C.H. Chien y colaboradores (1983), esta ecuación tiene bases de mecánica estadística; está fundada en la teoría de perturbación e incluye las contribuciones rotacional y translacional del movimiento molecular además de la contribución de fuerzas de atracción. En la ecuación aparecen tres constantes que son parámetros característicos para cada sustancia. En el artículo escrito por Chien y colaboradores (1983) se presentan los valores de estos tres parámetros para 22 sustancias; la forma en que los obtuvieron ellos fué la siguiente: para metano, etano y propano, a partir de la teoría de perturbación y teoría de cadenas moleculares, después calcularon las constantes de la ecuación mediante ajuste de datos experimentales para dichas sustancias y finalmente obtuvieron los parámetros característicos para sustancias de estructura molecular más compleja a través del ajuste de la ecuación para datos experimentales de presión de vapor y densidad del líquido saturado.

Existen sustancias para las cuales no se encuentran datos experimentales disponibles fácilmente ni de presión de vapor ni de densidad del líquido saturado, y como se mencionó anteriormente, a veces es difícil obtener los datos necesarios a partir de mediciones experimentales directas; por lo tanto en dichos casos será necesario buscar otra forma de evaluar los parámetros de las ecuaciones de estado. En este sentido es útil plantear la ecuación de estado en el marco de un teorema de estados correspondientes que permita evaluar los parámetros con un mínimo de información experimental.

El objetivo del presente trabajo es desarrollar una correlación mediante la cual se puedan obtener los parámetros de la ecuación de estado C.O.R. a partir, por ejemplo de datos críticos, los cuales se encuentran disponibles en forma general para una cantidad más extensa de sustancias.

## CAPITULO II

### MODELO DE CADENA DE ROTORES

- Generalidades -
- Potencial intermolecular -
- Teoría de perturbación -
- Teoría de Prigogine para cadenas moleculares -
- Desarrollo de la función de partición -
- Ecuación de estado y propiedades termodinámicas -
- Cálculo de la presión de vapor -

- Generalidades -

Durante los últimos años, la idea de contribución de grupo se ha incorporado a los métodos de coeficientes de actividad para predecir propiedades termodinámicas en la fase líquida. En estos métodos las moléculas se tratan como si estuvieran compuestas por grupos estructurales, y las propiedades termodinámicas son las sumas de las contribuciones de estos grupos. Dado que el número de especies de grupo es mucho menor que el número de especies moleculares existe la posibilidad de predecir varios tipos de datos, de un gran número de sistemas, con parámetros de grupo determinados a partir de un número relativamente pequeño de moléculas.

Los métodos de contribución de grupo comenzaron a desarrollarse en forma empírica; se puede decir que el concepto de contribución de grupo aparece por primera vez en los trabajos de Langmuir (1925) quien partió de la premisa básica de que el campo de fuerzas alrededor de un grupo es una característica de ese grupo y que ésta es independiente de la naturaleza del resto de la molécula. Bajo ésta premisa fué capaz de derivar expresiones para las presiones parciales de los componentes de una mezcla líquida.

El siguiente trabajo sobre este campo fué el de Butler y colaboradores (1935), en dicho trabajo, Butler consideró la solución a dilución infinita de una serie de solutos en un solvente dado y observó una relación simple entre el número de carbonos en el soluto y propiedades tales como coeficientes de actividad.

En 1962, Wilson y Deal presentaron un modelo de contribución de grupo de coeficientes de actividad a concentraciones finitas. Ellos supusieron que la energía libre de exceso de una solución se obtiene de dos partes: una asociada con las diferencias en la forma y la medida de las moléculas, y otra con las interacciones energéticas entre los grupos.

En 1969 Derr y Deal obtuvieron una expresión analítica para la parte de interacción energética entre grupos. Sus métodos se conocen generalmente como ASOG (analytical solutions of group methods) métodos de soluciones analíticas de grupo.

Fredenslund, Jones y Prounitz desarrollaron un modelo de contribución de grupos (1977) llamado UNIFAC basado en el UNIQUAC (Universal Quasichemical Equations); en su modelo usan una expresión, que depende de la temperatura, para los parámetros de interacción.

En 1974, Wilson y Cunningham introdujeron la ecuación de estado PFGC, combinaron el concepto de contribución de grupo con la aproximación a la ecuación de estado.

Todos los métodos anteriores se han ido sucediendo unos a otros mejorándose cada vez más, pero el hecho de ser métodos empíricos los mantiene sujetos a cambios y están propensos a mejorarse mediante nuevas modificaciones que permitan un cálculo de propiedades más aproximado a la realidad.

Otra manera de establecer un modelo para el cálculo de propiedades termodinámicas es a partir de una ecuación para la función de partición de configuración o configuracional para la mezcla de grupos que contribuyen. Una ecuación de este tipo está basada en mecánica estadística y puede lograr una predicción tan buena como la de una ecuación empírica.

Un modelo bastante utilizado para el estado líquido es el modelo de celda, que se introdujo por primera vez en los trabajos de Lennard-Jones y Devonshire (1937), en este modelo se supone que cada molécula está confinada en una celda a causa de las fuerzas repulsivas de sus vecinas, y se supone que cada celda es la misma para todas las moléculas.

Este moldeo ha servido como base para el desarrollo de otros modelos en los cuales, tomando en cuenta ciertas consideraciones, se amplía el campo de aplicación para la descripción del comportamiento de fluidos polares y cadenas de moléculas con mayor grado de complejidad.

Es a través de este desarrollo que se llega a la ecuación de estado C.D.R. (cadena de rotores), la cual está basada en un modelo de ecuación para la función de partición configuracional, esta función de partición de configuración se formula para la mezcla de grupos que contribuyen, en este caso se desarrolla combinando la teoría de perturbación con la teoría de Prigogine para cadenas moleculares.

La ecuación de estado COR tiene un campo de aplicación más amplio que

las desarrolladas con anterioridad, pues funciona tan bien para moléculas estructuralmente complejas como para moléculas simples, y es tan buena en la región de baja y moderada densidad como para la región densa del fluido.

La función de partición de configuración del fluido se compone de dos partes:

$$Q_{\text{conf}} = Q_{\text{repulsión}} \quad Q_{\text{atracción}} \quad (1)$$

en donde la  $Q_{\text{repulsión}}$  se desarrolla mediante la teoría de Prigogine y toma en cuenta la forma y tamaño de las moléculas. La  $Q_{\text{atracción}}$  se obtiene a partir de teoría de perturbación y proporciona la contribución de las fuerzas intermoleculares de atracción.

#### - Potencial intermolecular -

Las moléculas tienen cargas eléctricas en movimiento y no obstante que una molécula se considere electricamente neutra, sus cargas pueden interactuar con otras, por lo que existen fuerzas de interacción electromagnéticas entre las moléculas. Esto se debe a que cuando una molécula se acerca a otra, las cargas de ambas se alitan y se separan ligeramente de sus posiciones originales de manera que la distancia media entre dos cargas opuestas en las dos moléculas es ligeramente menor que la distancia entre cargas iguales, de aquí resulta una fuerza de atracción molecular; pero por otro lado si las moléculas se acercan mucho más una a otra, de modo que sus cargas externas se traslapan, aparece una fuerza intermolecular de repulsión, las moléculas se repelen porque no hay forma de que una molécula se reordene para impedir la repulsión de los electrones externos.

Si se supone que las moléculas son de simetría esférica, se puede explicar el comportamiento de fuerzas intermoleculares sobre un diagrama de energía potencial mutua entre dos moléculas en función de la distancia  $r$  entre sus centros de masa. La fuerza  $F$  que actúa sobre cada molécula está relacionada con la energía potencial mediante la ecuación:

$$F = -dU/dr$$

Sobre la figura 1 se puede ubicar una molécula en el origen y observar que cuando se acerca la segunda molécula, ésta es atraída por la primera cuando la pendiente de  $U$  es positiva y si se acerca más será repelida cuando la pendiente de  $U$  sea negativa.

Sobre la figura 2 se puede observar el cambio de la energía o fuerza de interacción molecular a medida que la segunda molécula se acerca a la primera ubicada en 0. Se puede ver que en  $r = r_0$  no actúa fuerza alguna entre las moléculas y se tiene entonces un punto de equilibrio; en  $r > r_0$  se tiene una fuerza de atracción de suave variación con respecto a la distancia, mientras que en  $r < r_0$  se tiene una fuerza de repulsión con una variación brusca; de aquí parte lo que se conoce como teoría de perturbación, donde se habla de fuerzas intermoleculares de corto alcance (repulsión brusca) y fuerzas de largo alcance (atracción suave).

A altas densidades y bajas temperaturas la estructura de un fluido es determinada por efectos de empaquetamiento geométrico asociados con la parte repulsiva del potencial intermolecular, mientras que las fuerzas de atracción proporcionan la energía suficiente para mantener juntas las moléculas teniendo poca influencia en la estructura del fluido; es decir, que a estas condiciones de temperatura y densidad, las consideraciones de energía del sistema hacen que un par de moléculas próximas tiendan a separarse una distancia dada que corresponda a un mínimo en el potencial intermolecular, vibrando alrededor de un punto  $r$  dentro de un rango de distancia que esté en proporción directa con el contenido de energía de las moléculas, logrando un determinado orden entre ellas bajo un equilibrio dinámico de fuerzas.

De lo anterior se puede observar que para la estructura de la materia existe desde un ordenamiento de corto alcance, cuando las moléculas se sitúan a una distancia promedio  $r_0$ , característico del estado sólido, hasta un movimiento aleatorio de las moléculas característico del estado gaseoso, por lo que en principio mediante el conocimiento del comportamiento del potencial intermolecular a través de los conceptos de teoría de perturbación se podría explicar el comportamiento del sistema dado en toda la gama de densidades observando simplemente la forma que toman tan

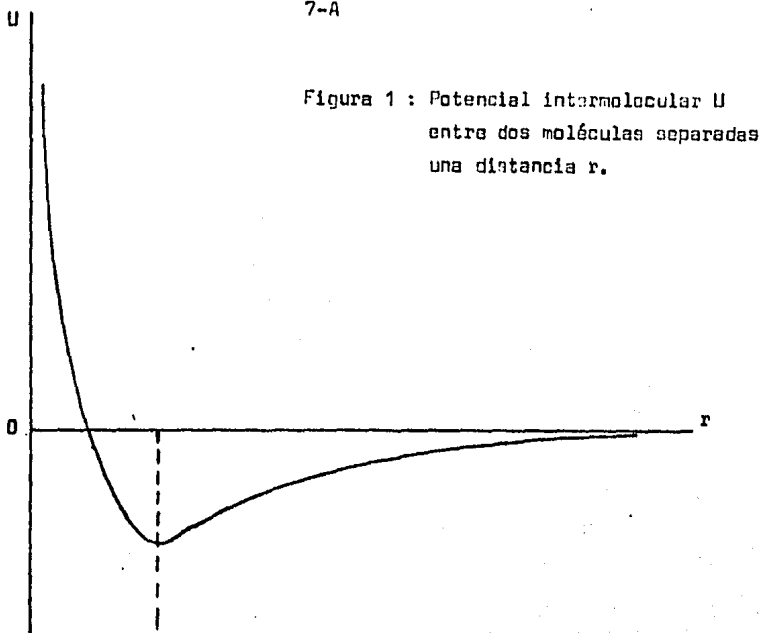


Figura 1 : Potencial intermolecular  $U$   
entre dos moléculas separadas  
una distancia  $r$ .

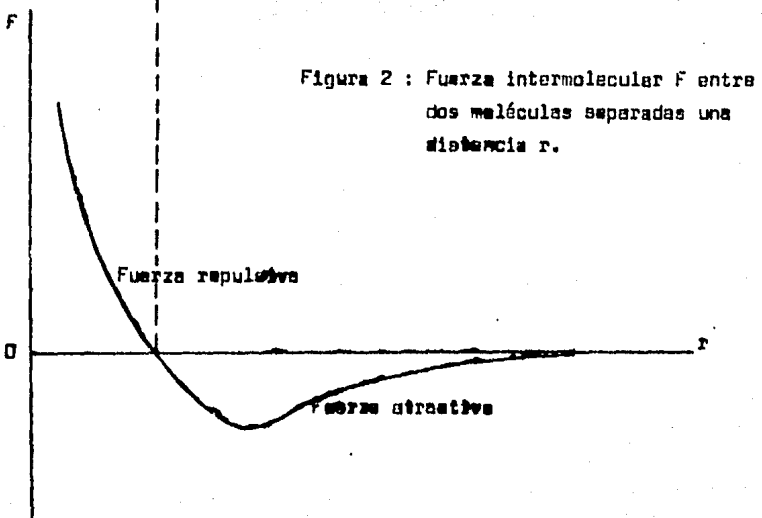


Figura 2 : Fuerza intermolecular  $F$  entre  
dos moléculas separadas una  
distancia  $r$ .

Fuerza repulsiva

Fuerza atractiva

to el potencial de atracción como el de repulsión.

- Teoría de perturbación -

Para desarrollar una ecuación de estado mediante contribuciones de grupo, que se pueda aplicar tanto en el estado líquido como en fase vapor, es necesario establecer una ecuación en la que los parámetros tengan sentido físico significativo.

La función de partición configuracional (ec. 1) contiene en sí el concepto de Van Der Waals y si se expresaran en forma apropiada las fuerzas de repulsión y atracción, entonces se estaría expresando directamente la ecuación de estado de Van Der Waals.

Ya que el papel principal dentro de la estructura de un fluido lo tienen las fuerzas de repulsión y una menor parte se debe a las fuerzas de atracción, se puede entonces relacionar las propiedades de un estado dado con un sistema de referencia que caracterice a las fuerzas de repulsión con propiedades al equilibrio perfectamente conocidas, mientras que las fuerzas de atracción se tratan como una perturbación.

La teoría de perturbación ha contribuido mucho en los últimos años para comprender el comportamiento de fluidos densos; según Henderson (1979) existen tres métodos para obtener la función de partición. El primer método es la simulación, en donde se toma un juego de aproximadamente 100 moléculas en una caja con condiciones de frontera periódicas (para minimizar los efectos de superficie) y se simula tanto el tiempo como la evolución estadística del sistema, una revisión detallada se puede encontrar en Barker y Henderson (1976). El método involucra bastantes cálculos y a causa de ello no llega a ser una herramienta de rutina en ingeniería química, sin embargo es un método completamente general.

Las simulaciones por computadora no dan directamente la función de partición, pero se obtienen derivadas de la misma y entonces esta se obtiene por integración.

El segundo método es el de ecuación integral, en ésta se formula y se resuelve alguna ecuación integral aproximada para la función de distribución radial. El método utiliza mucho menos cálculos por computadora que las simulaciones, pero de cualquier forma incluye aún los suficientes co

mo para que sea práctico como herramienta de rutina en ingeniería química; sin embargo, en algunos casos en los que estas ecuaciones integrales tienen soluciones analíticas, el método pudiera ser interesante para los ingenieros químicos.

En Barker y Henderson (1976) se puede encontrar una discusión acerca de la derivación de varias ecuaciones integrales y detalles en cuanto a su solución, usualmente numérica.

La teoría de perturbación es el más antiguo de los tres métodos; este se remonta a Van Der Waals, sin embargo su utilidad no había sido apreciada por los teóricos hasta las dos últimas décadas.

En teoría de perturbación se supone que se tiene un conocimiento completo acerca de algún sistema de referencia, o sistema no perturbado. Se considera que las interacciones moleculares son aditivas por pares y es posible introducir dentro de estas interacciones el efecto de otras de mayor orden, de modo que el potencial de un par de moléculas (*i,j*) se puede escribir de la siguiente forma:

$$U(i,j) = U_0(i,j) + w'(i,j)$$

donde  $U_0$  es el potencial molecular por pares del sistema de referencia y  $w'$  es la perturbación. De aquí que la función de partición de la energía potencial se puede escribir en la forma de la ecuación (1):

$$Q_{pot} = Q_{rep} Q_{atr} \quad (2)$$

donde  $Q_{rep}$  se determina a partir del tamaño de las moléculas y  $Q_{atr}$  está definido por el campo de potencial uniforme originado por las fuerzas de atracción.

El sistema de esferas duras ha sido el más empleado como sistema de referencia, el potencial de este sistema se define de la siguiente forma:

$$U(r) = \infty \quad , \quad r < \sigma$$

$$U(r) = 0 \quad , \quad r > \sigma$$

donde  $\epsilon$  es el diámetro molecular para este caso.

La teoría de perturbación es una herramienta práctica de cálculo en ingeniería químico; todo lo que se requiere es la selección de algún par potencial y una determinación del parámetro potencial.

Para muchos casos el potencial 6:12 de Lennard-Jones es una selección conveniente, ya que los parámetros  $\epsilon$  y  $\sigma$  están tabulados (Hirschfelder y Curtiss, 1954) para muchas sustancias; La teoría de perturbación puede ser una guía útil para seleccionar una ecuación de estado.

#### - Teoría de Prigogine para cadenas moleculares -

Para fluidos simples en los que el efecto de referencia es el de esfera dura, la función de partición del fluido describe simplemente el movimiento translacional de la esfera dura, pero cuando tenemos moléculas complejas existen además del movimiento translacional los modos de rotación y vibración que también contribuyen en el comportamiento de la molécula.

Para densidades tan altas como las del estado sólido o las del estado líquido más abajo de la temperatura crítica, se puede esperar que exista un cierto orden en la distribución de las moléculas por un lado, no puede haber distancias intermoleculares menores que el diámetro molecular ya que el efecto de las fuerzas repulsivas entre moléculas vecinas no lo permite; por otro lado, las distancias más grandes que las distancias intermoleculares medias son estadísticamente muy improbables. Esto introduce una regularidad en el espacio de moléculas vecinas con una distancia intermolecular media del orden del diámetro molecular. Por esta razón las fluctuaciones de densidad decrecen fuertemente cuando el volumen disponible por molécula tiende a su valor mínimo.

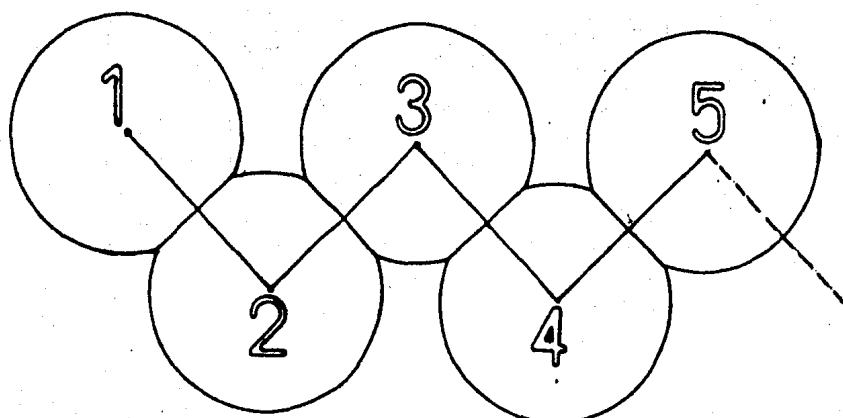
Esta estructura más o menos regular forma las bases del modelo de cadena, introducido por Lennard-Jones y Devonshire (1937), en su forma más simple.

Partiendo de este modelo Prigogine 1957, establece que una cadena molecular como la de la figura 3 se puede tratar de la siguiente forma:

El primer segmento tiene un movimiento de translación como el de una molécula libre, es decir en tres dimensiones; el segundo segmento rota

Figura 3 : Modelo de cadena de rotores que representa a la molécula real.

Partiendo del modelo de celda, Prigogine establece los grados de libertad de movimiento de una cadena molecular como la de la figura y en este modelo de cadena molecular se basa la ecuación de estado cadena de rotores para representar a la molécula real.



en una superficie esférica alrededor del primer segmento, o sea en dos dimensiones; si el ángulo 123 puede adoptar cualquier valor, entonces el movimiento del segmento 3 será también en dos dimensiones, pero si el ángulo 123 se mantiene fijo por las fuerzas de valencia entonces el segmento tres rotará solamente en una dirección describiendo un círculo. De igual forma se puede analizar el movimiento de los siguientes segmentos. En el modelo desarrollado para la ecuación de estado COR, todos los movimientos rotacionales se consideran equivalentes, y habrá tantos como grado de libertad rotacionales existan en la molécula, incluyendo las rotaciones internas alrededor de líneas de valencia. Se definirá a "c" como el número de grados de libertad rotacionales equivalentes de la molécula.

El parámetro "c" mide la flexibilidad en la manera de rotar del ángulo 123 así como la similitud en el movimiento del tercer segmento con el segundo. Entre más flexible sea el ángulo, mayor es el valor de "c", y entre menos flexible, menor es el valor de "c". Aquí tanto los grados de libertad rotacionales como la manera de rotar contribuyen al valor de c; además se toman en cuenta también otros modos vibracionales, como son los alargamientos, que se tratan como modos rotacionales equivalentes y que contribuyen en forma adicional al valor de "c".

Combinando los grados rotacionales equivalentes de todos los segmentos se obtiene la función de partición rotacional de la molécula entera; y tomando en cuenta el movimiento traslacional, se puede expresar la ecu (1) como:

$$Q_{\text{conf}} = Q_t q_r^{Nc} Q_{\text{str}} \quad (3)$$

donde  $Q_t$  es la función de partición traslacional;  $q_r$  la función de partición de un rotor elemental;  $N$  el número de moléculas; y  $c$  los grados de libertad de rotación equivalentes para toda la cadena molecular.

Ya que hasta el momento no se conoce una función de partición rotacional configuracional, Prigogine reemplazó  $q_r$  con una función de partición traslacional equivalente; Beret y Prausnitz (1975) extendieron la aproximación traslacional equivalente mediante una función de partición que es la función más simple para satisfacer las condiciones de frontera, incluyendo la ley de gas ideal a volumen infinito.

- Desarrollo de la función de partición -

Las funciones de partición de la ecuación (3) se pueden expresar en función de  $N, V$  y  $T$ . Para la translacional se usan las funciones de partición obtenidas por Nitta y colaboradores (1977) a partir de la ecuación de estado para esfera dura de Carnahan y Starling,

$$Q_t = \frac{V^N}{N!} \exp \left[ -\frac{N \left( 4 \frac{V}{\tau} - 3 \right)}{\left[ \frac{V}{\tau} - 1 \right]^2} \right] \quad (4)$$

donde  $V$  es el volumen reducido que se define como  $V/V_0$ ,  $V_0$  es el volumen empacado más cercano, y  $\tau = \pi \sqrt{2/6} = 0.7405$ .

Para obtener la función de partición de rotación, se hace lo siguiente; consideraremos a una molécula-cadena de dos segmentos, que tiene tres grados de movimiento translacional, dos grados rotacionales, y no tiene fuerzas de atracción, así para un conjunto de estas moléculas la ecuación (3) se simplifica de la siguiente manera:

$$Q_{db} = Q_t q_r^{2N} \quad (5)$$

Por otro lado se conoce la ecuación de estado para estas moléculas desarrollada por Boublík y Nezbeda (1977), que es la siguiente:

$$p_{db} = \frac{NkT}{V} \left[ \left[ \frac{V}{\tau} \right]^3 + (3\alpha - 2) \left[ \frac{V}{\tau} \right]^2 + (3\alpha^2 - 3\alpha + 1) \frac{V}{\tau} - \alpha^2 \right] \sqrt{\left[ \frac{V}{\tau} - 1 \right]^3} \quad (6)$$

donde  $p_{db}$  es la presión para este sistema de moléculas y  $\tau$  es una constante dada por la relación de la distancia intermolecular entre los centros de las dos esferas con el diámetro de las mismas; esta ecuación la usaron Kohler (1979) y Fisher (1980) como presión repulsiva de referencia en su teoría de perturbación para moléculas diatómicas, y obtuvieron muy buenos resultados, si la integramos de acuerdo a:

$$\left( \frac{\partial \ln Q_{db}}{\partial V} \right)_{T,N} = \frac{p_{db}}{kT}$$

y utilizando la condición de frontera cuando  $V \rightarrow \infty$ ,  $Q_{db} = V^N/V!$  se obtiene la función de partición de  $N$  moléculas diatómicas duras.

$$Q_{db} = \frac{V^N}{N!} \left[ \frac{\frac{V}{\tau}}{\frac{V}{\tau} - 1} \right]^{\alpha^2 - 1} \exp \left[ - \frac{(\alpha^2 - 3\alpha) \frac{V}{\tau} - 3}{\left[ \frac{V}{\tau} - 1 \right]^2} \right] \quad (7)$$

combinando las ecuaciones (4), (5), (6) y (7) se obtiene la función de partición rotacional:

$$q_r = \left[ \frac{\frac{V}{\tau}}{\frac{V}{\tau} - 1} \right]^{\frac{(\alpha^2 - 1)}{2}} \exp \left[ - \frac{(\alpha^2 + 3\alpha - 4) \frac{V}{\tau} - 3(\alpha - 1)}{2 \left[ \frac{V}{\tau} - 1 \right]^2} \right] \quad (8)$$

en el límite cuando  $V \rightarrow \infty$ ,  $q_r \rightarrow 1$  y los modos rotacionales no contribuyen a las propiedades configuracionales en el estado de gas ideal.

Finalmente el término de atracción perturbativa  $Q_{atr}$ , lo expresaron Alder y colaboradores (1972) en términos de series de potencias,

$$Q_{atr} = \exp \left[ - \frac{Nu}{kT} \sum_{nm} \frac{A_{nm}}{\left( \frac{n}{m} - 1 \right) v^m} \right] \quad (9)$$

en donde  $u$  es la energía característica,  $T^* = u/k$ , y  $\tilde{T} = T/T^*$ .

Para moléculas no esféricas, Chen y Kreglewski encontraron que  $u/k$  es dependiente de la temperatura; Chien y Chao (1983) llegaron a un resultado similar, expresado de la siguiente forma:

$$\frac{u}{k} = T^* \left[ 1 + \frac{c}{2} \left( B_0 + \frac{B_1}{T^*} + B_2 T^* \right) \right] \quad (10)$$

Para moléculas simples  $c = 0$  y entonces  $u/k$  toma su valor de  $T^*$ .

Para obtener el término de atracción utilizado por Chien, solamente se sustituye (10) en (9).

De esta manera se obtiene finalmente la función de partición configuracional completa mediante la sustitución respectiva de los términos (4), (8) y (9) en la ecuación (3).

$$\begin{aligned}
 Q_{\text{conf}} &= \frac{N!}{n_1! n_2!} \exp \left[ -\frac{N(4 \frac{v}{\tau} - 3)}{\left[ \frac{v}{\tau} - 1 \right]^2} \right] \cdot \\
 &\cdot \left[ \frac{\frac{v}{\tau}}{\frac{v}{\tau} - 1} \right]^{(\alpha^2 - 1)} \exp \left[ -\frac{(\alpha^2 + 3\alpha - 4) \frac{v}{\tau} - 3(\alpha - 1)}{\left[ \frac{v}{\tau} - 1 \right]^2} \right] \frac{N!}{2} \cdot \\
 &\cdot \exp \left[ -N \left[ 1 + \frac{c}{2} (B_0 + \frac{B_1}{\tau} + B_2 \tilde{\tau}) \right] \sum_{nm} \frac{A_{nm}}{\tau^n v^m} \right] \quad (11)
 \end{aligned}$$

#### - Ecuación de estado -

De esta manera Chien y Chao obtienen la ecuación de estado cadena de rotores CDR que se deriva de la función de partición (11) a través de procedimientos estándar de termodinámica estadística, (ver tabla 1A del apéndice A)

$$\begin{aligned}
 \frac{PV}{nRT} &= 1 + \frac{4 \left( \frac{v}{\tau} \right)^2 - 2 \left( \frac{v}{\tau} \right)}{\left[ \frac{v}{\tau} - 1 \right]^3} + \\
 &+ \frac{c}{2} (\alpha - 1) \frac{3 \left( \frac{v}{\tau} \right)^2 + 3\alpha \left( \frac{v}{\tau} \right) - (\alpha + 1)}{\left[ \frac{v}{\tau} - 1 \right]^3} + \\
 &+ \left[ 1 + \frac{c}{2} (B_0 + \frac{B_1}{\tau} + B_2 \tilde{\tau}) \right] \sum_{nm} \frac{A_{nm}}{\tau^n v^m} \quad (12)
 \end{aligned}$$

Los valores de los coeficientes Anm los determinaron Chien y Chao mediante el ajuste de la ecuación para datos de presión de vapor, energía interna y datos pVT; tambien determinaron las constantes  $B_0$ ,  $B_1$ , y  $B_2$  ajustando para datos de presión de vapor de etano.

Las constantes se dan en la siguiente tabla:

$$B_0 = 0.20095 \quad B_1 = 0.019 \quad B_2 = -0.0632$$

Anm	m	1	2	3	4	5	6
1	-9.04214	-125.11	525.415	-859.803	634.635	-167.336	
2	-1.12517	548.709	-2566.20	4471.80	-3402.75	939.226	
3	-0.809958	-838.503	4398.77	-8598.81	7409.90	-2365.34	
4	-0.0672378	438.783	-2482.01	5289.80	-5017.09	1784.58	

Tambien se puede utilizar la relación de energía y encontrar la energía interna (tabla 1A del apéndice A)

$$\frac{E}{nRT} = 1 + \frac{c}{2} \left( B_0 + \frac{B_1}{T} + B_2 \tilde{T} \right) \sum_{nm} \frac{Anm}{T^n \tilde{v}^m} + \frac{E^\theta}{nRT} + \frac{c}{2} \left( \frac{B_1}{T} - B_2 \tilde{T} \right) \sum_{nm} \frac{Anm}{T^n \tilde{v}^m} + \frac{E^\theta}{nRT} \quad (13)$$

y el coeficiente de fugacidad:

$$\ln \frac{f}{p} = - \ln \frac{PV}{nRT} + \frac{4 \frac{\tilde{T}}{T} - 3}{\left[ \frac{\tilde{T}}{T} - 1 \right]^2} - \frac{c}{2} (\alpha - 1) \left[ (\alpha + 1) \ln \frac{\tilde{T}}{T} - \frac{(\alpha + 4) \frac{\tilde{T}}{T} - 3}{\left[ \frac{\tilde{T}}{T} - 1 \right]^2} \right] + \left[ 1 + \frac{c}{2} \left( B_0 + \frac{B_1}{T} + B_2 \tilde{T} \right) \right] \sum_{nm} \frac{Anm}{T^n \tilde{v}^m} + \frac{PV}{nRT} - 1 \quad (14)$$

Se puede tambien obtener la expresión para la entropia;

$$S = \frac{E - E^0}{T} - nR \left[ \ln \frac{P}{P^0} + 1 - \frac{PV}{nRT} \right] + S^0 \quad (15)$$

y el segundo coeficiente virial a partir de la ecuación de estado,

$$\frac{B}{V_0} = T \left[ 4 + \frac{3a}{2} (\alpha - 1) \right] + \left[ 1 + \frac{c}{2} (B_0 + \frac{B_1}{T} + B_2 \tilde{T}) \right] \sum_{nm} \frac{A_{nm}}{T^n} \quad (16)$$

La ecuación de estado desarrollada en este capítulo, (ecuación 12) tiene tres parámetros característicos para cada compuesto:  $T^*$ ,  $V_0$  y  $c$ .

$T^*$  representa la energía de atracción entre las moléculas,  $V_0$  representa el tamaño de la molécula y  $c$  la flexibilidad de la misma, que es el número de grados de libertad rotacionales equivalentes.

La ecuación (12) está escrita en función de términos reducidos:

$$z = z \left( \frac{T}{T^*}, \frac{V}{V_0}, c \right)$$

Como se verá en el capítulo siguiente  $T^*$  es proporcional a la temperatura crítica y  $V_0$  al volumen crítico. Por consiguiente esta ecuación de estado pertenece al teorema de estados correspondientes de tres parámetros. Además el parámetro  $c$  está relacionado con el factor acártico de Pitzer.

Note 1. En las ecuaciones (13) y (15),  $E^0$  y  $S^0$  representan la energía interna y la entropía del gas ideal a la temperatura y presión del fluido real.

#### - Cálculo de la presión de vapor -

Mediante algún método numérico como el de Newton-Raphson se puede obtener la presión de vapor, el procedimiento es el siguiente: Se supone un valor inicial para el volumen del vapor y uno para el volumen del líquido,  $\tilde{V}_1^U$  y  $\tilde{V}_1^L$ ; con ellos se calcula la presión y la fugacidad para va-

por y líquido respectivamente, haciendo uso de las ecuaciones (12) y (14)

$$p = \frac{zRT}{V}$$

La presión y la fugacidad deben ser prácticamente iguales tanto para vapor como para líquido, esta condición se vigila mediante una tolerancia, es decir:

$$\text{error en la presión} = p_1^V - p_1^L$$

$$\text{error en la fugacidad} = f_1^V - f_1^L$$

dichos errores deben ser menores que la tolerancia, la cual se fija a criterio personal. Si la condición se cumple entonces se ha encontrado la presión de vapor; pero como generalmente no se cumple a la primera suposición, entonces se dan valores incrementados de volumen para vapor y líquido y se calculan las presiones y fugacidades correspondientes

$$\frac{V}{2} = v_1^V + 0.1 \quad \longrightarrow \quad p_2^V = f_2^V$$

$$v_2^L = v_1^L - 0.1 \quad \longrightarrow \quad p_2^L = f_2^L$$

luego se obtienen las derivadas numéricas de presión y fugacidad con respecto al volumen:

$$\frac{\partial p}{\partial V}^L = \frac{p_1^L - p_2^L}{0.1} ; \quad \frac{\partial p}{\partial V}^V = \frac{p_2^V - p_1^V}{0.1}$$

$$\frac{\partial f}{\partial V}^L = \frac{f_1^L - f_2^L}{0.1} ; \quad \frac{\partial f}{\partial V}^V = \frac{f_2^V - f_1^V}{0.1}$$

Como se tiene que:

$$p^L = p^L + \frac{\partial p}{\partial V}^L \Delta \tilde{V}^L$$

$$p^V = p^V + \frac{\partial p}{\partial V}^V \Delta \tilde{V}^V$$

y se debe cumplir la igualdad;

$$p^L = p^V$$

entonces,

$$p^L + \frac{\partial p}{\partial V}^L \Delta \tilde{v}^L = p^V + \frac{\partial p}{\partial V}^V \Delta \tilde{v}^V$$

$$\frac{\partial p}{\partial V}^V \Delta \tilde{v}^V - \frac{\partial p}{\partial V}^L \Delta \tilde{v}^L = -(p^V - p^L)$$

y también;

$$\frac{\partial f}{\partial V}^V \Delta \tilde{v}^V - \frac{\partial f}{\partial V}^L \Delta \tilde{v}^L = -(f^V - f^L)$$

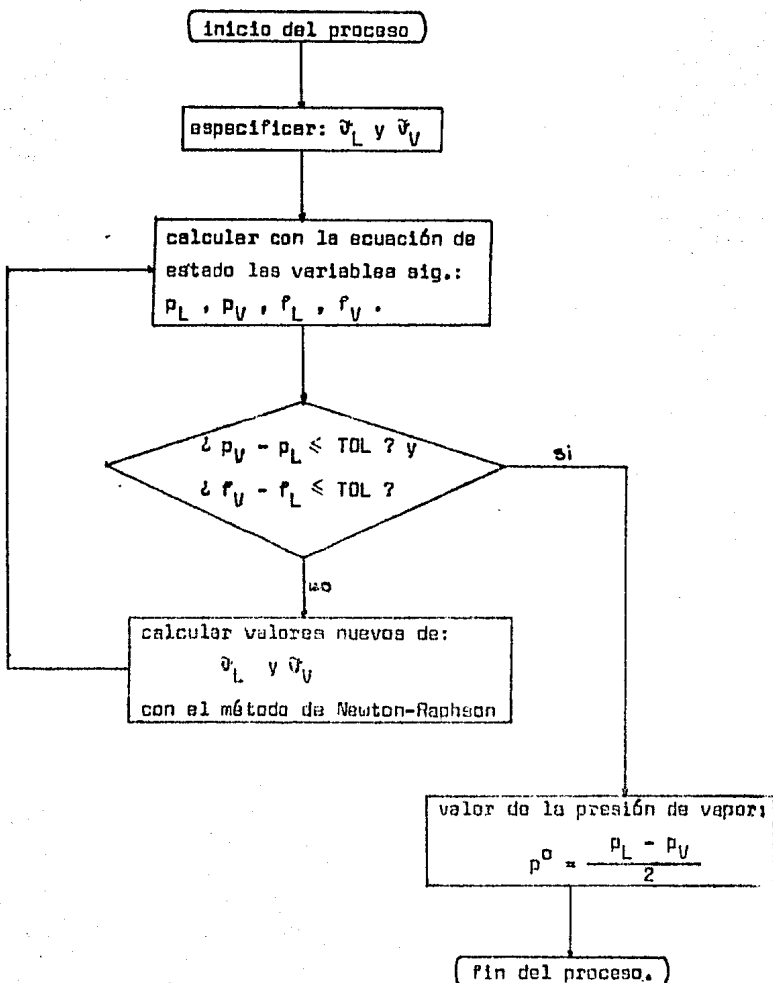
de las dos últimas expresiones se obtienen las incógnitas  $\Delta \tilde{v}^V$  y  $\Delta \tilde{v}^L$ , una vez obtenidos los valores de tales deltas o incrementos, se puede obtener un nuevo valor para los volúmenes del líquido y vapor, y probar nuevamente la condición de error una vez obtenidas las nuevas presiones y fugacidades.

$$\tilde{v}^V = \tilde{v}_1^V + \Delta v^V$$

$$\tilde{v}^L = \tilde{v}_1^L + \Delta v^L$$

Este método es iterativo o de prueba y error, es decir que se van probando los valores hasta cumplir la condición, y estos se van obteniendo del anterior.

A continuación se presenta el diagrama de flujo para obtener la presión de vapor mediante el método descrito y se anexa el programa en lenguaje fortran.



**Note:** Para calcular presión y fugacidad con la ecuación de estado se requiere especificar los parámetros  $c$  y  $T^*$ .

100 \$ RESET FREE  
 100 C PROGRAMA PARA CALCULAR PRESIONES DE VAPOR

```

100
100      DIMENSION A(1,10)
100      COMMON/READ/E,B1,B2,A,X,Y
100      COMMON/READ/T,C,V0,T0,R
100      J=4, K=6
100      READ(5,10)V1,V2,DT,TOL
100      READ(5,11)E,B1,B2,((A(N,M),N=1,K),M=1,J),X,Y
100      READ(5,12)T,V0,T0,R
100      PRINT(6,13)"V0=",V0,"T0=",T0
100      WRITE(6,13)
100      VV=V1V
100      DO 100 L=1,0
100      V1V=VV
100      DO 100 I=0,25
100      CALL PFC(V1V,P1V,F1V,ZV)
100      CALL PFC(V1L,P2L,F2L,ZL)
100      ERRORP=P1V-P1L
100      ERRORF=F1V-F1L
100      IF(A(J,S(ERRORP)).LE.(TOL*(P1V+P1L)).AND.ARS(ERRORF).LE.(TOL*(F1L+F1V))
100      *) GO TO 20
100      CALL PFC(V1V*1.,P2V,F2V,ZV)
100      CALL PFC(V1L*1.,P2L,F2L,ZL)
100      DPV=(P2V-P1V)/(J.0001*V1V)
100      DPL=(P1L-P2L)/(J.0001*V1L)
100      DFV=(F2V-F1V)/(J.0001*V1V)
100      DFL=(F1L-F2L)/(J.0001*V1L)
100      DELVL=((DFV*ERRORP/DPV)-ERRORF)/((DFV*DPL/DPV)-DFL)
100      DELVV=((DPL+DELVL-ERRORP)/DPV)
100      V1V=V1V+DELVV
100      V1L=V1L+DELVL
100      PVE=(P1L+P1V)/2
100      WRITE(6,14)V1V
100      TD=T0+DT
100      15 FORMAT(//15X,"TEMPERATURA",4X,"P DE VAP")
100      30 FORMAT(//15X,B11.5,4X,G11.5)
100      END

100      C SUBRUTINA PARA CALCULAR PRESION Y FUGACIDAD
100
100      SUBROUTINE PFC(V,P,FUG,Z)
100      DIMENSION A(1,10)
100      J=4, K=6
100      COMMON/READ/E,B1,B2,A,X,Y
100      COMMON/READ/T,C,V0,T0,R
100      T=T0/T
100      U=V/X
100      FV=U-1
100      S0=0, S1=0
100      DO 2 N=1,J
100      DO 1 M=1,K
100      S0=S0+N*X((J,N)/(T*T+V+E)*M)
100      S1=S1+A(N,1)/(T*T+V+E)*M)
100      CONTINUE
100      1 F1T=(C/2)*(B1+B2*T)/(T+B2+T)
100      F1V=(4*U**2-2*V)/FV**3+(C/2)*(Y-1)*(3*U**2+3*Y-U-(Y+1))/FV**3
100      Z=F1V+F1T*S0
100      VD=V0*V
100      P=Z*V*TD/VD
100      FI=(1/Z)*EXP((4*U-3)/FV**2-(C/2)*(Y-1)*((Y+1)*ALOG(U/FV)-(C(Y+4
100      *)+U-3)/FV**3)+F1T*S1+Z-1)
100      FUG=FI*P
100      RETURN
100      END

```

**CAPITULO III****CORRELACION DE PARAMETROS DE LA ECUACION DE ESTADO  
CON PROPIEDADES CRITICAS.**

- Conceptos generales -
- Cálculo del punto crítico -
- Algoritmos para la obtención de correlaciones -
- Correlaciones -
- Parámetros -

- Conceptos generales -

Los parámetros  $T^*$ ,  $c$  y  $V_0$  de la ecuación de estado COR para fluidos puros se obtienen mediante el ajuste de datos de equilibrio líquido-vapor. Chien y Chao (1983) dan una lista con dichos parámetros para algunos compuestos y dicen que los valores de los mismos están sujetos a modificaciones en la medida en que llegue a ser disponible una extensión mayor de datos.

La ventaja de una correlación generalizada es que puede emplearse para predecir propiedades de sustancias sobre las cuales se conocen muy pocos datos experimentales.

Algunas ecuaciones generalizadas sólo necesitan la temperatura y la presión críticas de la sustancia, aquí la suposición básica es que el factor de compresibilidad y algunas otras propiedades termodinámicas de cualquier gas se pueden determinar a través de su temperatura y presión reducidas ya que el principio de estados correspondientes sugiere que es posible obtener una correlación de los datos experimentales cuando las diversas sustancias están en sus estados correspondientes, es decir a iguales valores de  $T_r$ ,  $P_r$  y  $V_r$  (temperatura, presión y volumen reducidos) pero como esto es cierto sólo en parte, se han desarrollado correlaciones generalizadas que incorporan un tercer parámetro para contrarrestar las limitaciones del principio de los estados correspondientes. El factor acéntrico de Pitzer ( $w$ ) es el que ha tenido una aceptación general, y está definido con referencia a la presión de vapor de cada sustancia.

De aquí que para obtener una correlación generalizada de la ecuación de estado COR, es necesario que se pueda definir en función de temperatura y presión críticas y factor acéntrico de Pitzer ( $P_c$ ,  $T_c$ ,  $w$ ), para no depender de los parámetros  $T^*$ ,  $c$  y  $V_0$ ; llevar a cabo esto requiere establecer una relación entre los parámetros de la ecuación y los datos críticos.

- Cálculo del punto crítico -

La idea general es obtener los datos críticos de algunas sustancias utilizando la ecuación de estado y sus parámetros originales  $T^*$ ,  $c$  y  $V_0$ ; luego calcular la presión de vapor a una temperatura reducida de 0.7  $T_c$ ,

y de aquí obtener el factor  $w$ ; una vez obtenidos estos datos hay que ver cual es la mejor forma en que se puedan relacionar los factores  $w$  y  $c$  para poder generalizar la ecuación.

Se tiene la siguiente expresión deducida de la ecuación de estado CDR

$$p = p(\tilde{V}, \tilde{T}, c)$$

si se fija  $c$ , se pueden obtener  $\tilde{V}$  y  $\tilde{T}$  en el punto crítico, utilizando el método numérico de Newton-Raphson para dos variables de la siguiente manera:

Se sabe que en el punto crítico

$$\frac{\partial p}{\partial \tilde{V}}_T = 0 \quad \text{y} \quad \frac{\partial^2 p}{\partial \tilde{V}^2}_T = 0$$

además

$$\frac{\partial p}{\partial \tilde{T}}_T = f_1(\tilde{V}, \tilde{T}) \quad (1)$$

$$\frac{\partial^2 p}{\partial \tilde{T}^2}_T = f_2(\tilde{V}, \tilde{T}) \quad (2)$$

si se toma una diferencia de este par de funciones desde un punto inicial  $i$ ;

$$df_1 = f_1(\tilde{V}, \tilde{T}) - f_1(\tilde{V}_1, \tilde{T}_1) = \frac{\partial f_1}{\partial \tilde{V}} \Delta \tilde{V} + \frac{\partial f_1}{\partial \tilde{T}} \Delta \tilde{T}$$

$$df_2 = f_2(\tilde{V}, \tilde{T}) - f_2(\tilde{V}_1, \tilde{T}_1) = \frac{\partial f_2}{\partial \tilde{V}} \Delta \tilde{V} + \frac{\partial f_2}{\partial \tilde{T}} \Delta \tilde{T}$$

y como para encontrar los valores de  $\tilde{V}$  y  $\tilde{T}$  que sean raíces debe cumplirse que:

$$f_1(\tilde{V}, \tilde{T}) = 0$$

$$f_2(\tilde{V}, \tilde{T}) = 0$$

entonces,

$$-f_1(\tilde{v}_1, \tilde{T}_1) = \frac{\partial f_1}{\partial \tilde{v}} v_1 \tilde{T}_1 \Delta \tilde{v} + \frac{\partial f_1}{\partial \tilde{T}} \tilde{v}_1 \tilde{T}_1 \Delta \tilde{T} \quad (3)$$

$$-f_2(\tilde{v}_1, \tilde{T}_1) = \frac{\partial f_2}{\partial \tilde{v}} \tilde{v}_1 \tilde{T}_1 \Delta \tilde{v} + \frac{\partial f_2}{\partial \tilde{T}} v_1 \tilde{T}_1 \Delta \tilde{T} \quad (4)$$

de aquí se pueden obtener los incrementos  $\Delta \tilde{v}$  y  $\Delta \tilde{T}$  cuando se tiene un valor inicial de volumen y temperatura  $\tilde{v}_1$  y  $\tilde{T}_1$ ; para poder utilizar este método se dan primero dichos valores iniciales, luego se calculan las funciones  $f_1$  y  $f_2$ , y si los valores supuestos son raíces entonces las funciones  $f_1$  y  $f_2$  deben valer cero, pero si esto no sucede se deben obtener nuevos valores de volumen y temperatura con :

$$\tilde{v} = \tilde{v}_1 + \Delta \tilde{v}$$

$$\tilde{T} = \tilde{T}_1 + \Delta \tilde{T}$$

para volver a calcular  $f_1$  y  $f_2$ ; como estas funciones no llegan a valer absolutamente cero, se da una tolerancia próxima al cero y se limita con los incrementos  $\Delta \tilde{v}$  y  $\Delta \tilde{T}$ , cuando estos tengan un valor suficientemente pequeño ya no habrá gran variación en los valores nuevos de volumen y temperatura, y por lo tanto tampoco en los valores de las funciones  $f_1$  y  $f_2$ , entonces se tendrán los valores de las raíces  $\tilde{v}$  y  $\tilde{T}$ , para los cuales  $f_1$  y  $f_2$  serán muy cercanos a cero.

Aplicando las ecuaciones (1) y (2) en (3) y (4) respectivamente se obtiene el sistema de ecuaciones que junto con la ecuación de estado permiten obtener los incrementos  $\Delta \tilde{v}$  y  $\Delta \tilde{T}$

$$-\frac{\partial p}{\partial \tilde{v}} \tilde{v}_1 \tilde{T}_1 = \frac{\partial^2 p}{\partial \tilde{v}^2} \tilde{v}_1 \tilde{T}_1 \Delta \tilde{v} + \frac{\partial}{\partial \tilde{T}} \frac{\partial p}{\partial \tilde{v}} \tilde{v}_1 \tilde{T}_1 \Delta \tilde{T}$$

$$-\frac{\partial^2 p}{\partial \tilde{v}^2} \tilde{v}_1 \tilde{T}_1 = \frac{\partial}{\partial \tilde{v}} \frac{\partial^2 p}{\partial \tilde{v}^2} \tilde{v}_1 \tilde{T}_1 \Delta \tilde{v} + \frac{\partial}{\partial \tilde{T}} \frac{\partial^2 p}{\partial \tilde{v}^2} \tilde{v}_1 \tilde{T}_1 \Delta \tilde{T}$$

Como se habla del punto crítico, los valores obtenidos son  $\tilde{V}_c$  y  $\tilde{T}_c$ ; pero para la ecuación de estado se tienen las siguientes igualdades,

$$\tilde{V} = \frac{V}{V_0} \quad \text{y} \quad \tilde{T} = \frac{T}{T^*}$$

por lo tanto se pueden calcular los datos críticos

$$V_c = \tilde{V}_c V_0 \\ \text{y} \quad T_c = \tilde{T}_c T^*$$

Teniendo  $T_c$  se puede calcular la presión de vapor a una temperatura reducida  $T_r = 0.7 T_c$  mediante el método, descrito en el capítulo anterior, para presión de vapor.

De aquí se puede obtener el factor acáéntrico como:

$$w = - \log \frac{p^0}{p_c} - 1$$

El siguiente programa sirve para calcular, partiendo del valor "c", toda la serie de valores descrita hasta llegar a w. Este valor del factor acáéntrico es el que predice la ecuación de estado COR, el cual no es necesariamente igual al valor experimental, y es función solamente del parámetro "c".

DR FILE: EV1/C03 C01 06/16

```

100 0RESET FREQ
200 0      PROGRAMA PARA COMPUTAR DATOS GUERRAS X Y A PARTIR DEL FACTOR C
300 0
400 0
500 0
600 0
700 0
800 0
900 0
1000 0
1100 0
1200 0
1300 0
1400 0
1500 0
1600 0
1700 0
1800 0
1900 0
2000 0
2100 0
2200 0
2300 0
2400 0
2500 0
2600 0
2700 0
2800 0
2900 0
3000 0
3100 0
3200 0
3300 0
3400 0
3500 0
3600 0
3700 0
3800 0
3900 0
4000 0
4100 0
4200 0
4300 0
4400 0
4500 0
4600 0
4700 0
4800 0
4900 0
5000 0
5100 0
5200 0
5300 0
5400 0
5500 0
5600 0
5700 0
5800 0
5900 0
6000 0
6100 0
6200 0
6300 0
6400 0
6500 0
6600 0
6700 0
6800 0
6900 0
7000 0
7100 0
7200 0
7300 0
7400 0
7500 0
7600 0
7700 0
7800 0
7900 0
8000 0
8100 0
8200 0
8300 0
8400 0
8500 0
8600 0
8700 0
8800 0
8900 0
9000 0
9100 0
9200 0
9300 0
9400 0
9500 0
9600 0
9700 0
9800 0
9900 0
10000 0

```

# FALLA DE ORIGEN

```

13200 C SUBRUTINA PARA CALCULAR PRESTON Y FUGACIDAD CON LA ECUACION COR
13300 C TIENDO CON DATOS DE VOLUMEN.
13400
13500
13600
13700
13800
13900
14000
14100
14200
14300
14400
14500
14600
14700
14800
14900
15000
15100
15200
15300
15400
15500
15600
15700
15800
15900
16000
16100

SUBROUTINE PREC(P,FUG,TD,L)
DIMENSION A(1),S1,S2,V(20)
J=4,N=6,I=1
C0110N/REND/E1D 31 R2 X,Y,TOL
C0110N/REND/E1D 31 R2 X,Y,TOL
T=TD/TD(L)
U=V/X
FV=U-1
S1=S1+S2
DO 1 M=1,K
S2=S2+M*A(L)**M/(T**M*(V+E)**M)
S1=S1+A(L)*S2/(T**M*(V+E)**M)
CONTINUE
FIT=1+(CCL)/21*(1)**11/T+R2*T
FV1=+(4*U)**2-(Y**2)/FV**3+C(L)/2)*(Y-1)*(3*U**2+3*Y*U-(Y+1))/F
FV**2
Z=FV1+F1*T*S2
YD=V*(L)*V
P=Z+R2*TD/VD
FI=(1/Z)*EXP((C(L)**2-FV**2-(C(L)/2)*(Y-1)*(Y+1)* ALOG(U/FV)-(C(Y+1)*U-3)/FV**2))+C(T*S1+2*-1)
FUG=FI*P
RETURN
END

```

En la tabla 1A se dan, para algunas sustancias, los valores de datos críticos reducidos que se han calculado a partir de la ecuación de estado COR tal como la proponen Chien y Chao; en la tabla 1B se dan los valores de datos críticos y factor acéntrico calculados con la misma ecuación y se comparan con los datos experimentales reportados para cada sustancia.

En base a esta tabla se puede ver que aún cuando la ecuación de estado no predice en forma muy apropiada el punto crítico, si existe realmente una relación entre el parámetro  $c$  y el factor acéntrico  $w$ , únicamente se necesita un polinomio que los relacione con el menor error posible.

Se puede establecer el parámetro  $c$  en función del factor acéntrico, y a su vez las propiedades críticas reducidas  $T_c$  y  $v_c$  en función de "c", de esta manera los parámetros  $T^*$  y  $V_0$  quedarían en función de  $T_c$ ,  $P_c$  y  $w$  y entonces la ecuación estaría generalizada.

#### - Algoritmos para la obtención de correlaciones -

Si se tiene una curva formada por parejas de datos  $(x, y)$  y se le quiere ajustar una función  $f(x) = y$ , se puede minimizar el error de la siguiente manera; por ejemplo para un polinomio de segundo grado:

El error total sería la suma de todos los errores

$$\epsilon_T = \sum_{i=1}^N \epsilon_i$$

$$\epsilon_T = \sum_{i=1}^N (y_{\text{calculada}} - y_{\text{experimental}})^2_i$$

donde,

$$y_{\text{calculada}} = k_1 + k_2 x + k_3 x^2$$

$y_{\text{experimental}}$  = datos

$N$  = número de parejas de datos

entonces

$$\epsilon_T = \sum_{i=1}^N (k_1 + k_2 x + k_3 x^2 - y_e)_i^2$$

$$\frac{\partial E_T}{\partial k_1} = 2 \sum_{i=1}^N (k_1 + k_2 x_i + k_3 x_i^2 - y_{ei})_i (1)_i = 0$$

$$\frac{\partial E_T}{\partial k_2} = 2 \sum_{i=1}^N (k_1 + k_2 x_i + k_3 x_i^2 - y_{ei})_i (x)_i = 0$$

$$\frac{\partial E_T}{\partial k_3} = 2 \sum_{i=1}^N (k_1 + k_2 x_i + k_3 x_i^2 - y_{ei})_i (x^2)_i = 0$$

arreglando el sistema de ecuaciones,

$$N k_1 + k_2 \sum x_i + k_3 \sum x_i^2 = y_{e1}$$

$$k_1 \sum x_i + k_2 \sum x_i^2 + k_3 \sum x_i^3 = y_{e1} x_i$$

$$k_1 \sum x_i^2 + k_2 \sum x_i^3 + k_3 \sum x_i^4 = y_{e1} x_i^2$$

entonces se resuelve el sistema de tres ecuaciones simultáneas para obtener las constantes  $k_1$ ,  $k_2$ ,  $k_3$ , del polinomio.

El mismo procedimiento se puede seguir cuando se trata de ajustar un polinomio de mayor grado al conjunto de datos que forman la curva, para minimizar el error y obtener un mejor ajuste.

Otra forma de obtener una correlación con buena minimización del error podría ser, cuando existe un cambio de dirección muy marcada en algún punto de la trayectoria de la curva, dividir la curva y obtener una correlación en dos partes; por ejemplo dado el punto  $x_0$  tener una función  $y_1 = f_1(x)$  para  $x > x_0$  y otra función  $y_2 = f_2(x)$  para  $x < x_0$ ; pero para asegurar la continuidad de la curva se debe cumplir que: en  $x = x_0$  tanto las dos funciones como sus derivadas sean iguales:

$$f_1 = f_2 \quad \text{en } x = x_0$$

$$\frac{df_1}{dx} = \frac{df_2}{dx} \quad \text{en } x = x_0$$

Así si una parte de la curva se aproxima a una línea recta y la otra parte a una parábola, se puede hacer lo siguiente:

Para la primera parte cuando  $x > x_0$  proponer

$$Y = k_1 + k_2 x$$

y para la segunda parte cuando  $x < x_0$

$$Y = k_1 + k_2 x + k_3 (x_0 - x)^2$$

de esta manera cuando  $x = x_0$

$$Y = k_1 + k_2 x_0$$

$$\begin{matrix} Y \\ \frac{dY}{dx} = k_2 \end{matrix}$$

en ambos casos.

Para obtener los valores de las constantes  $k_1$  y  $k_2$  se sigue el procedimiento de minimización del error para un polinomio de primer grado, y para encontrar los valores de  $k_3$  y  $x_0$  se pueden reacomodar las variables y luego proceder a la minimización del error de la misma manera, es decir:

$$Y = k_1 + k_2 x + k_3 (x_0 - x)^2$$

$$Y - k_1 - k_2 x = k_3 (x_0 - x)^2$$

$$(Y - k_1 - k_2 x)^{\frac{1}{2}} = \sqrt{k_3} (x_0 - x)$$

Si se tienen las parejas de datos  $(x, y)$  y los valores de las constantes  $k_1$  y  $k_2$ , se pueden reacomodar las variables y ver la última expresión como una ecuación de primer grado que tiene como incógnitas la pendiente  $m = \sqrt{k_3}$  y la constante  $b = \sqrt{k_3} x_0$ , una vez obtenidas estas, se

pueden despejar  $k_3$  y  $x_0$ , el valor de  $x_0$  se puede redondear y entonces corregir el valor de  $k_3$  mediante la siguiente expresión:

$$k_3 = \frac{\sum (y - k_1 - k_2 x) (x_0 - x)^2}{(x_0 - x)^4}$$

#### - Correlaciones -

Se tiene en la gráfica 1 (pag. 49) la curva del parámetro  $c$  en función de  $w$  de la tabla 1B (pag. 39), esta curva puede ser representada por una ecuación cúbica o por un correlación obtenida en dos partes.

Tomando la ecuación cúbica, una primera función de  $w$  sería:

$$c = k_1 + k_2 w + k_3 w^2 + k_4 w^3 \quad (A)$$

cuyas constantes son:

$$k_1 = -0,909049128$$

$$k_2 = 19,1097147$$

$$k_3 = 38,520286$$

$$k_4 = -38,610245$$

Para una correlación obtenida en dos partes, en donde se toman los últimos tres puntos como una parte, se tendría una segunda función de  $w$ :

$$c = k_1 + k_2 w + k_3 (w_0 - w)^2 \quad \text{para } w < w_0 \quad (B)$$

y

$$c = k_1 + k_2 w \quad \text{para } w > w_0$$

donde las constantes tienen los siguientes valores:

$$w_0 = 0,23$$

$$k_1 = -2,34762449$$

$$k_2 = 31,98991$$

$$k_3 = 27,65$$

La tabla 2 (pag. 40) muestra el error que se tiene calculando el

parámetro  $c$  mediante cualquiera de las dos funciones anteriores.

La gráfica 2 (pag. 50), dada por la curva de temperatura crítica reducida  $\tilde{T}_c$  en función de  $c$ , da la impresión de poder ser representada sin problemas por un polinomio de segundo grado,

$$\tilde{T}_c = k_1 + k_2 c + k_3 c^2 \quad (C)$$

que tiene como constantes:

$$k_1 = 1.23666$$

$$k_2 = 0.055346$$

$$k_3 = -0.0016543$$

En la tabla 3 (pag. 42), se puede ver que realmente el error en el cálculo de la  $\tilde{T}_c$  es mínimo.

La gráfica 3 (pag. 51) contiene una curva de volumen crítico reducido  $\tilde{V}_c$  en función del parámetro  $c$ , la cual está representada en una forma bastante buena por una ecuación cúbica en donde las constantes son:

$$\tilde{V}_c = k_1 + k_2 c + k_3 c^2 + k_4 c^3 \quad (D)$$

$$k_1 = 4.84003123$$

$$k_2 = 0.0278635937$$

$$k_3 = 0.0145518556$$

$$k_4 = -7.40088791 \times 10^{-4}$$

La tabla 4 (pag. 43) muestra la diferencia de los valores calculados y los datos de  $\tilde{V}_c$ .

Existe también la posibilidad de graficar el cociente  $z_c/\tilde{V}_c$ , obtenido de la tabla 1A (pag. 38), en función de  $c$  (gráfica 4) en donde la curva queda bastante bien representada por cualquiera de las dos funciones siguientes:

$$f_1(c) = z_c/\tilde{V}_c = k_1 + k_2 c + k_3 c^2 + k_4 c^3 \quad (E)$$

$$f_2(c) = z_c/\tilde{V}_c = \begin{cases} k_1 + k_2 c & \text{para } c > c_0 \\ k_1 + k_2 c + k_3 (c_0 - c)^2 & \text{para } c < c_0 \end{cases} \quad (F)$$

en donde los coeficientes para ambas funciones son:

$$\begin{array}{ll}
 f_1(c) & f_2(c) \\
 k_1 = 0.0599386495 & c = 2.0 \\
 k_2 = -1.25662439 E -03 & k_1 = 0.058865 \\
 k_3 = 1.59634067 E -04 & k_2 = -0.0004723 \\
 k_4 = -9.38121365 E -06 & k_3 = 0.00029
 \end{array}$$

En la tabla 5 (pag. 44) hay una comparación de los valores calculados con las dos funciones y los datos de  $z_c/\tilde{v}_c$ .

#### - Parámetros -

Los parámetros  $c$ ,  $T^*$ , y  $V_0$  se obtienen a partir de las correlaciones anteriores como se muestra a continuación;

El valor de  $c$  está en función del factor acémtrico "w" mediante las ecuaciones (A) o (B).

Para  $T^*$  se tiene la expresión siguiente:

$$\tilde{T}_c = T_c/T^* = f(c)$$

$$\text{de donde, } T^* = T_c/\tilde{T}_c = T_c/f(c)$$

y  $f(c)$  está representada por la ecuación (C), por lo cual con la temperatura crítica y la función de  $c$  se puede obtener  $T^*$ .

Finalmente  $V_0$  se obtiene también de datos críticos y una función de  $c$  es decir:

$$\begin{aligned}
 \tilde{v}_c &= V_c/V_0 \\
 z_c &= (P_c V_c)/(R T_c) \\
 V_0 &= V_c/\tilde{v}_c = (z_c R T_c)/(P_c \tilde{v}_c) \\
 &= (z_c/\tilde{v}_c) (R T_c/P_c)
 \end{aligned}$$

$$\text{y como } (z_c/\tilde{v}_c) = f(c)$$

$$\text{entonces, } V_0 = (R T_c/P_c) f(c)$$

donde  $f(c)$  se obtiene mediante las ecuaciones (E) o (F).

En el caso en que se tiene el volumen crítico reducido en función directa de  $c$ , otra alternativa para calcular el parámetro  $V_0$  es utilizar el valor experimental del volumen crítico y la ecuación (D), esto es

$$V_0 = V_c / \tilde{v}(c)$$

Todas las correlaciones presentadas para obtener los parámetros fueron obtenidas a partir de los datos de las tablas 14 y 18 cuyos valores fueron generados con la ecuación de estado COR.

Dentro de las correlaciones se ha visto que hay tres mediante las cuales se puede obtener el volumen  $V_0$ , existen dos para obtener el parámetro  $c$  y una para la temperatura  $T^*$ ; pero las correlaciones que se usan para obtener  $V_0$  y  $T^*$  llevan implícita una función de  $c$ , por lo tanto estas se deben combinar para formar un juego de ellas que permita calcular los parámetros  $c$ ,  $T^*$  y  $V_0$  a partir del factor acéntrico " $w$ " y los datos críticos.

Existen seis formas posibles de combinar dichas correlaciones y de éstas se debe escoger la combinación mediante la cual el error sea mínimo en la obtención de los parámetros y de propiedades calculadas por la ecuación generalizada.

En las tablas de la 6 o la 11 (pag.45-47) se dan los parámetros  $c$ ,  $T^*$  y  $V_0$  obtenidos, con ayuda de las correlaciones, para algunas sustancias a partir de datos críticos y " $w$ ".

Se ha establecido una última correlación que no se genera con los datos de las tablas 11 y 18, sino que relaciona directamente el parámetro  $c$  con el factor acéntrico " $w$ " experimental mediante una ecuación cúbica cuyas constantes son:

$$c = k_1 + k_2 w + k_3 w^2 + k_4 w^3 \quad (5)$$

$$k_1 = -0.391335629$$

$$k_2 = 25.0411025$$

$$k_3 = -8.37093139$$

$$k_4 = 17.7630137$$

La temperatura crítica reducida queda como una función cuadrática de " $w$ " experimental con:

$$\tilde{T}_c = k_1 + k_2 w + k_3 w^2 \quad (5)$$

$$k_1 = 1.21619769$$

$$k_2 = 1.35814661$$

$$k_3 = -0.884968831$$

y la relación  $z_c/\tilde{v}_c$  como una función cúbica de  $w$  experimental donde:

$$z_c/\tilde{v}_c = k_1 + k_2 w + k_3 w^2 + k_4 w^3 \quad (7)$$

$$k_1 = 0.0604133979$$

$$k_2 = -0.0330948208$$

$$k_3 = 0.100091615$$

$$k_4 = -0.140627434$$

En la tabla 12 (pag. 48) se dan los valores de los parámetros calculados con esta óptima combinación de correlaciones, para algunas sustancias.

En el siguiente capítulo se presentarán tablas comparativas de propiedades calculadas con la ecuación de estado generalizada, para lo cual será útil detallar las combinaciones posibles de las correlaciones y saber cuales de estas se están utilizando en cada caso; según las siete combinaciones que existen, hay igual número de formas para generalizar la ecuación de acuerdo a la siguiente tabla:

#### VALOR OBTENIDO

FORMA	C	$T_c$	$z_c/\tilde{v}_c$ ó $\tilde{v}_c$
			A PARTIR DE LA ECUACION
1	(A)	(C)	(E)
2	(B)	(C)	(D)
3	(A)	(C)	(F)
4	(B)	(C)	(E)
5	(B)	(C)	(D)
6	(C)	(C)	(F)
7	(S)	(E)	(T)

Por último, en la tabla 12A (pag. 48) se dan los valores de los parámetros originales de la ecuación para algunas sustancias.

**Tabla 1A : Propiedades reducidas en el punto crítico, calculadas con la ecuación de estado COR.**

SUSTANCIA	c	T <sub>c</sub>	$\tilde{v}_c$	z <sub>c</sub>
metano	0.0	1.2362	4.8382	0.29048
CO	0.2	1.2472	4.8469	0.28937
N <sub>2</sub>	0.64	1.2711	4.8664	0.28754
etileno	1.7	1.3264	4.9255	0.28545
etano	2.0	1.3414	4.9467	0.2868
propano	3.2	1.3977	5.0519	0.28926
isobutano	3.8	1.4238	5.1148	0.29139
n-butano	4.4	1.4485	5.1818	0.29393
neopentano	4.5	1.4525	5.1931	0.29405
benceno	4.8	1.4643	5.2285	0.29645
ciclohexano	4.92	1.4689	5.2421	0.29609
isopentano	5.2	1.4795	5.2751	0.29723
n-pentano	5.6	1.4941	5.3234	0.29996
tolueno	6.0	1.5083	5.3715	0.30183
n-hexano	6.8	1.5352	5.4669	0.30408
n-octano	9.6	1.6164	5.7942	0.31473

Tabla 18 : Comparación del punto crítico experimental con el calculado  
a partir de la ecuación de estado.

SUSTANCIA	Tc calc.	Tc exp.	Pc calc.	Pc exp.	w calc.	w exp.
metano	187.54	190.6	4.42	4.6	0.0429	0.007
CO	132.32	132.9	3.46	3.495	0.05259	0.041
N <sub>2</sub>	124.25	126.2	3.21	3.394	0.07176	0.04
etileno	369.83	282.4	8.72	5.0359	0.115	0.086
otano	302.4	305.4	4.78	4.884	0.1268	0.091
propano	368.39	369.8	4.22	4.245	0.1681	0.145
isobutano	408.3	408.1	3.67	3.647	0.1826	0.176
n-butano	424.77	425.2	3.83	3.799	0.2082	0.193
neopentano	432.17	433.0	3.19	3.2	0.2121	0.197
benceno	562.92	562.1	5.08	4.092	0.2231	0.21
ciclohexano	552.27	553.4	4.12	4.07	0.2259	0.214
isopentano	460.27	460.4	3.42	3.384	0.2345	0.227
n-pentano	471.57	469.6	3.6	3.374	0.2407	0.251
tolueno	596.09	591.7	4.39	4.1138	0.26158	0.257
n-hexano	512.55	507.4	3.2	2.9680	0.28515	0.296
n-octano	576.34	568.0	2.72	2.4025	0.37365	0.394

**Tabla 2 : Comparación de valores del parámetro  $c$ . El valor de  $w$  es el predicho por la ecuación de estado COR, los valores de  $c$  son los que dan Chien y Chao, y los valores de  $c_1$  y  $c_2$  son los obtenidos con las ecuaciones (A) y (B) respectivamente.**

$w$	$c$	$c_1$	$c_2$
0.0429	0.0	-0.02139	-0.00733
0.05259	0.2	0.1968	0.2049
0.07176	0.64	0.6463	0.64032
0.115	1.7	1.7392	1.6968
0.1268	2.0	2.0547	2.0031
0.1681	3.2	3.208	3.1358
0.1826	3.8	3.6296	3.5558
0.2082	4.4	4.39	4.3258
0.2121	4.5	4.508	4.4462
0.2231	4.8	4.8428	4.7906
0.2259	4.92	4.9284	4.8793
0.2345	5.2	5.1925	5.154
0.2487	5.6	5.6321	5.6082
0.26158	6.0	6.034	6.0202
0.28515	6.8	6.7769	6.77429
0.37365	9.6	9.595	9.6054

Tabla 2A : Valores de  $c_1$  y  $c_2$  obtenidos con las ecuaciones (A) Y (B),  
pero en este caso a partir de  $w$  experimental.

$w$ experimental	$c_1$	$c_2$
0.007	-0.77341	-0.74869
0.041	-0.06346	-0.04835
0.04	-0.08545	-0.06986
0.086	0.99472	0.97686
0.091	1.1198	1.0977
0.145	2.554	2.4907
0.176	3.437	3.3632
0.193	3.9364	3.8643
0.197	4.0553	3.9845
0.21	4.4452	4.3813
0.214	4.5661	4.5053
0.227	4.9621	4.9143
0.251	5.7038	5.6018
0.257	5.891	5.8738
0.296	7.1211	7.1214
0.394	10.238	10.256

Table 3 : Comparación de los valores de  $\tilde{T}_c$  obtenidos de la tabla 1A, con los calculados por la ecuación (C).

c	$\tilde{T}_c$	$\tilde{T}_c$ calc.	error
0	1.2362	1.23666	+0.0005
0.2	1.2472	1.2477	+0.0005
0.64	1.2711	1.2714	+0.0003
1.7	1.3264	1.3260	-0.0004
2.0	1.3414	1.3407	-0.0007
3.2	1.3977	1.3968	-0.0009
3.8	1.4238	1.4231	-0.0007
4.4	1.4485	1.4482	-0.0003
4.5	1.4525	1.4522	-0.0003
4.8	1.4643	1.4642	-0.0001
4.92	1.4689	1.4689	0.0
5.2	1.4795	1.4797	+0.0002
5.6	1.4941	1.4947	+0.0006
6.0	1.5083	1.5092	+0.0009
6.8	1.5352	1.5365	+0.0013
9.6	1.6164	1.6155	-0.0009

Tabla 4 : Comparación de los valores para  $\tilde{V}_c$  obtenidos de la tabla 1A con los calculados usando la ecuación (0).

c	$\tilde{V}_c$	$\tilde{V}_c$ calc.	error
0	4.8382	4.84	+0.0018
0.2	4.8469	4.8462	-0.0007
0.64	4.8664	4.8636	-0.0027
1.7	4.9255	4.9258	+0.0003
2.0	4.9467	4.948	+0.0013
3.2	5.0519	5.0539	+0.002
3.8	5.1148	5.1154	+0.0006
4.4	5.1818	5.1813	-0.0004
4.5	5.1931	5.1926	-0.0004
4.8	5.2285	5.2272	-0.0012
4.92	5.2421	5.2412	-0.0008
5.2	5.2751	5.2743	-0.0007
5.6	5.3234	5.3224	-0.0009
6.0	5.3715	5.3712	-0.0002
6.8	5.4669	5.4696	+0.0027
9.6	5.7942	5.7938	-0.0007

Tabla 5 : Comparación de los valores de  $z_c/\tilde{v}_c$  obtenidos de datos experimentales (tabla 1A) con los valores de  $(z_c/\tilde{v}_c)_1$  y  $(z_c/\tilde{v}_c)_2$ , obtenidos con las ecuaciones (E) y (F) respectivamente.

$c$	$z_c/\tilde{v}_c$	$(z_c/\tilde{v}_c)_1$	$(z_c/\tilde{v}_c)_2$
0	0.060039	0.059938	0.05908
0.2	0.059702	0.0596936	0.05886
0.64	0.059087	0.0591973	0.058456
1.7	0.058156	0.0582176	0.057946
2.0	0.057978	0.057988	0.05792
3.2	0.057258	0.0572447	0.05735
3.8	0.056968	0.0569538	0.05707
4.4	0.056724	0.05670	0.05678
4.5	0.056623	0.056661	0.05673
4.8	0.056699	0.056547	0.05659
4.92	0.056483	0.0565029	0.05654
5.2	0.056346	0.056401	0.0564
5.6	0.056347	0.05626	0.05622
6.0	0.056191	0.056119	0.05603
6.8	0.055622	0.05582	0.05565
9.6	0.054310	0.054287	0.05433

Tabla 6 : Parámetros calculados de la forma 1

SUSTANCIA	c	T*	V <sub>0</sub>
metano	-0.77341	159.78	21.017
etano	1.1198	235.55	30.527
butano	3.9364	297.57	52.941
pentano	5.7038	313.38	65.06
isopentano	4.9621	313.08	63.895
hexano	7.1211	328.01	79.143
etileno	0.99472	218.90	27.432
benceno	4.4452	387.66	54.127

Tabla 7 : Parámetros calculados de la forma 2

SUSTANCIA	c	T*	V <sub>0</sub>
metano	-0.77341	159.78	20.507
etano	1.1198	235.55	30.275
butano	3.9364	297.57	49.707
pentano	5.7038	313.38	56.982
isopentano	4.9621	313.08	58.328
hexano	7.1211	328.01	67.161
etileno	0.99472	218.9	26.427
benceno	4.4452	387.66	49.938

Tabla 8 : Parámetros calculados de la forma 3

SUSTANCIA	c	T*	V <sub>0</sub>
metano	-0.77341	159.78	21.173
etano	1.1198	235.55	30.445
butano	3.9364	297.57	53.046
pentano	5.7038	313.38	64.999
isopentano	4.9621	313.08	63.933
hexano	7.1211	328.01	78.865
etileno	0.99472	218.9	27.362
benceno	4.4452	387.66	66.321

Tabla 9 : Parámetros calculados de la forma 4

SUSTANCIA	c	T*	V <sub>0</sub>
metano	-0.74869	159.9	21.004
etano	1.0977	235.75	30.537
butano	3.8643	298.21	52.971
pentano	5.6818	313.54	65.069
isopentano	4.9143	313.48	63.915
hexano	7.1214	328.01	79.143
etileno	0.97686	219.05	27.44
benceno	4.3013	388.35	54.151

Tabla 10 : Parámetros calculados de la forma 5

SUSTANCIA	c	T*	V <sub>0</sub>
metano	-0.74869	159.59	20.507
etano	1.0977	235.75	30.283
butano	3.8643	298.21	49.782
pentano	5.6818	313.54	57.01
isopentano	4.9143	313.48	58.391
hexano	7.1214	328.01	67.161
etileno	0.97686	219.06	26.432
benceno	4.3813	388.35	50.008

Tabla 11 : Parámetros calculados de la forma 6

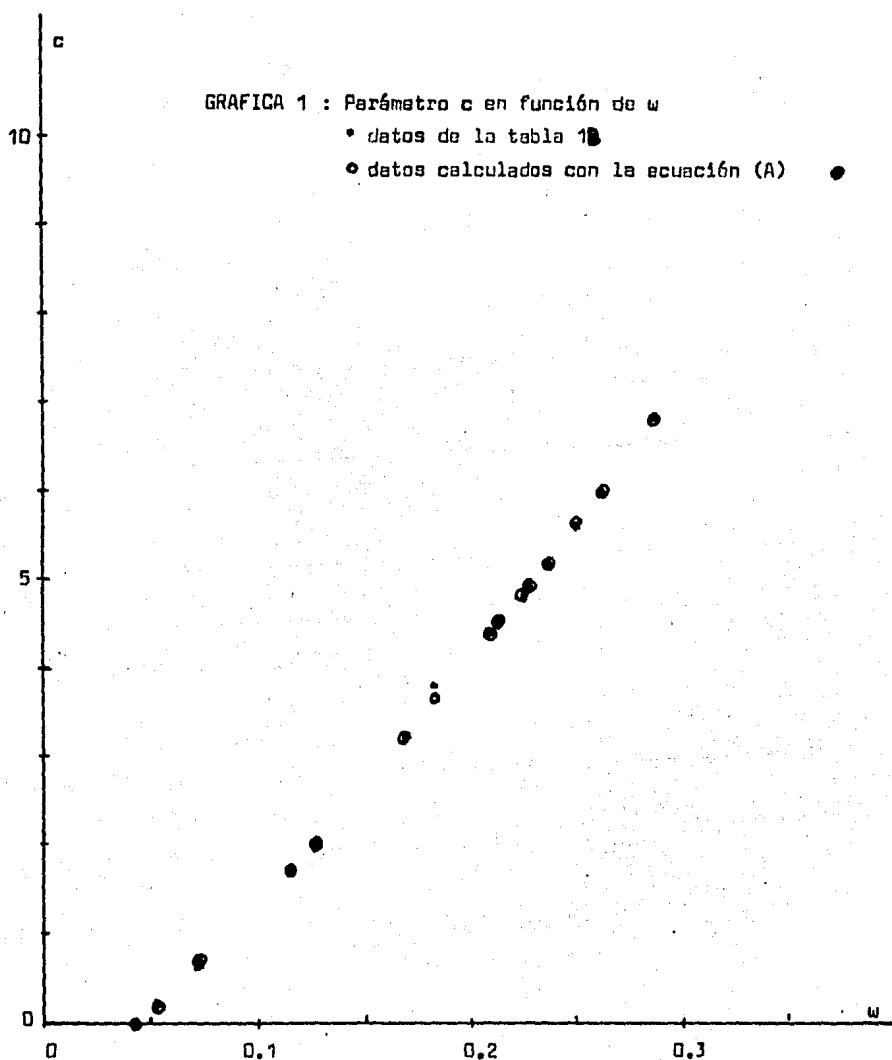
SUSTANCIA	c	T*	V <sub>0</sub>
metano	-0.74869	159.59	21.155
etano	1.0977	235.75	30.456
butano	3.8643	298.21	53.068
pentano	5.6818	313.54	65.011
isopentano	4.9143	313.48	63.959
hexano	7.1214	328.01	78.865
etileno	0.97686	219.06	27.371
benceno	4.3813	388.35	54.234

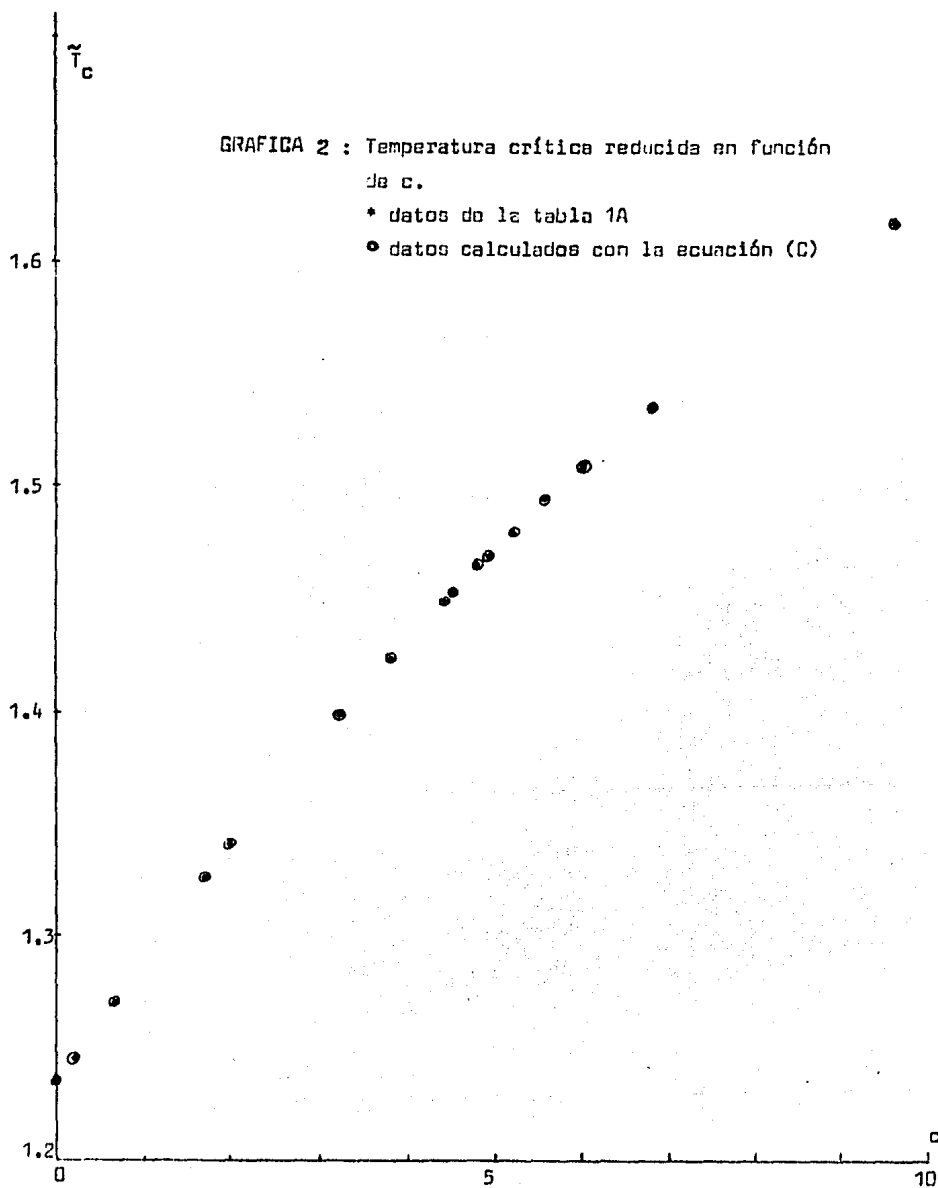
Tabla 12 : Parámetros calculados de la forma 7

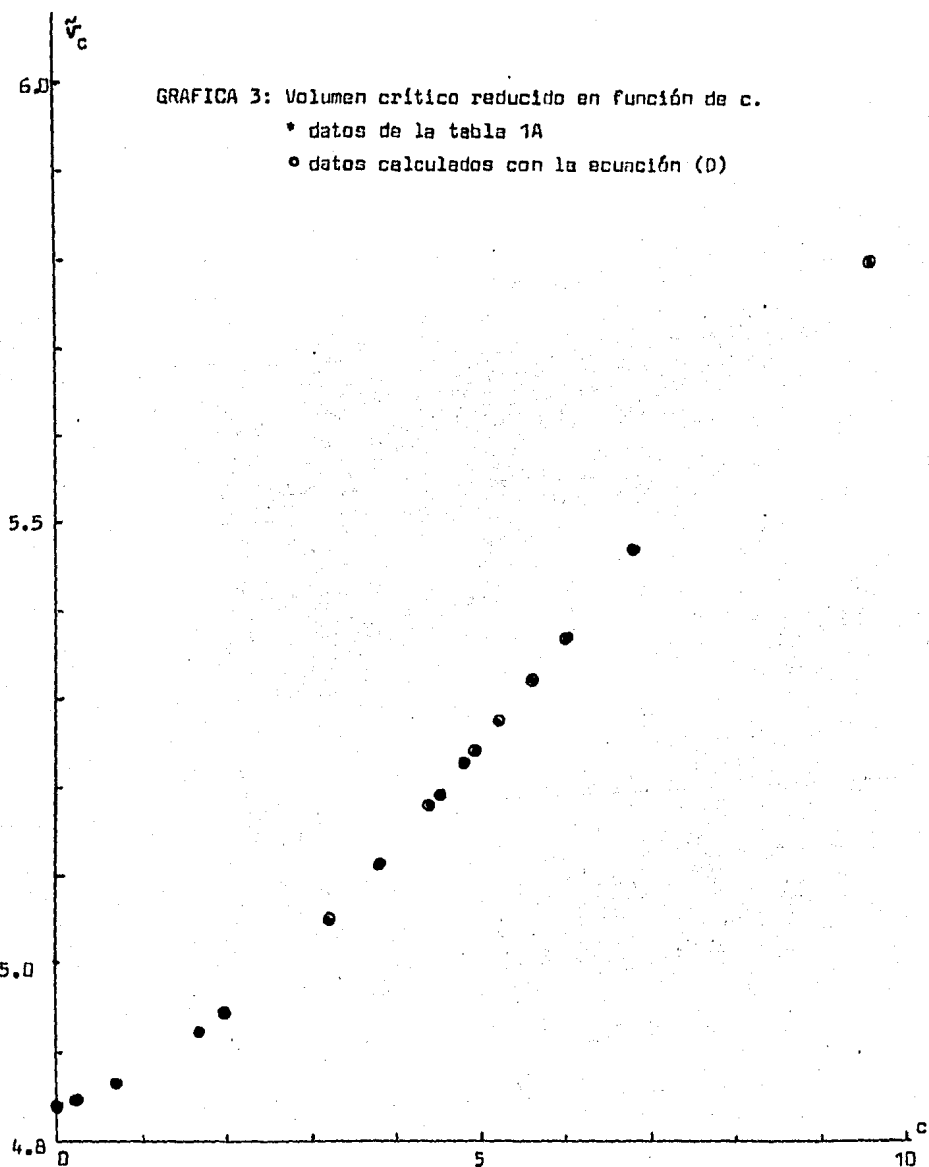
SUSTANCIA	c	T*	V <sub>0</sub>
metano	-0.21635	155.51	20.734
etano	1.8479	229.2	30.218
butano	4.3308	294.18	52.802
pentano	5.7708	312.79	65.019
isopentano	5.1705	311.31	63.881
hexano	6.9189	329.34	79.204
etileno	1.7263	212.9	27.143
benceno	4.7522	384.37	54.024

Tabla 12A : Parámetros originales de la ecuación COR

SUSTANCIA	c	T*	V <sub>0</sub>
metano	0.0	151.71	21.192
etano	2.0	255.44	30.52
butano	4.4	293.25	52.24
pentano	5.6	315.61	63.1
isopentano	5.2	311.11	63.0
hexano	6.8	333.87	73.96
etileno	1.7	211.0	27.3
benceno	4.8	384.44	52.25





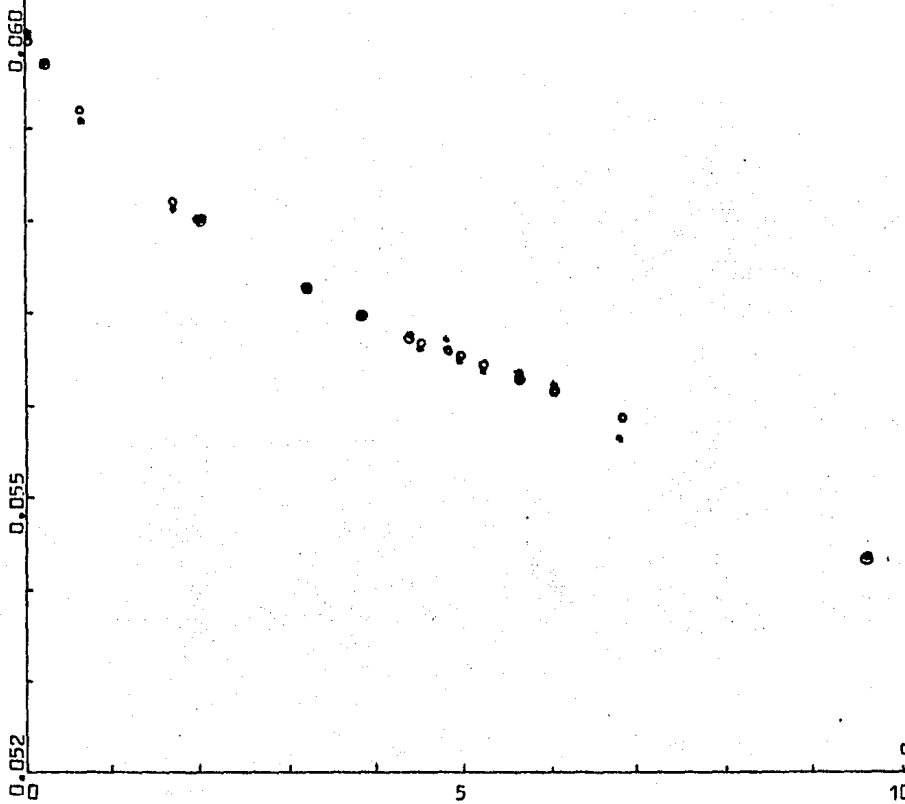


$z_c / \tilde{V}_c$ 

GRAFICA 4 : Relación de factor de compresibilidad y volumen en función de  $c$ .

\* datos de la tabla 18

● datos calculados con la ecuación (E)



**CAPITULO IV**  
**ANALISIS Y COMPARACION DE RESULTADOS**

- Presiones de vapor -
- Volumen de líquido saturado -
- Volumen de vapor saturado -
- Datos pVT (isotermas) -
- Segundo coeficiente virial -
- Datos de una curva de saturación en un diagrama presión-entalpia -

En este capítulo se presentan las tablas comparativas de resultados en donde se puede ver que diferencias existen y las desviaciones que tienen los datos calculados con respecto a los experimentales, se da el % de desviación. Las tablas incluyen: datos experimentales y datos calculados, los segundos se presentan en ocho columnas. La primera de las cuales es mediante la ecuación de estado COR con sus parámetros originales; las otras siete columnas son datos calculados a partir de la ecuación de estado generalizada, es decir que en ellas se utilizan parámetros de la ecuación calculados o estimados a partir de datos críticos y factor acéntrico de Pitzer, para lo cual se emplearon las correcciones del capítulo anterior; son siete formas seleccionadas en las cuales las correcciones se combinan para obtener los tres parámetros de la ecuación,  $c$ ,  $T^*$ , y  $V_0$ .

En la tabla 13 (pag. 56) se muestra el % de desviación en el cálculo de la presión de vapor para algunas sustancias.

En las tablas de la 14 a la 18 (pag. 57-61) se muestra una comparación detallada de datos de presión de vapor para las siguientes sustancias: metano, etano, n-butano, n-hexano y benceno. De estos resultados se puede observar la variación en el cálculo de la presión de vapor con los parámetros obtenidos de las distintas formas, así como con la variación en el tamaño de la cadena en los hidrocarburos.

En las tablas de la 19 a la 21 y de la 22 a la 24 (pag. 62-69), se dan los datos de volumen del vapor saturado y volumen de líquido saturado respectivamente, para las siguientes sustancias: metano, n-pentano, isopentano y n-hexano. En estas tablas además de poder observar las diferencias entre los datos experimentales y los datos calculados, se da también el % de desviación. La tabla 25 (pag. 70) muestra en forma comparativa este % de desviación tanto para volumen de vapor como para volumen de líquido saturado de las sustancias que se mencionaron.

Las tablas de la 26 a la 31 (pag. 71-76) contienen datos pVT para metano, cada tabla presenta una isotermia calculada de las distintas formas y comparada con la isotermia experimental; es decir que cada tabla contiene datos de presión, calculados a partir de volumen, a temperatura constante. Se da también el % de desviación de las isotermas calculadas con res-

pecto a la experimental.

Las tablas de la 32 a la 36 (pag. 77-81) presentan datos similares a los anteriores, sólo que esta vez para n-octano, con lo cual se puede observar el comportamiento de la ecuación con moléculas más grandes.

Las tablas de la 37 a la 42 (pag. 82-87) muestran en forma comparativa los datos experimentales y los calculados del segundo coeficiente virial para las siguientes sustancias: metano, benzeneo, n-butano, n-hexano etileno y n-octano.

Se puede observar también dentro de estas tablas el % de desviación con respecto a datos experimentales para cada una de las formas de cálculo.

Finalmente, las tablas de la 43 a la 75 (pag. 88-123) contienen datos de una curva de saturación, en un diagrama presión-entalpia, para las siguientes sustancias: n-butano, metano, etileno y n-hexano. Se anexan a dichas tablas datos experimentales de saturación para cada sustancia con el fin de poder comparar los datos calculados mediante la ecuación GOR con los calculados por la ecuación generalizada, así como de observar la variación que tienen éstos con respecto a los experimentales.

En seguida de las tablas se anexan los programas que se utilizaron para el cálculo de los datos obtenidos haciendo uso de la ecuación de esta do GOR, a la cual se le alimentan ya sea los parámetros originales o bien los modificados que se obtienen por medio de las correlaciones del capítulo anterior.

	COR	1	2	3	4	5	6	7
metano	0.69779	4.009	5.6	3.79	3.70	5.09	3.54	4.235
etano	2.007	6.42	7.16	6.32	6.77	7.5		4.904
n-butano	5.34	6.5	7.58	6.2	6.94	8.01	7.402	6.499
n-pentano	1.41	1.6	15.9	1.89	1.85	14.057	2.334	1.209
isopentano	0.77	1.48	21.4	1.36	1.9	11.5	2.193	0.62
n-hexano	5.56	3.67	27.93	4.96	8.4	20.9	4.04	5.059
etileno	1.19	6.04	8.2	6.07	6.31	8.5	5.049	7.84
benceno	0.792	0.804	8.32	18.4	0.876	8.49	0.925	1.299

Tabla 13 : % DE DESVIACION CON RESPECTO A DATOS EXPERIMENTALES.  
Para datos de presión de vapor.

T (°K)	p exp.	p calc.	correlación						
			(MPa)	COR	1	2	3	4	5
95	0.02	0.0197	0.0223	0.0229	0.0221	0.0221	0.0226	0.0219	0.018607
100	0.0345	0.0343	0.038	0.0391	0.0379	0.0379	0.0388	0.0376	0.032543
105	0.0563	0.0566	0.0617	0.0633	0.0613	0.0613	0.0628	0.0609	0.05367
110	0.0884	0.0888	0.0954	0.0977	0.0946	0.0948	0.0971	0.0941	0.08426
115	0.1328	0.1335	0.1413	0.1449	0.1403	0.1406	0.144	0.1396	0.1268
120	0.1919	0.1934	0.2025	0.2075	0.2009	0.201	0.206	0.2	0.184
125	0.2698	0.2716	0.2815	0.2865	0.279	0.28	0.287	0.2782	0.2588
130	0.3601	0.3710	0.38	0.39	0.377	0.379	0.388	0.3767	0.35389
135	0.4918	0.4950	0.504	0.5165	0.5	0.502	0.514	0.4987	0.47272
140	0.6422	0.6466	0.6332	0.6694	0.6462	0.651	0.667	0.6466	0.6179
145	0.8251	0.8296	0.8329	0.8531	0.826	0.83	0.85	0.8243	0.79357
150	1.0414	1.047	1.0435	1.0695	1.0356	1.0412	1.066	1.337	1.0010
155	1.2974	1.3031	1.2908	1.323	1.281	1.2604	1.3196	1.2782	1.2473
160	1.5939	1.6019	1.5779	1.6171	1.5659	1.5753	1.6135	1.564	1.5336
165	1.93025	1.9483	1.9087	1.9563	1.8942	1.9061	1.9523	1.8925	1.8652
170	2.3308	2.3482	2.2883	2.3452	2.2709	2.2856	2.341	2.2693	2.2472
175	2.7805	2.8089	2.7227	2.7904	2.702	2.7201	2.786	2.7	2.686
180	3.2803	3.3406	3.22	3.3	3.1956	3.2176	3.2956	3.1947	3.1903

Tabla 14 : PRESION DE VAPOR : METANO

T (K)	p exp. (MPa)	p calc. COR	correlación						
			1	2	3	4	5	7	
135.726	.002418	.002389	.00287	.0029	.00288	.0029	.00292	.002192	
143.26	.005152	.005157	.006029	.00307	.00604	.00607	.00612	.0047505	
147.31	.00752	.0075186	.007656	.008729	.009679	.00871	.00879	.0089313	
154.45	.014016	.013814	.01558	.01571	.01562	.01569	.01581	.012004	
165.52	.031119	.031626	.03463	.03492	.03472	.03401	.0351	.02941	
171.69	.04681	.047550	.05143	.05106	.05157	.05167	.0521	.04438	
175.47	.05203	.060995	.05546	.06601	.06564	.06575	.0653	.057032	
179.74	.073911	.077342	.08235	.08304	.08257	.0827	.0833	.07238	
183.77	.095076	.096891	.10246	.10331	.10273	.1030	.10323	.090409	
186.0	.1066	.10933	.11521	.11617	.1155	.11565	.1166	.10257	
187.82	.1173	.12023	.12635	.1274	.1266	.12682	.1278	.112.7	
189.85	.1309	.13344	.13977	.14093	.14015	.14027	.1414	.12533	
191.42	.1410	.14442	.15040	.15210	.1513	.15142	.1526	.13568	
192.767	.1514	.15436	.15997	.16231	.1614	.16152	.1620	.14509	
194.46	.09794	.10050	.10625	.10714	.1065	.10557	.1075	.0943	
210.95	.3369	.34602	.3533	.3552	.3542	.35415	.3571	.3274	
225.09	.57515	.59085	.5833	.59327	.5949	.59451	.5994	.55948	
237.89	.9108	.9039	.89856	.90604	.9	.09997	.9075	.8585	
253.02	1.3859	1.4151	1.3912	1.4028	1.395	1.3928	1.4045	1.3407	
268.72	2.09072	2.1430	2.0871	2.1045	2.0927	2.0818	2.1063	2.0445	
273.08	2.32353	2.3894	2.3196	2.3389	2.3259	2.3213	2.3407	2.2767	
278.83	2.64052	2.7434	2.6554	2.6775	2.6626	2.657	2.6793	2.6171	
283.37	2.97113	3.0661	2.9599	2.9845	2.9679	2.9679	2.9862	2.9227	
288.25	3.303	3.4174	3.2876	3.3149	3.2969	3.289	3.3166	3.2645	
290.15	4.00820	4.2669	4.0840	4.1100	4.0958	4.086	4.1203	4.0604	

Tabla 15 : ETANO : PRESION DE VAPOR

T (°K)	p exp. (MPa)	p calc. COR	1	2	3	4	5	6	7
			correlación						
226.23	0.011411	.01143	.01219	.0129	.012	.0123	.013	.012332	.011304
246.51	.0332679	.03332	.03495	.0371	.034	.0352	.037	.03515	.03269
262.32	.0671065	.06732	.06951	.0741	.069	.0702	.0747	.07	.0664
270.39	.09294	.093	.09553	.10186	.095	.0963	.1025	.09619	.09166
273.49	.101925	.1447	.10754	.1145	.1073	.1082	.11519	.10803	.10324
205.45	.003133	.002931	.0032	.0034	.00319	.00325	.00346	.00325	.0029
220.15	.01327	.01276	.01355	.0144	.0135	.0137	.0146	.0137	.01259
250.45	.04144	.04007	.04178	.0445	.0417	.0422	.0449	.04213	.03954
261.05	.06639	.06603	.06829	.0727	.0681	.0688	.0733	.06875	.06512
273.15	.1033	.1034	.1061	.103	.1058	.1069	.1137	.10668	.10193
278.75	.1273	.12707	.13	.1385	.1290	.1309	.1393	.13071	.1253
313.15	.4466	.37806	.38089	.40567	.38014	.3824	.4069	.37162	.37221
323.15	.5732	.4953	.49715	.5295	.49617	.4989	.53086	.49786	.48757
333.15	.7119	.6373	.63743	.6799	.63617	.6393	.68025	.638	.62716
343.16	.8932	.8070	.8055	.8579	.8039	.80744	.85913	.8053	.79482
363.15	1.4265	1.2481	1.2377	1.3183	1.2353	1.2396	1.319	1.2371	1.2275
373.15	1.6665	1.5252	1.5091	1.6073	1.5061	1.5108	1.6075	1.5077	1.4998
383.15	1.9598	1.8462	1.8228	1.9414	1.8192	1.8241	1.941	1.8204	1.8151
393.15	2.4131	2.216	2.1837	2.3258	2.1794	2.1846	2.3246	2.1802	2.1784
403.15	2.7464	2.641	2.5901	2.7671	2.593	2.5984	2.7648	2.5957	

Tabla 1G : n-BUTANO : PRESION DE VAPOR

T (K)	p exp. (MPa)	p calc. COR	1	2	3	4	5	6	7
correlación									
190.15	.66 E-5	1.10 E-5	.822 E-5	.19 E-5	.24 E-5	.88 E-5	.81 E-5	.91 E-5	.74 E-5
196.95	.16 E-4	.117 E-4	.133 E-4	.20 E-4	.15 E-4	.16 E-4	.22 E-4	.14 E-4	.17 E-4
215.85	1.0 E-4	1.07 E-4	.110 E-3	.13 E-3	.11 E-3	.11 E-3	.13 E-3	.11 E-3	.11 E-3
229.23	3.2 E-4	3.42 E-4	.351 E-3	.41 E-3	.35 E-3	.35 E-3	.41 E-3	.35 E-3	.38 E-3
262.45	.003338	.0033529	.003422	.00403	.003433	.003421	.00403	.003433	.003576
270.35	.005219	.005232	.005336	.00629	.005356	.00533	.006289	.005354	.005557
273.15	.006059	.006085	.0062	.0073	.006223	.0062	.0073	.00622	.00645
293.15	.01509	.016179	.01642	.01935	.01648	.0164	.01936	.01647	.016962
313.15	.03689	.037127	.0376	.0443	.03773	.0376	.04431	.03773	.038589
333.15	.07548	.075895	.0766	.0903	.07696	.0766	.09036	.07695	.07827
353.15	.141580	.14135	.1423	.1677	.1428	.1423	.1677	.1428	.1448
373.15	.24470	.24396	.24515	.2808	.246	.2451	.2808	.2459	.24853
383.15	.314374	.31294	.31432	.3704	.3151	.3143	.3703	.3154	.31824
393.15	.397567	.396	.397	.4679	.3984	.39705	.4679	.3984	.40142
413.15	.61400	.61035	.6112	.7202	.6133	.61117	.7202	.6133	.61625
433.15	.905659	.9026	.9021	1.0631	.9053	.9021	1.0631	.9053	.90764
453.15	1.286695	1.2872	1.2862	1.5157	1.2908	1.2862	1.5156	1.2907	1.2914
473.15	1.77972	1.7839	1.7803	2.0979	1.7866	1.7802	2.0978	1.7865	1.7858
493.15	2.41314	2.4148	2.4092	2.839	2.4176	2.4091	2.8308	2.4175	2.4139

Table 17 : n-HEXANO : PRESION DE VAPOR

T (°K)	p exp. (MPa)	p calc. COR	correlación						
			1	2	3	4	5	6	7
353.15	.10066	.10059	.10264	.11125	.0838	.10339	.11196	.10323	.09926
373.15	.17799	.17977	.1809	.196	.14764	.1819	.197	.1816	.17604
393.15	.29731	.29757	.2909	.324	.244	.3004	.325	.2999	.29249
413.15	.4693	.46876	.468	.507	.382	.4698	.505	.4691	.46007
433.15	.7066	.70596	.70123	.76	.572	.7033	.761	.7022	.69195
453.15	1.0155	1.0229	1.0115	1.0963	.8255	1.0138	1.0970	1.0121	1.0015
473.15	1.4199	1.4356	1.414	1.5326	1.154	1.4163	1.533	1.414	1.4042
493.15	1.936	1.961	1.9249	2.0064	1.571	1.927	2.086	1.924	1.9165
513.15	2.5801	2.6100	2.5634	2.7780	2.0921	2.565	2.777	2.5609	2.5578
533.15	3.3769	3.435	3.3544	3.6357	2.7376	3.355	3.633	3.3498	3.3533
553.15	4.3706	4.4309	4.3278	4.6906	3.5319	4.327	4.685	4.3204	4.3321

Tabla 18 : BENZENO : PRESION DE VAPOR

Tabla : 19

VOLÚMEN DEL VAPOR SATURADO : metano

Tabla 19 VOLUMEN DE VAPOR SATURADO : METANO

VOLUMEN DEL VAPOR SATURADO

T/T V EXP

V CALCULADO

T/T	V EXP	V CALCULADO							
115.17	26.77660	22.57555	22.57465	25.77805	25.77565	26.75500	25.71575	25.32385	20.54211
125.17	26.77660	21.23175	21.23225	25.77805	25.75200	25.75200	25.32385	21.34500	21.47271
135.17	26.77660	19.24325	19.24325	25.77805	25.75200	25.75200	25.32385	19.80900	15.01711
145.17	26.77660	17.25475	17.25475	25.77805	25.75200	25.75200	25.32385	17.89100	11.22370
155.17	26.77660	15.26625	15.26625	25.77805	25.75200	25.75200	25.32385	15.94700	9.36345
165.17	26.77660	13.27775	13.27775	25.77805	25.75200	25.75200	25.32385	13.99400	7.51621
175.17	26.77660	11.28925	11.28925	25.77805	25.75200	25.75200	25.32385	11.94100	5.67395
185.17	26.77660	9.30075	9.30075	25.77805	25.75200	25.75200	25.32385	9.88800	3.83665
195.17	26.77660	7.31225	7.31225	25.77805	25.75200	25.75200	25.32385	7.83500	2.00335
205.17	26.77660	5.32375	5.32375	25.77805	25.75200	25.75200	25.32385	5.78200	0.17005
215.17	26.77660	3.33525	3.33525	25.77805	25.75200	25.75200	25.32385	3.72900	-1.83771
225.17	26.77660	1.34675	1.34675	25.77805	25.75200	25.75200	25.32385	1.67600	-3.67341
235.17	26.77660	-0.65825	-0.65825	25.77805	25.75200	25.75200	25.32385	-0.62300	-5.53011
245.17	26.77660	-2.67075	-2.67075	25.77805	25.75200	25.75200	25.32385	-2.64700	-7.38781
255.17	26.77660	-4.68225	-4.68225	25.77805	25.75200	25.75200	25.32385	-4.65400	-9.24451
265.17	26.77660	-6.69375	-6.69375	25.77805	25.75200	25.75200	25.32385	-6.62100	-11.10121
275.17	26.77660	-8.70525	-8.70525	25.77805	25.75200	25.75200	25.32385	-8.64800	-12.95791
285.17	26.77660	-10.71675	-10.71675	25.77805	25.75200	25.75200	25.32385	-10.61500	-14.81461
295.17	26.77660	-12.72825	-12.72825	25.77805	25.75200	25.75200	25.32385	-12.54200	-16.67131
305.17	26.77660	-14.73975	-14.73975	25.77805	25.75200	25.75200	25.32385	-14.46900	-18.52801
315.17	26.77660	-16.75125	-16.75125	25.77805	25.75200	25.75200	25.32385	-16.39600	-20.38471
325.17	26.77660	-18.76275	-18.76275	25.77805	25.75200	25.75200	25.32385	-18.32300	-22.24141
335.17	26.77660	-20.77425	-20.77425	25.77805	25.75200	25.75200	25.32385	-20.25000	-24.09811
345.17	26.77660	-22.78575	-22.78575	25.77805	25.75200	25.75200	25.32385	-22.17700	-25.95481
355.17	26.77660	-24.79725	-24.79725	25.77805	25.75200	25.75200	25.32385	-24.10400	-27.81151
365.17	26.77660	-26.80875	-26.80875	25.77805	25.75200	25.75200	25.32385	-26.03100	-29.66821
375.17	26.77660	-28.82025	-28.82025	25.77805	25.75200	25.75200	25.32385	-28.95800	-31.52491
385.17	26.77660	-30.83175	-30.83175	25.77805	25.75200	25.75200	25.32385	-30.88500	-33.38161
395.17	26.77660	-32.84325	-32.84325	25.77805	25.75200	25.75200	25.32385	-32.81200	-35.23831
405.17	26.77660	-34.85475	-34.85475	25.77805	25.75200	25.75200	25.32385	-34.73900	-37.09501
415.17	26.77660	-36.86625	-36.86625	25.77805	25.75200	25.75200	25.32385	-36.76600	-38.95171
425.17	26.77660	-38.87775	-38.87775	25.77805	25.75200	25.75200	25.32385	-38.69300	-40.80841
435.17	26.77660	-40.88925	-40.88925	25.77805	25.75200	25.75200	25.32385	-40.62000	-42.66511
445.17	26.77660	-42.89075	-42.89075	25.77805	25.75200	25.75200	25.32385	-42.54700	-44.52181
455.17	26.77660	-44.89225	-44.89225	25.77805	25.75200	25.75200	25.32385	-44.47400	-46.37851
465.17	26.77660	-46.89375	-46.89375	25.77805	25.75200	25.75200	25.32385	-46.40100	-48.23521

T DE NEUTRACION 3.61051 2.70367 11.27702 2.51516 2.52666 11.24755 3.61955 2.56265

Tabla 19a VOLUMEN DE VAPOR SATURADO : n-PENTANO

2012-13 DEL VAF20. 2012-13

Tabela 20 VOLUMEN DE VAPOR SATURADO : ISOPENTANO:

VOLUMEN DEL VAPOR SATURADO

T(°C)	V EXP	V CALCULADO							
		1	2	3	4	5	6	7	
200.00	470.01500	371.41200	364.52200	360.32000	357.29000	364.43000	362.42000	367.34000	356.27000
210.00	447.72000	342.16000	346.07000	344.76000	346.43000	346.87000	344.72000	346.45000	342.22000
220.00	426.21000	324.72000	326.69000	324.69000	324.84000	324.82000	326.85000	327.08000	326.15000
230.00	405.70000	304.24000	306.93000	305.93000	305.84000	305.82000	306.52000	306.52000	306.42000
240.00	385.19000	283.76000	286.63000	285.63000	285.54000	285.52000	286.22000	286.22000	286.12000
250.00	364.68000	263.28000	266.53000	265.53000	265.44000	265.42000	266.12000	266.12000	266.02000
260.00	344.17000	242.80000	246.23000	245.23000	245.14000	245.12000	245.82000	245.82000	245.72000
270.00	323.66000	222.32000	226.66000	225.66000	225.57000	225.55000	226.25000	226.25000	226.15000
280.00	303.15000	201.84000	206.00000	205.00000	204.91000	204.89000	205.59000	205.59000	205.49000
290.00	282.64000	181.36000	185.16000	184.16000	184.07000	184.05000	184.75000	184.75000	184.65000
300.00	262.13000	160.88000	164.73000	163.73000	163.64000	163.62000	164.32000	164.32000	164.22000
310.00	241.62000	140.40000	144.25000	143.25000	143.16000	143.14000	143.84000	143.84000	143.74000
320.00	221.11000	119.92000	123.77000	122.77000	122.68000	122.66000	123.36000	123.36000	123.26000
330.00	200.60000	99.44000	103.29000	102.29000	102.20000	102.18000	102.88000	102.88000	102.78000
340.00	179.99000	78.96000	82.81000	81.81000	81.72000	81.70000	82.40000	82.40000	82.30000
350.00	159.48000	58.48000	62.33000	61.33000	61.24000	61.22000	61.92000	61.92000	61.82000
360.00	138.97000	38.00000	41.85000	40.85000	40.76000	40.74000	41.44000	41.44000	41.34000
370.00	118.46000	17.52000	21.37000	20.37000	20.28000	20.26000	20.96000	20.96000	20.86000
380.00	97.95000	-2.00000	14.21000	13.21000	13.12000	13.10000	13.80000	13.80000	13.70000
390.00	77.44000	-12.50000	10.06000	9.06000	8.97000	8.95000	9.65000	9.65000	9.55000
400.00	56.93000	-23.00000	6.91000	5.91000	5.82000	5.80000	6.50000	6.50000	6.40000
410.00	36.42000	-42.50000	3.76000	2.76000	2.67000	2.65000	3.35000	3.35000	3.25000
420.00	15.91000	-62.00000	-0.81000	-1.81000	-2.71000	-3.61000	-4.30000	-5.00000	-5.69000
430.00	-29.59000	-81.50000	-4.36000	-5.36000	-6.26000	-7.16000	-7.85000	-8.54000	-9.23000
440.00	-50.08000	-101.00000	-8.81000	-9.81000	-10.71000	-11.61000	-12.50000	-13.39000	-14.28000
450.00	-69.57000	-120.50000	-13.26000	-14.26000	-15.16000	-16.06000	-16.95000	-17.84000	-18.73000
460.00	-89.06000	-139.99999	-17.71000	-18.71000	-19.61000	-20.51000	-21.40000	-22.29000	-23.18000
470.00	-108.55000	-159.49999	-22.16000	-23.16000	-24.06000	-24.96000	-25.85000	-26.74000	-27.63000
480.00	-128.04000	-178.99999	-26.61000	-27.61000	-28.51000	-29.41000	-30.30000	-31.19000	-32.08000
490.00	-147.53000	-198.49999	-31.06000	-32.06000	-32.96000	-33.86000	-34.75000	-35.64000	-36.53000
500.00	-167.02000	-217.99999	-35.51000	-36.51000	-37.41000	-38.31000	-39.20000	-40.09000	-40.98000
510.00	-186.51000	-237.49999	-40.96000	-41.96000	-42.86000	-43.76000	-44.65000	-45.54000	-46.43000
520.00	-205.99000	-256.99999	-45.41000	-46.41000	-47.31000	-48.21000	-49.10000	-49.99000	-50.88000
530.00	-225.48000	-276.49999	-50.86000	-51.86000	-52.76000	-53.66000	-54.55000	-55.44000	-56.33000
540.00	-244.97000	-295.99999	-55.31000	-56.31000	-57.21000	-58.11000	-59.00000	-59.89000	-60.78000
550.00	-264.46000	-315.49999	-59.76000	-60.76000	-61.66000	-62.56000	-63.45000	-64.34000	-65.23000
560.00	-283.95000	-334.99999	-64.21000	-65.21000	-66.11000	-67.01000	-67.90000	-68.79000	-69.68000
570.00	-303.44000	-354.49999	-68.66000	-69.66000	-70.56000	-71.46000	-72.35000	-73.24000	-74.13000
580.00	-322.93000	-373.99999	-73.11000	-74.11000	-75.01000	-75.91000	-76.80000	-77.69000	-78.58000
590.00	-342.42000	-393.49999	-77.56000	-78.56000	-79.46000	-80.36000	-81.25000	-82.14000	-83.03000
600.00	-361.91000	-412.99999	-82.01000	-83.01000	-83.91000	-84.81000	-85.70000	-86.59000	-87.48000
610.00	-381.40000	-432.49999	-86.46000	-87.46000	-88.36000	-89.26000	-90.15000	-91.04000	-91.93000
620.00	-399.89000	-451.99999	-90.91000	-91.91000	-92.81000	-93.71000	-94.60000	-95.49000	-96.38000
630.00	-419.38000	-471.49999	-95.36000	-96.36000	-97.26000	-98.16000	-99.05000	-100.04000	-100.93000
640.00	-438.87000	-490.99999	-99.81000	-100.81000	-101.71000	-102.61000	-103.50000	-104.49000	-105.38000
650.00	-458.36000	-510.49999	-104.26000	-105.26000	-106.16000	-107.06000	-107.95000	-108.84000	-109.73000
660.00	-477.85000	-529.99999	-108.71000	-109.71000	-110.61000	-111.51000	-112.40000	-113.39000	-114.28000
670.00	-497.34000	-549.49999	-113.16000	-114.16000	-115.06000	-115.96000	-116.85000	-117.74000	-118.63000
680.00	-516.83000	-568.99999	-117.61000	-118.61000	-119.51000	-120.41000	-121.30000	-122.19000	-123.08000
690.00	-536.32000	-588.49999	-122.06000	-123.06000	-123.96000	-124.86000	-125.75000	-126.64000	-127.53000
700.00	-555.81000	-607.99999	-126.51000	-127.51000	-128.41000	-129.31000	-130.20000	-131.09000	-131.98000
710.00	-575.30000	-627.49999	-130.96000	-131.96000	-132.86000	-133.76000	-134.65000	-135.54000	-136.43000
720.00	-594.79000	-646.99999	-135.41000	-136.41000	-137.31000	-138.21000	-139.10000	-140.09000	-140.98000
730.00	-614.28000	-666.49999	-139.86000	-140.86000	-141.76000	-142.66000	-143.55000	-144.44000	-145.33000
740.00	-633.77000	-685.99999	-144.31000	-145.31000	-146.21000	-147.11000	-148.00000	-148.89000	-149.78000
750.00	-653.26000	-705.49999	-148.76000	-149.76000	-150.66000	-151.56000	-152.45000	-153.34000	-154.23000
760.00	-672.75000	-724.99999	-153.21000	-154.21000	-155.11000	-156.01000	-156.90000	-157.79000	-158.68000
770.00	-692.24000	-744.49999	-157.66000	-158.66000	-159.56000	-160.46000	-161.35000	-162.24000	-163.13000
780.00	-711.73000	-763.99999	-162.11000	-163.11000	-164.01000	-164.91000	-165.80000	-166.69000	-167.58000
790.00	-731.22000	-783.49999	-166.56000	-167.56000	-168.46000	-169.36000	-170.25000	-171.14000	-172.03000
800.00	-750.71000	-802.99999	-171.01000	-172.01000	-172.91000	-173.81000	-174.70000	-175.59000	-176.48000
810.00	-769.20000	-822.49999	-175.46000	-176.46000	-177.36000	-178.26000	-179.15000	-180.04000	-180.93000
820.00	-788.69000	-841.99999	-179.91000	-180.91000	-181.81000	-182.71000	-183.60000	-184.49000	-185.38000
830.00	-808.18000	-861.49999	-184.36000	-185.36000	-186.26000	-187.16000	-188.05000	-188.94000	-189.83000
840.00	-827.67000	-880.99999	-188.81000	-189.81000	-190.71000	-191.61000	-192.50000	-193.39000	-194.28000
850.00	-847.16000	-900.49999	-193.26000	-194.26000	-195.16000	-196.06000	-196.95000	-197.84000	-198.73000
860.00	-866.65000	-919.99999	-197.71000	-198.71000	-199.61000	-200.51000	-201.40000	-202.29000	-203.18000
870.00	-886.14000	-939.49999	-202.16000	-203.16000	-204.06000	-204.96000	-205.85000	-206.74000	-207.63000
880.00	-905.63000	-958.99999	-206.61000	-207.61000	-208.51000	-209.41000	-210.30000	-211.19000	-212.08000
890.00	-925.12000	-978.49999	-211.06000	-212.06000	-212.96000	-213.86000	-214.75000	-215.64000	-216.53000
900.00	-944.61000	-997.99999	-215.51000	-216.51000	-217.41000	-218.31000	-219.20000	-220.09000	-220.98000
910.00	-964.10000	-1017.49999	-219.96000	-220.96000	-221.86000	-222.76000	-223.65000	-224.54000	-225.43000
920.00	-983.59000	-1036.99999	-224.41000	-225.41000	-226.31000	-227.21000	-228.10000	-228.99000	-229.88000
930.00	-1003.08000	-1056.49999	-228.86000	-229.86000	-230.76000	-231.66000	-232.55000	-233.44000	-234.33000
940.00	-1022.57000	-1075.99999	-233.31000	-234.31000	-235.21000	-236.11000	-237.00000	-237.89000	-238.78000
950.00	-1042.06000	-1095.49999	-237.76000	-238.76000	-239.66000	-240.56000	-241.45000	-242.34000	-243.23000
960.00	-1061.55000	-1114.99999	-242.21000	-243.21000	-244.11000	-245.01000	-245.90000	-246.79000	-247.68000
970.00	-1081.04000	-1134.49999	-246.66000	-247.66000	-248.56000	-249.46000	-250.35000	-251.24000	-252.13000
980.00	-1100.53000	-1153.99999	-251.11000	-252.11000	-253.01000	-253.91000	-254.80000	-255.69000	-256.58000
990.00	-1119.99000	-1173.49999	-255.56000	-256.56000	-257.46000	-258.36000	-259.25000	-260.14000	-261.03000
1000.00	-1139.48000	-1192.99999	-259.01000	-260.01000	-260.91000	-261.81000	-262.70000	-263.59000	-264.48000
1010.00	-1158.97000	-1212.49999	-263.46000	-264.46000	-265.36000	-266.26000	-267.15000	-268.04000	-268.93000
1020.00	-1178.46000	-1231.99999	-267.91000	-268.91000	-269.81000	-270.71000	-271.60000	-272.49000	-273.38000
1030.00	-1197.95000	-1251.49999	-272.36000	-273.36000	-274.26000	-275.16000	-276.05000	-276.94000	-277.83000
1040.00	-1217.44000	-1270.99999	-276.81000	-277.81000	-278.71000	-279.61000	-280.50000	-281.39000	-282.28000
1050.00	-1236.93000	-1290.49999	-281.26000	-282.26000	-283.16000	-284.06000	-284.95000	-	

VOLUME 22, 1999 \$14.95

卷之八

Y-CW-GUL-2023

Tabla 22 VOLUMEN DE LIQUIDO SATURADO : METANO

### VOLUMEN DEL LIQUIDO SATURADO

ESTA TABLA PROPORCIONA LOS VOLUMENES EN LITROS DE n-PENTANO SATURADO A DIVERSAS TEMPERATURAS.

TEMP °C	V EXP	V CALCULADO						
		L/VOL	000	1	2	3	4	5
21.12	1.11420	1.11420	0.12122	0.12112	0.12117	0.12126	0.12126	0.12115
22.12	1.11427	1.11427	0.12126	0.12112	0.12117	0.12122	0.12126	0.12115
23.12	1.11434	1.11434	0.12125	0.12114	0.12119	0.12124	0.12128	0.12114
24.12	1.11441	1.11441	0.12124	0.12113	0.12118	0.12123	0.12127	0.12113
25.12	1.11448	1.11448	0.12123	0.12112	0.12117	0.12122	0.12126	0.12112
26.12	1.11455	1.11455	0.12122	0.12111	0.12116	0.12121	0.12125	0.12111
27.12	1.11462	1.11462	0.12121	0.12110	0.12115	0.12120	0.12124	0.12110
28.12	1.11469	1.11469	0.12120	0.12109	0.12114	0.12119	0.12123	0.12109
29.12	1.11476	1.11476	0.12119	0.12108	0.12113	0.12118	0.12122	0.12108
30.12	1.11483	1.11483	0.12118	0.12107	0.12112	0.12117	0.12121	0.12107
31.12	1.11490	1.11490	0.12117	0.12106	0.12111	0.12116	0.12120	0.12106
32.12	1.11497	1.11497	0.12116	0.12105	0.12109	0.12115	0.12119	0.12105
33.12	1.11504	1.11504	0.12115	0.12104	0.12108	0.12114	0.12118	0.12104
34.12	1.11511	1.11511	0.12114	0.12103	0.12107	0.12113	0.12117	0.12103
35.12	1.11518	1.11518	0.12113	0.12102	0.12106	0.12112	0.12116	0.12102
36.12	1.11525	1.11525	0.12112	0.12101	0.12105	0.12111	0.12115	0.12101
37.12	1.11532	1.11532	0.12111	0.12100	0.12104	0.12110	0.12114	0.12100
38.12	1.11539	1.11539	0.12110	0.12099	0.12103	0.12109	0.12113	0.12099
39.12	1.11546	1.11546	0.12109	0.12098	0.12102	0.12108	0.12112	0.12098
40.12	1.11553	1.11553	0.12108	0.12097	0.12101	0.12107	0.12111	0.12097
41.12	1.11560	1.11560	0.12107	0.12096	0.12100	0.12106	0.12110	0.12096
42.12	1.11567	1.11567	0.12106	0.12095	0.12098	0.12105	0.12109	0.12095
43.12	1.11574	1.11574	0.12105	0.12094	0.12097	0.12104	0.12108	0.12094
44.12	1.11581	1.11581	0.12104	0.12093	0.12096	0.12103	0.12107	0.12093
45.12	1.11588	1.11588	0.12103	0.12092	0.12095	0.12102	0.12106	0.12092
46.12	1.11595	1.11595	0.12102	0.12091	0.12094	0.12101	0.12105	0.12091
47.12	1.11602	1.11602	0.12101	0.12090	0.12093	0.12100	0.12104	0.12090
48.12	1.11609	1.11609	0.12100	0.12089	0.12092	0.12099	0.12103	0.12089
49.12	1.11616	1.11616	0.12100	0.12088	0.12091	0.12099	0.12102	0.12088
50.12	1.11623	1.11623	0.12100	0.12087	0.12090	0.12099	0.12101	0.12087
51.12	1.11630	1.11630	0.12100	0.12086	0.12089	0.12099	0.12100	0.12086
52.12	1.11637	1.11637	0.12100	0.12085	0.12088	0.12099	0.12100	0.12085
53.12	1.11644	1.11644	0.12100	0.12084	0.12087	0.12099	0.12100	0.12084
54.12	1.11651	1.11651	0.12100	0.12083	0.12086	0.12099	0.12100	0.12083
55.12	1.11658	1.11658	0.12100	0.12082	0.12085	0.12099	0.12100	0.12082
56.12	1.11665	1.11665	0.12100	0.12081	0.12084	0.12099	0.12100	0.12081
57.12	1.11672	1.11672	0.12100	0.12080	0.12083	0.12099	0.12100	0.12080
58.12	1.11679	1.11679	0.12100	0.12079	0.12082	0.12099	0.12100	0.12079
59.12	1.11686	1.11686	0.12100	0.12078	0.12081	0.12099	0.12100	0.12078
60.12	1.11693	1.11693	0.12100	0.12077	0.12080	0.12099	0.12100	0.12077
61.12	1.11700	1.11700	0.12100	0.12076	0.12079	0.12099	0.12100	0.12076
62.12	1.11707	1.11707	0.12100	0.12075	0.12078	0.12099	0.12100	0.12075
63.12	1.11714	1.11714	0.12100	0.12074	0.12077	0.12099	0.12100	0.12074
64.12	1.11721	1.11721	0.12100	0.12073	0.12076	0.12099	0.12100	0.12073
65.12	1.11728	1.11728	0.12100	0.12072	0.12075	0.12099	0.12100	0.12072
66.12	1.11735	1.11735	0.12100	0.12071	0.12074	0.12099	0.12100	0.12071
67.12	1.11742	1.11742	0.12100	0.12070	0.12073	0.12099	0.12100	0.12070
68.12	1.11749	1.11749	0.12100	0.12069	0.12072	0.12099	0.12100	0.12069
69.12	1.11756	1.11756	0.12100	0.12068	0.12071	0.12099	0.12100	0.12068
70.12	1.11763	1.11763	0.12100	0.12067	0.12070	0.12099	0.12100	0.12067
71.12	1.11770	1.11770	0.12100	0.12066	0.12069	0.12099	0.12100	0.12066
72.12	1.11777	1.11777	0.12100	0.12065	0.12068	0.12099	0.12100	0.12065
73.12	1.11784	1.11784	0.12100	0.12064	0.12067	0.12099	0.12100	0.12064
74.12	1.11791	1.11791	0.12100	0.12063	0.12066	0.12099	0.12100	0.12063
75.12	1.11798	1.11798	0.12100	0.12062	0.12065	0.12099	0.12100	0.12062
76.12	1.11805	1.11805	0.12100	0.12061	0.12064	0.12099	0.12100	0.12061
77.12	1.11812	1.11812	0.12100	0.12060	0.12063	0.12099	0.12100	0.12060
78.12	1.11819	1.11819	0.12100	0.12059	0.12062	0.12099	0.12100	0.12059
79.12	1.11826	1.11826	0.12100	0.12058	0.12061	0.12099	0.12100	0.12058
80.12	1.11833	1.11833	0.12100	0.12057	0.12060	0.12099	0.12100	0.12057
81.12	1.11840	1.11840	0.12100	0.12056	0.12059	0.12099	0.12100	0.12056
82.12	1.11847	1.11847	0.12100	0.12055	0.12058	0.12099	0.12100	0.12055
83.12	1.11854	1.11854	0.12100	0.12054	0.12057	0.12099	0.12100	0.12054
84.12	1.11861	1.11861	0.12100	0.12053	0.12056	0.12099	0.12100	0.12053
85.12	1.11868	1.11868	0.12100	0.12052	0.12055	0.12099	0.12100	0.12052
86.12	1.11875	1.11875	0.12100	0.12051	0.12054	0.12099	0.12100	0.12051
87.12	1.11882	1.11882	0.12100	0.12050	0.12053	0.12099	0.12100	0.12050
88.12	1.11889	1.11889	0.12100	0.12049	0.12052	0.12099	0.12100	0.12049
89.12	1.11896	1.11896	0.12100	0.12048	0.12051	0.12099	0.12100	0.12048
90.12	1.11903	1.11903	0.12100	0.12047	0.12050	0.12099	0.12100	0.12047
91.12	1.11910	1.11910	0.12100	0.12046	0.12049	0.12099	0.12100	0.12046
92.12	1.11917	1.11917	0.12100	0.12045	0.12048	0.12099	0.12100	0.12045
93.12	1.11924	1.11924	0.12100	0.12044	0.12047	0.12099	0.12100	0.12044
94.12	1.11931	1.11931	0.12100	0.12043	0.12046	0.12099	0.12100	0.12043
95.12	1.11938	1.11938	0.12100	0.12042	0.12045	0.12099	0.12100	0.12042
96.12	1.11945	1.11945	0.12100	0.12041	0.12044	0.12099	0.12100	0.12041
97.12	1.11952	1.11952	0.12100	0.12040	0.12043	0.12099	0.12100	0.12040
98.12	1.11959	1.11959	0.12100	0.12039	0.12042	0.12099	0.12100	0.12039
99.12	1.11966	1.11966	0.12100	0.12038	0.12041	0.12099	0.12100	0.12038
100.12	1.11973	1.11973	0.12100	0.12037	0.12040	0.12099	0.12100	0.12037
101.12	1.11980	1.11980	0.12100	0.12036	0.12039	0.12099	0.12100	0.12036
102.12	1.11987	1.11987	0.12100	0.12035	0.12038	0.12099	0.12100	0.12035
103.12	1.11994	1.11994	0.12100	0.12034	0.12037	0.12099	0.12100	0.12034
104.12	1.12001	1.12001	0.12100	0.12033	0.12036	0.12099	0.12100	0.12033
105.12	1.12008	1.12008	0.12100	0.12032	0.12035	0.12099	0.12100	0.12032
106.12	1.12015	1.12015	0.12100	0.12031	0.12034	0.12099	0.12100	0.12031
107.12	1.12022	1.12022	0.12100	0.12030	0.12033	0.12099	0.12100	0.12030
108.12	1.12029	1.12029	0.12100	0.12029	0.12032	0.12099	0.12100	0.12029
109.12	1.12036	1.12036	0.12100	0.12028	0.12031	0.12099	0.12100	0.12028
110.12	1.12043	1.12043	0.12100	0.12027	0.12030	0.12099	0.12100	0.12027
111.12	1.12050	1.12050	0.12100	0.12026	0.12029	0.12099	0.12100	0.12026
112.12	1.12057	1.12057	0.12100	0.12025	0.12028	0.12099	0.12100	0.12025
113.12	1.12064	1.12064	0.12100	0.12024	0.12027	0.12099	0.12100	0.12024
114.12	1.12071	1.12071	0.12100	0.12023	0.12026	0.12099	0.12100	0.12023
115.12	1.12078	1.12078	0.12100	0.12022	0.12025	0.12099	0.12100	0.12022
116.12	1.12085	1.12085	0.12100	0.12021	0.12024	0.12099	0.12100	0.12021
117.12	1.12092	1.12092	0.12100	0.12020	0.12023	0.12099	0.12100	0.12020
118.12	1.12099	1.12099	0.12100	0.12019	0.12022	0.12099	0.12100	0.12019
119.12	1.12106	1.12106	0.12100	0.12018	0.12021	0.12099	0.12100	0.12018
120.12	1.12113	1.12113	0.12100	0.12017	0.12020	0.12099	0.12100	0.12017
121.12	1.12120	1.12120	0.12100	0.12016	0.12019	0.12099	0.12100	0.12016
122.12	1.12127	1.12127	0.12100	0.12015	0.12018	0.12099	0.12100	0.12015
123.12	1.12134	1.12134	0.12100	0.12014	0.12017	0.12099	0.12100	0.12014
124.12	1.12141	1.12141	0.12100	0.12013	0.12016	0.12099	0.12100	0.12013
125.12	1.12148	1.12148	0.12100	0.12012	0.12015	0.12099	0.12100	0.12012
126.12	1.12155	1.12155	0.12100	0.12011	0.12014	0.12099	0.12100	0.12011
127.12	1.12162	1.12162	0.12100	0.12010	0.12013	0.12099		

VOLUMEN DEL LIQUIDO SATURADO

TEMP °C	V EXP CCM	V CALCULADO						
		1	2	3	4	5	6	7
-112.62	127.6	114.77	104.77	114.40	114.76	104.47	114.43	14.22
-112.63	127.6	114.78	104.78	114.41	114.77	104.48	114.44	14.23
-112.64	127.6	114.79	104.79	114.42	114.78	104.49	114.45	14.24
-112.66	127.6	114.80	104.80	114.43	114.79	104.50	114.46	14.25
-112.68	127.6	114.81	104.81	114.44	114.80	104.51	114.47	14.26
-112.71	127.6	114.82	104.82	114.45	114.81	104.52	114.48	14.27
-112.74	127.6	114.83	104.83	114.46	114.82	104.53	114.49	14.28
-112.77	127.6	114.84	104.84	114.47	114.83	104.54	114.50	14.29
-112.81	127.6	114.85	104.85	114.48	114.84	104.55	114.51	14.30
-112.85	127.6	114.86	104.86	114.49	114.85	104.56	114.52	14.31
-112.89	127.6	114.87	104.87	114.50	114.86	104.57	114.53	14.32
-112.93	127.6	114.88	104.88	114.51	114.87	104.58	114.54	14.33
-112.97	127.6	114.89	104.89	114.52	114.88	104.59	114.55	14.34
-113.01	127.6	114.90	104.90	114.53	114.89	104.60	114.56	14.35
-113.05	127.6	114.91	104.91	114.54	114.90	104.61	114.57	14.36
-113.09	127.6	114.92	104.92	114.55	114.91	104.62	114.58	14.37
-113.13	127.6	114.93	104.93	114.56	114.92	104.63	114.59	14.38
-113.17	127.6	114.94	104.94	114.57	114.93	104.64	114.60	14.39
-113.21	127.6	114.95	104.95	114.58	114.94	104.65	114.61	14.40
-113.25	127.6	114.96	104.96	114.59	114.95	104.66	114.62	14.41
-113.29	127.6	114.97	104.97	114.60	114.96	104.67	114.63	14.42
-113.33	127.6	114.98	104.98	114.61	114.97	104.68	114.64	14.43
-113.37	127.6	114.99	104.99	114.62	114.98	104.69	114.65	14.44
-113.41	127.6	115.00	105.00	114.63	114.99	104.70	114.66	14.45
-113.45	127.6	115.01	105.01	114.64	115.00	104.71	114.67	14.46
-113.49	127.6	115.02	105.02	114.65	115.01	104.72	114.68	14.47
-113.53	127.6	115.03	105.03	114.66	115.02	104.73	114.69	14.48
-113.57	127.6	115.04	105.04	114.67	115.03	104.74	114.70	14.49
-113.61	127.6	115.05	105.05	114.68	115.04	104.75	114.71	14.50
-113.65	127.6	115.06	105.06	114.69	115.05	104.76	114.72	14.51
-113.69	127.6	115.07	105.07	114.70	115.06	104.77	114.73	14.52
-113.73	127.6	115.08	105.08	114.71	115.07	104.78	114.74	14.53
-113.77	127.6	115.09	105.09	114.72	115.08	104.79	114.75	14.54
-113.81	127.6	115.10	105.10	114.73	115.09	104.80	114.76	14.55
-113.85	127.6	115.11	105.11	114.74	115.10	104.81	114.77	14.56
-113.89	127.6	115.12	105.12	114.75	115.11	104.82	114.78	14.57
-113.93	127.6	115.13	105.13	114.76	115.12	104.83	114.79	14.58
-113.97	127.6	115.14	105.14	114.77	115.13	104.84	114.80	14.59
-114.01	127.6	115.15	105.15	114.78	115.14	104.85	114.81	14.60
-114.05	127.6	115.16	105.16	114.79	115.15	104.86	114.82	14.61
-114.09	127.6	115.17	105.17	114.80	115.16	104.87	114.83	14.62
-114.13	127.6	115.18	105.18	114.81	115.17	104.88	114.84	14.63
-114.17	127.6	115.19	105.19	114.82	115.18	104.89	114.85	14.64
-114.21	127.6	115.20	105.20	114.83	115.19	104.90	114.86	14.65
-114.25	127.6	115.21	105.21	114.84	115.20	104.91	114.87	14.66
-114.29	127.6	115.22	105.22	114.85	115.21	104.92	114.88	14.67
-114.33	127.6	115.23	105.23	114.86	115.22	104.93	114.89	14.68
-114.37	127.6	115.24	105.24	114.87	115.23	104.94	114.90	14.69
-114.41	127.6	115.25	105.25	114.88	115.24	104.95	114.91	14.70
-114.45	127.6	115.26	105.26	114.89	115.25	104.96	114.92	14.71
-114.49	127.6	115.27	105.27	114.90	115.26	104.97	114.93	14.72
-114.53	127.6	115.28	105.28	114.91	115.27	104.98	114.94	14.73
-114.57	127.6	115.29	105.29	114.92	115.28	104.99	114.95	14.74
-114.61	127.6	115.30	105.30	114.93	115.29	105.00	114.96	14.75
-114.65	127.6	115.31	105.31	114.94	115.30	105.01	114.97	14.76
-114.69	127.6	115.32	105.32	114.95	115.31	105.02	114.98	14.77
-114.73	127.6	115.33	105.33	114.96	115.32	105.03	114.99	14.78
-114.77	127.6	115.34	105.34	114.97	115.33	105.04	115.00	14.79
-114.81	127.6	115.35	105.35	114.98	115.34	105.05	115.01	14.80
-114.85	127.6	115.36	105.36	114.99	115.35	105.06	115.02	14.81
-114.89	127.6	115.37	105.37	115.00	115.36	105.07	115.03	14.82
-114.93	127.6	115.38	105.38	115.01	115.37	105.08	115.04	14.83
-114.97	127.6	115.39	105.39	115.02	115.38	105.09	115.05	14.84
-115.01	127.6	115.40	105.40	115.03	115.39	105.10	115.06	14.85
-115.05	127.6	115.41	105.41	115.04	115.40	105.11	115.07	14.86
-115.09	127.6	115.42	105.42	115.05	115.41	105.12	115.08	14.87
-115.13	127.6	115.43	105.43	115.06	115.42	105.13	115.09	14.88
-115.17	127.6	115.44	105.44	115.07	115.43	105.14	115.10	14.89
-115.21	127.6	115.45	105.45	115.08	115.44	105.15	115.11	14.90
-115.25	127.6	115.46	105.46	115.09	115.45	105.16	115.12	14.91
-115.29	127.6	115.47	105.47	115.10	115.46	105.17	115.13	14.92
-115.33	127.6	115.48	105.48	115.11	115.47	105.18	115.14	14.93
-115.37	127.6	115.49	105.49	115.12	115.48	105.19	115.15	14.94
-115.41	127.6	115.50	105.50	115.13	115.49	105.20	115.16	14.95
-115.45	127.6	115.51	105.51	115.14	115.50	105.21	115.17	14.96
-115.49	127.6	115.52	105.52	115.15	115.51	105.22	115.18	14.97
-115.53	127.6	115.53	105.53	115.16	115.52	105.23	115.19	14.98
-115.57	127.6	115.54	105.54	115.17	115.53	105.24	115.20	14.99
-115.61	127.6	115.55	105.55	115.18	115.54	105.25	115.21	15.00

Tabla 23 VOLUMEN DE LIQUIDO SATURADO : ISOPENTANO

Tabla 24 VOLUMEN DE LIQUIDO SATURADO : n-HEXANO

	CUR	1	2	3	4	5	6	7
metano	.0064	5.0	6.5	5.0	5.6	6.10	5.75	6.14
n-pentano	3.06	2.58	11.07	2.51	2.52	11.04	3.0	2.502
isopentano	2.64	2.65	7.14	2.60	2.64	7.33	2.56	3.15
n-hexano	6.03	4.58	15.07	4.31	4.6	15.06	4.32	3.93

Para datos de volumen de vapor saturado.

	CUR	1	2	3	4	5	6	7
metano	.1314	2.86	4.6	1.62	2.13	4.6	4.86	3.42
n-pentano	.0706	4.52	9.0	4.64	4.53	8.9	4.65	4.55
isopentano	.0514	8.4	7.9	9.1	8.4	7.9	8.1	8.4

Para datos de volumen de líquido saturado

Tabla 25 % DE DESVIACION CON RESPECTO A DATOS EXPERIMENTALES

## ISOTERMA DE TIJUCA GRADOS KELVIN PARA RETIRO

TABLA 26

VOLVILY

PRESTACIONES

	P EXP	CUP	1	2	3	4	5	6	7	
27.400	27.400	17.7751	-2.4783	-20.713	-1.2109	-0.5072	-20.729	-2.1559	-1.4155	
27.500	27.500	2.4133	-3.4629	-13.567	0.3769	-0.2541	-1.534	-2.5336E-01	-1.2475	
27.600	27.600	3.4722	-1.7331	-16.461	6.9235	-2.1151	-1.543	2.1209	-1.373	
27.700	27.700	5.3674	1.24137	-14.279	6.9235	2.2755E-01	-1.5106	6.2767	-1.3127	
27.800	27.800	7.4561	1.05324	-12.140	7.1129	-1.7026	-12.172	6.4641	-1.3577	
27.900	27.900	12.3326	13.335	6.7222	-10.0103	6.4724	4.3225	-1.1039	3.5249	-1.1778
28.000	28.000	17.427	18.421	2.461	-7.3276	11.629	6.4724	-7.3175	1.3122	-2.1144
28.100	28.100	17.427	18.421	1.1377	-4.7213	13.722	6.5745	-5.7755	13.070	-1.1111E-01
28.200	28.200	17.427	18.421	11.310	-1.5945	13.234	10.171	-5.6413	1.473	-2.0000
28.300	28.300	21.073	19.312	13.269	-1.5541	18.234	13.073	-1.2142	17.544	-2.0225
28.400	28.400	23.463	26.167	15.772	0.69116	29.335	15.367	0.84327	19.830	-0.3777
28.500	28.500	67.670	26.167	13.441	-2.3620	29.671	12.591	2.7720	52.163	-0.5653
28.600	28.600	51.725	27.042	20.361	5.0436	29.245	19.805	4.9664	54.345	-1.0753
28.700	28.700	53.402	27.042	22.372	5.1743	27.502	22.214	7.1104	52.945	-1.0753
28.800	28.800	58.472	32.107	25.042	9.3557	30.127	24.373	9.3001	29.401	15.223
X VL OFSIVACION		21.091	224.59	634.78	63.763	2331.5	652.92	814.59	10217.	

ISOTERMA DE 140.000 GRADOS KELVIEN PARA VETANO TABLA 27

VOLVIM.

PRESIONES

P EXP	COK	CORRELACIONES							7
		1	4	3	4	5	5	7	
13.500	1.6147	-2.4344	-7.5274	-7.75521	-2.6212	-7.1254	-1.52515	5.2750	
13.750	2.5142	-2.4347	-7.5274	0.19297	-7.14972	-6.53027	0.52510	5.2750	
14.000	3.4137	-2.4242	-7.5274	-6.02428	-7.17423	-6.53027	0.73400	5.2750	
14.250	4.3132	-2.4137	-7.5274	-6.02428	-7.22317	-6.42320	0.73400	5.2750	
14.500	5.2127	-2.4032	-7.5274	-6.02428	-7.22317	-6.42320	0.73400	5.2750	
14.750	6.1122	-2.3927	-7.5274	-6.02428	-7.22317	-6.42320	0.73400	5.2750	
15.000	7.0117	-2.3822	-7.5274	-6.02428	-7.22317	-6.42320	0.73400	5.2750	
15.250	7.9112	-2.3717	-7.5274	-6.02428	-7.22317	-6.42320	0.73400	5.2750	
15.500	8.8107	-2.3612	-7.5274	-6.02428	-7.22317	-6.42320	0.73400	5.2750	
15.750	9.7102	-2.3507	-7.5274	-6.02428	-7.22317	-6.42320	0.73400	5.2750	
16.000	10.6097	-2.3402	-7.5274	-6.02428	-7.22317	-6.42320	0.73400	5.2750	
16.250	11.5092	-2.3297	-7.5274	-6.02428	-7.22317	-6.42320	0.73400	5.2750	
16.500	12.4087	-2.3192	-7.5274	-6.02428	-7.22317	-6.42320	0.73400	5.2750	
16.750	13.3082	-2.3087	-7.5274	-6.02428	-7.22317	-6.42320	0.73400	5.2750	
17.000	14.2077	-2.2982	-7.5274	-6.02428	-7.22317	-6.42320	0.73400	5.2750	
17.250	15.1072	-2.2877	-7.5274	-6.02428	-7.22317	-6.42320	0.73400	5.2750	
17.500	16.0067	-2.2772	-7.5274	-6.02428	-7.22317	-6.42320	0.73400	5.2750	
17.750	16.9062	-2.2667	-7.5274	-6.02428	-7.22317	-6.42320	0.73400	5.2750	
18.000	17.8057	-2.2562	-7.5274	-6.02428	-7.22317	-6.42320	0.73400	5.2750	
18.250	18.7052	-2.2457	-7.5274	-6.02428	-7.22317	-6.42320	0.73400	5.2750	
18.500	19.6047	-2.2352	-7.5274	-6.02428	-7.22317	-6.42320	0.73400	5.2750	
18.750	20.5042	-2.2247	-7.5274	-6.02428	-7.22317	-6.42320	0.73400	5.2750	
19.000	21.4037	-2.2142	-7.5274	-6.02428	-7.22317	-6.42320	0.73400	5.2750	
19.250	22.3032	-2.2037	-7.5274	-6.02428	-7.22317	-6.42320	0.73400	5.2750	
19.500	23.2027	-2.1932	-7.5274	-6.02428	-7.22317	-6.42320	0.73400	5.2750	
19.750	24.1022	-2.1827	-7.5274	-6.02428	-7.22317	-6.42320	0.73400	5.2750	
20.000	25.0017	-2.1722	-7.5274	-6.02428	-7.22317	-6.42320	0.73400	5.2750	
20.250	25.9012	-2.1617	-7.5274	-6.02428	-7.22317	-6.42320	0.73400	5.2750	
20.500	26.8007	-2.1512	-7.5274	-6.02428	-7.22317	-6.42320	0.73400	5.2750	
20.750	27.7002	-2.1407	-7.5274	-6.02428	-7.22317	-6.42320	0.73400	5.2750	
21.000	28.6007	-2.1302	-7.5274	-6.02428	-7.22317	-6.42320	0.73400	5.2750	
21.250	29.5002	-2.1197	-7.5274	-6.02428	-7.22317	-6.42320	0.73400	5.2750	
21.500	30.4007	-2.1092	-7.5274	-6.02428	-7.22317	-6.42320	0.73400	5.2750	
21.750	31.3002	-2.0987	-7.5274	-6.02428	-7.22317	-6.42320	0.73400	5.2750	
22.000	32.2007	-2.0882	-7.5274	-6.02428	-7.22317	-6.42320	0.73400	5.2750	
22.250	33.1002	-2.0777	-7.5274	-6.02428	-7.22317	-6.42320	0.73400	5.2750	
22.500	34.0007	-2.0672	-7.5274	-6.02428	-7.22317	-6.42320	0.73400	5.2750	
22.750	34.9002	-2.0567	-7.5274	-6.02428	-7.22317	-6.42320	0.73400	5.2750	
23.000	35.8007	-2.0462	-7.5274	-6.02428	-7.22317	-6.42320	0.73400	5.2750	
23.250	36.7002	-2.0357	-7.5274	-6.02428	-7.22317	-6.42320	0.73400	5.2750	
23.500	37.6007	-2.0252	-7.5274	-6.02428	-7.22317	-6.42320	0.73400	5.2750	
23.750	38.5002	-2.0147	-7.5274	-6.02428	-7.22317	-6.42320	0.73400	5.2750	
24.000	39.4007	-2.0042	-7.5274	-6.02428	-7.22317	-6.42320	0.73400	5.2750	
24.250	40.3002	-1.9937	-7.5274	-6.02428	-7.22317	-6.42320	0.73400	5.2750	
24.500	41.2007	-1.9832	-7.5274	-6.02428	-7.22317	-6.42320	0.73400	5.2750	
24.750	42.1002	-1.9727	-7.5274	-6.02428	-7.22317	-6.42320	0.73400	5.2750	
25.000	43.0007	-1.9622	-7.5274	-6.02428	-7.22317	-6.42320	0.73400	5.2750	
25.250	43.9002	-1.9517	-7.5274	-6.02428	-7.22317	-6.42320	0.73400	5.2750	
25.500	44.8007	-1.9412	-7.5274	-6.02428	-7.22317	-6.42320	0.73400	5.2750	
25.750	45.7002	-1.9307	-7.5274	-6.02428	-7.22317	-6.42320	0.73400	5.2750	
26.000	46.6007	-1.9202	-7.5274	-6.02428	-7.22317	-6.42320	0.73400	5.2750	
26.250	47.5002	-1.9097	-7.5274	-6.02428	-7.22317	-6.42320	0.73400	5.2750	
26.500	48.4007	-1.8992	-7.5274	-6.02428	-7.22317	-6.42320	0.73400	5.2750	
26.750	49.3002	-1.8887	-7.5274	-6.02428	-7.22317	-6.42320	0.73400	5.2750	
27.000	50.2007	-1.8782	-7.5274	-6.02428	-7.22317	-6.42320	0.73400	5.2750	
27.250	51.1002	-1.8677	-7.5274	-6.02428	-7.22317	-6.42320	0.73400	5.2750	
27.500	52.0007	-1.8572	-7.5274	-6.02428	-7.22317	-6.42320	0.73400	5.2750	
27.750	52.9002	-1.8467	-7.5274	-6.02428	-7.22317	-6.42320	0.73400	5.2750	
28.000	53.8007	-1.8362	-7.5274	-6.02428	-7.22317	-6.42320	0.73400	5.2750	
28.250	54.7002	-1.8257	-7.5274	-6.02428	-7.22317	-6.42320	0.73400	5.2750	
28.500	55.6007	-1.8152	-7.5274	-6.02428	-7.22317	-6.42320	0.73400	5.2750	
28.750	56.5002	-1.8047	-7.5274	-6.02428	-7.22317	-6.42320	0.73400	5.2750	
29.000	57.4007	-1.7942	-7.5274	-6.02428	-7.22317	-6.42320	0.73400	5.2750	
29.250	58.3002	-1.7837	-7.5274	-6.02428	-7.22317	-6.42320	0.73400	5.2750	
29.500	59.2007	-1.7732	-7.5274	-6.02428	-7.22317	-6.42320	0.73400	5.2750	
29.750	60.1002	-1.7627	-7.5274	-6.02428	-7.22317	-6.42320	0.73400	5.2750	
30.000	61.0007	-1.7522	-7.5274	-6.02428	-7.22317	-6.42320	0.73400	5.2750	

X DE DESVIACION 2.3451 92.370 269.96 53.136 112.79 270.66 129.24 275.96

## THERMOMETRÍA DE 190.00 BRAIDS KELVIN PARA METANO TABLA 28

VOLUMEN

PRESSIONES

	P EXP	COR	1	2	CORRELACIONES				
					3	4	5	6	7
1.000	6.7342	6.3116	6.3365	6.6583	4.7221	4.3572	4.4544	4.3303	4.3745
1.500	6.7343	6.2713	6.3326	6.6727	4.7241	4.3519	4.4719	4.3621	4.4023
1.6.000	6.7349	6.117	6.4286	6.5103	4.6593	4.4552	4.5052	4.4213	4.4923
1.7.000	6.7351	6.025	6.4664	6.5203	4.6701	4.4654	4.5251	4.4251	4.4951
1.8.000	6.7352	5.9633	6.5022	6.7191	4.7663	4.7237	4.7162	4.7327	4.8075
1.9.000	6.7357	5.8933	6.5279	6.7451	5.0121	4.9520	4.9311	4.9709	4.8876
1.10.000	6.7362	5.8333	6.5529	6.7659	5.0119	4.9255	4.9130	4.9160	4.8316
1.11.000	6.7367	5.7744	6.5771	6.7993	4.3949	6.2355	6.2153	6.2255	6.1316
1.12.000	6.7371	5.7247	6.6017	6.8294	7.299	6.6915	6.8055	6.7923	6.1725
1.13.000	6.7374	5.6551	6.6259	6.8510	8.0701	7.907	7.9055	7.9123	6.1729
1.14.000	6.7375	5.6051	6.6502	6.8750	8.250	8.0614	8.0263	8.0216	6.1221
1.15.000	6.7374	5.5551	6.6741	6.8951	10.591	10.263	10.2464	10.2470	6.1226
1.16.000	6.7371	5.5151	6.7079	6.9178	12.566	12.531	12.532	12.574	6.1229
1.17.000	6.7367	5.4751	6.7413	6.9516	14.516	14.497	14.496	14.513	6.1513
1.18.000	6.7362	5.4351	6.7756	6.9811	17.514	16.442	16.4360	16.419	6.1519
1.19.000	6.7357	5.3951	6.8102	7.0114	19.017	18.341	18.328	18.322	6.1519
1.20.000	6.7352	5.3551	6.8447	7.0437	20.493	19.937	19.923	19.912	6.1519
1.21.000	6.7347	5.3151	6.8792	7.0732	22.407	21.917	21.904	21.902	6.1519
1.22.000	6.7343	5.2751	6.9132	7.1055	24.555	24.153	24.141	24.132	6.1519
1.23.000	6.7339	5.2351	6.9472	7.1392	26.702	26.352	26.335	26.320	6.1519
1.24.000	6.7335	5.1951	6.9812	7.1732	28.850	28.504	28.484	28.477	6.1519
1.25.000	6.7331	5.1551	7.0152	7.2053	31.007	30.653	30.631	30.624	6.1519
1.26.000	6.7327	5.1151	7.0492	7.2394	33.155	32.802	32.782	32.775	6.1519
1.27.000	6.7323	5.0751	7.0832	7.2737	35.32	34.964	34.944	34.939	6.1519
1.28.000	6.7319	5.0351	7.1172	7.3080	37.489	37.140	37.120	37.113	6.1519
1.29.000	6.7315	4.9951	7.1512	7.3420	39.650	39.302	39.282	39.275	6.1519
1.30.000	6.7311	4.9551	7.1852	7.3759	41.811	41.464	41.444	41.437	6.1519
1.31.000	6.7307	4.9151	7.2192	7.4098	44.972	44.624	44.604	44.597	6.1519
1.32.000	6.7303	4.8751	7.2532	7.4437	47.133	46.784	46.764	46.757	6.1519
1.33.000	6.7300	4.8351	7.2872	7.4776	49.294	48.945	48.925	48.917	6.1519
1.34.000	6.7296	4.7951	7.3212	7.5115	51.455	51.106	51.086	51.077	6.1519

% DE DESVIACION 3.4703 14.952 21.368 7.5695 11.185 21.351 8.2618 14.916

INSTITUTO DE ESTADÍSTICA  
 PRECIOS ALIVIAZ Y Precio XETANO TABLA 29

VOLÚMEN

PRESIONES

					CUMULACIONES					
	R	EAF	COP	I	2	3	4	5	6	7
5.0000	7.0000	0.5000	0.7000	0.9642	0.92925	0.9058	0.8643	0.8014	0.7374	0.65155
5.0000	7.0000	1.0000	1.463	0.6657	0.6257	0.5603	0.5077	0.4257	0.3474	0.27592
5.0000	7.0000	2.0000	2.667	0.5217	0.4774	0.4116	0.3477	0.2723	0.2057	0.14230
5.0000	7.0000	3.0000	3.833	0.4032	0.3521	0.2950	0.2332	0.1742	0.1244	0.07424
5.0000	7.0000	4.0000	4.833	0.3032	0.2521	0.1950	0.1432	0.0923	0.0544	0.03274
5.0000	7.0000	5.0000	6.000	0.2217	0.1774	0.1200	0.0774	0.0413	0.0213	0.01134
5.0000	7.0000	6.0000	7.000	0.1517	0.1160	0.0693	0.0417	0.0209	0.0103	0.00527
5.0000	7.0000	7.0000	7.000	0.1071	0.0761	0.0459	0.0279	0.0133	0.0061	0.00274
5.0000	7.0000	8.0000	8.000	0.0735	0.0503	0.0309	0.0197	0.0087	0.0041	0.00197
5.0000	7.0000	9.0000	9.000	0.0483	0.0323	0.0193	0.0107	0.0047	0.0021	0.00107
5.0000	7.0000	10.0000	10.000	0.0319	0.0215	0.0116	0.0057	0.0024	0.0011	0.00057
5.0000	7.0000	11.0000	11.000	0.0215	0.0143	0.0074	0.0037	0.0016	0.0007	0.00037
5.0000	7.0000	12.0000	12.000	0.0143	0.0087	0.0045	0.0022	0.0009	0.0004	0.00022
5.0000	7.0000	13.0000	13.000	0.0087	0.0051	0.0029	0.0013	0.0005	0.0002	0.00011
5.0000	7.0000	14.0000	14.000	0.0051	0.0033	0.0019	0.0008	0.0003	0.0001	0.00005
5.0000	7.0000	15.0000	15.000	0.0033	0.0021	0.0012	0.0005	0.0002	0.0001	0.00003
5.0000	7.0000	16.0000	16.000	0.0021	0.0013	0.0006	0.0003	0.0001	0.00005	0.00002
5.0000	7.0000	17.0000	17.000	0.0013	0.0007	0.0003	0.0001	0.00005	0.00002	0.00001
5.0000	7.0000	18.0000	18.000	0.0007	0.0004	0.0002	0.0001	0.00005	0.00002	0.00001
5.0000	7.0000	19.0000	19.000	0.0004	0.0002	0.0001	0.00005	0.00002	0.00001	0.000005
5.0000	7.0000	20.0000	20.000	0.0002	0.0001	0.00005	0.00002	0.00001	0.000005	0.000002
5.0000	7.0000	21.0000	21.000	0.0001	0.00005	0.00002	0.00001	0.000005	0.000002	0.000001
5.0000	7.0000	22.0000	22.000	0.00005	0.00002	0.00001	0.000005	0.000002	0.000001	0.0000005
5.0000	7.0000	23.0000	23.000	0.00002	0.00001	0.000005	0.000002	0.000001	0.0000005	0.0000002
5.0000	7.0000	24.0000	24.000	0.00001	0.000005	0.000002	0.000001	0.0000005	0.0000002	0.0000001
5.0000	7.0000	25.0000	25.000	0.000005	0.000002	0.000001	0.0000005	0.0000002	0.0000001	0.00000005
5.0000	7.0000	26.0000	26.000	0.000002	0.000001	0.0000005	0.0000002	0.0000001	0.00000005	0.00000002
5.0000	7.0000	27.0000	27.000	0.000001	0.0000005	0.0000002	0.0000001	0.00000005	0.00000002	0.00000001
5.0000	7.0000	28.0000	28.000	0.0000005	0.0000002	0.0000001	0.00000005	0.00000002	0.00000001	0.000000005
5.0000	7.0000	29.0000	29.000	0.0000002	0.0000001	0.00000005	0.00000002	0.00000001	0.000000005	0.000000002
5.0000	7.0000	30.0000	30.000	0.0000001	0.00000005	0.00000002	0.00000001	0.000000005	0.000000002	0.000000001
5.0000	7.0000	31.0000	31.000	0.00000005	0.00000002	0.00000001	0.000000005	0.000000002	0.000000001	0.0000000005
5.0000	7.0000	32.0000	32.000	0.00000002	0.00000001	0.000000005	0.000000002	0.000000001	0.0000000005	0.0000000002
5.0000	7.0000	33.0000	33.000	0.00000001	0.000000005	0.000000002	0.000000001	0.0000000005	0.0000000002	0.0000000001
5.0000	7.0000	34.0000	34.000	0.000000005	0.000000002	0.000000001	0.0000000005	0.0000000002	0.0000000001	0.00000000005
5.0000	7.0000	35.0000	35.000	0.000000002	0.000000001	0.0000000005	0.0000000002	0.0000000001	0.00000000005	0.00000000002
5.0000	7.0000	36.0000	36.000	0.000000001	0.0000000005	0.0000000002	0.0000000001	0.00000000005	0.00000000002	0.00000000001
5.0000	7.0000	37.0000	37.000	0.0000000005	0.0000000002	0.0000000001	0.00000000005	0.00000000002	0.00000000001	0.000000000005
5.0000	7.0000	38.0000	38.000	0.0000000002	0.0000000001	0.00000000005	0.00000000002	0.00000000001	0.000000000005	0.000000000002
5.0000	7.0000	39.0000	39.000	0.0000000001	0.00000000005	0.00000000002	0.00000000001	0.000000000005	0.000000000002	0.000000000001
5.0000	7.0000	40.0000	40.000	0.00000000005	0.00000000002	0.00000000001	0.000000000005	0.000000000002	0.000000000001	0.0000000000005
5.0000	7.0000	41.0000	41.000	0.00000000002	0.00000000001	0.000000000005	0.000000000002	0.000000000001	0.0000000000005	0.0000000000002
5.0000	7.0000	42.0000	42.000	0.00000000001	0.000000000005	0.000000000002	0.000000000001	0.0000000000005	0.0000000000002	0.0000000000001
5.0000	7.0000	43.0000	43.000	0.000000000005	0.000000000002	0.000000000001	0.0000000000005	0.0000000000002	0.0000000000001	0.00000000000005
5.0000	7.0000	44.0000	44.000	0.000000000002	0.000000000001	0.0000000000005	0.0000000000002	0.0000000000001	0.00000000000005	0.00000000000002
5.0000	7.0000	45.0000	45.000	0.000000000001	0.0000000000005	0.0000000000002	0.0000000000001	0.00000000000005	0.00000000000002	0.00000000000001
5.0000	7.0000	46.0000	46.000	0.0000000000005	0.0000000000002	0.0000000000001	0.00000000000005	0.00000000000002	0.00000000000001	0.000000000000005
5.0000	7.0000	47.0000	47.000	0.0000000000002	0.0000000000001	0.00000000000005	0.00000000000002	0.00000000000001	0.000000000000005	0.000000000000002
5.0000	7.0000	48.0000	48.000	0.0000000000001	0.00000000000005	0.00000000000002	0.00000000000001	0.000000000000005	0.000000000000002	0.000000000000001
5.0000	7.0000	49.0000	49.000	0.00000000000005	0.00000000000002	0.00000000000001	0.000000000000005	0.000000000000002	0.000000000000001	0.0000000000000005
5.0000	7.0000	50.0000	50.000	0.00000000000002	0.00000000000001	0.000000000000005	0.000000000000002	0.000000000000001	0.0000000000000005	0.0000000000000002
5.0000	7.0000	51.0000	51.000	0.00000000000001	0.000000000000005	0.000000000000002	0.000000000000001	0.0000000000000005	0.0000000000000002	0.0000000000000001
5.0000	7.0000	52.0000	52.000	0.000000000000005	0.000000000000002	0.000000000000001	0.0000000000000005	0.0000000000000002	0.0000000000000001	0.00000000000000005
5.0000	7.0000	53.0000	53.000	0.000000000000002	0.000000000000001	0.0000000000000005	0.0000000000000002	0.0000000000000001	0.00000000000000005	0.00000000000000002
5.0000	7.0000	54.0000	54.000	0.000000000000001	0.0000000000000005	0.0000000000000002	0.0000000000000001	0.00000000000000005	0.00000000000000002	0.00000000000000001
5.0000	7.0000	55.0000	55.000	0.0000000000000005	0.0000000000000002	0.0000000000000001	0.00000000000000005	0.00000000000000002	0.00000000000000001	0.000000000000000005
5.0000	7.0000	56.0000	56.000	0.0000000000000002	0.0000000000000001	0.00000000000000005	0.00000000000000002	0.00000000000000001	0.000000000000000005	0.000000000000000002
5.0000	7.0000	57.0000	57.000	0.0000000000000001	0.00000000000000005	0.00000000000000002	0.00000000000000001	0.000000000000000005	0.000000000000000002	0.000000000000000001
5.0000	7.0000	58.0000	58.000	0.00000000000000005	0.00000000000000002	0.00000000000000001	0.000000000000000005	0.000000000000000002	0.000000000000000001	0.0000000000000000005
5.0000	7.0000	59.0000	59.000	0.00000000000000002	0.00000000000000001	0.000000000000000005	0.000000000000000002	0.000000000000000001	0.0000000000000000005	0.0000000000000000002
5.0000	7.0000	60.0000	60.000	0.00000000000000001	0.000000000000000005	0.000000000000000002	0.000000000000000001	0.0000000000000000005	0.000000000000000002	0.0000000000000000001

% DE DESVIACIÓN 2.2012 4.0493 6.6836 3.6244 4.0939 6.0322 3.5001 -3.6360

## ISOTERIA DE 320.000 GRADOS KELVIN PARA ALTITUD

## TABLA 30

VOLUMEN

PRESSIONES

	P CAP	COP	1	2	3	4	5	6	7
1.000	1.3075	1.3653	1.3140	1.3640	1.3133	1.3440	1.3047	1.3039	1.3153
1.0000	2.5771	2.5550	2.5253	2.5550	2.5550	2.5550	2.5550	2.5550	2.5550
1.0001	3.7736	3.7736	3.7736	3.7736	3.7736	3.7736	3.7736	3.7736	3.7736
1.0002	4.9702	4.9702	4.9702	4.9702	4.9702	4.9702	4.9702	4.9702	4.9702
1.0003	6.1671	6.1351	6.1054	6.1671	6.1671	6.1671	6.1671	6.1671	6.1671
1.0004	7.3639	7.3319	7.3015	7.3639	7.3639	7.3639	7.3639	7.3639	7.3639
1.0005	8.5607	8.5286	8.4980	8.5607	8.5607	8.5607	8.5607	8.5607	8.5607
1.0006	9.7575	9.7254	9.6947	9.7575	9.7575	9.7575	9.7575	9.7575	9.7575
1.0007	10.9543	10.9222	10.8915	10.9543	10.9543	10.9543	10.9543	10.9543	10.9543
1.0008	12.1511	12.1189	12.0882	12.1511	12.1511	12.1511	12.1511	12.1511	12.1511
1.0009	13.3479	13.3157	13.2850	13.3479	13.3479	13.3479	13.3479	13.3479	13.3479
1.0010	14.5447	14.5125	14.4818	14.5447	14.5447	14.5447	14.5447	14.5447	14.5447
1.0011	15.7415	15.7093	15.6786	15.7415	15.7415	15.7415	15.7415	15.7415	15.7415
1.0012	16.9383	16.9061	16.8754	16.9383	16.9383	16.9383	16.9383	16.9383	16.9383
1.0013	18.1351	18.1029	18.0722	18.1351	18.1351	18.1351	18.1351	18.1351	18.1351
1.0014	19.3319	19.3097	19.2790	19.3319	19.3319	19.3319	19.3319	19.3319	19.3319
1.0015	20.5287	20.5065	20.4758	20.5287	20.5287	20.5287	20.5287	20.5287	20.5287
1.0016	21.7255	21.6933	21.6626	21.7255	21.7255	21.7255	21.7255	21.7255	21.7255
1.0017	22.9223	22.8899	22.8592	22.9223	22.9223	22.9223	22.9223	22.9223	22.9223
1.0018	24.1191	24.0867	24.0560	24.1191	24.1191	24.1191	24.1191	24.1191	24.1191
1.0019	25.3159	25.2836	25.2529	25.3159	25.3159	25.3159	25.3159	25.3159	25.3159
1.0020	26.5127	26.4794	26.4487	26.5127	26.5127	26.5127	26.5127	26.5127	26.5127
1.0021	27.7095	27.6762	27.6455	27.7095	27.7095	27.7095	27.7095	27.7095	27.7095
1.0022	28.9063	28.8730	28.8423	28.9063	28.9063	28.9063	28.9063	28.9063	28.9063
1.0023	30.0931	30.0608	30.0291	30.0931	30.0931	30.0931	30.0931	30.0931	30.0931
1.0024	31.2899	31.2566	31.2250	31.2899	31.2899	31.2899	31.2899	31.2899	31.2899
1.0025	32.4867	32.4534	32.4217	32.4867	32.4867	32.4867	32.4867	32.4867	32.4867
1.0026	33.6835	33.6502	33.6185	33.6835	33.6835	33.6835	33.6835	33.6835	33.6835
1.0027	34.8803	34.8470	34.8153	34.8803	34.8803	34.8803	34.8803	34.8803	34.8803
1.0028	36.0771	36.0438	36.0121	36.0771	36.0771	36.0771	36.0771	36.0771	36.0771
1.0029	37.2739	37.2406	37.2089	37.2739	37.2739	37.2739	37.2739	37.2739	37.2739
1.0030	38.4707	38.4374	38.4057	38.4707	38.4707	38.4707	38.4707	38.4707	38.4707
1.0031	39.6675	39.6342	39.6025	39.6675	39.6675	39.6675	39.6675	39.6675	39.6675
1.0032	40.8643	40.8310	40.7993	40.8643	40.8643	40.8643	40.8643	40.8643	40.8643
1.0033	42.0611	41.7278	41.3951	42.0611	42.0611	42.0611	42.0611	42.0611	42.0611
1.0034	43.2579	42.9246	42.5919	43.2579	43.2579	43.2579	43.2579	43.2579	43.2579
1.0035	44.4547	44.1214	43.7887	44.4547	44.4547	44.4547	44.4547	44.4547	44.4547
1.0036	45.6515	45.3182	44.9855	45.6515	45.6515	45.6515	45.6515	45.6515	45.6515
1.0037	46.8483	46.5150	46.1823	46.8483	46.8483	46.8483	46.8483	46.8483	46.8483
1.0038	48.0451	47.7118	47.3791	48.0451	48.0451	48.0451	48.0451	48.0451	48.0451
1.0039	49.2419	48.9086	48.5759	49.2419	49.2419	49.2419	49.2419	49.2419	49.2419
1.0040	50.4387	50.1054	49.7727	50.4387	50.4387	50.4387	50.4387	50.4387	50.4387
1.0041	51.6355	50.8111	50.4874	51.6355	51.6355	51.6355	51.6355	51.6355	51.6355
1.0042	52.8323	52.0079	51.6842	52.8323	52.8323	52.8323	52.8323	52.8323	52.8323
1.0043	54.0291	53.1958	52.8621	54.0291	54.0291	54.0291	54.0291	54.0291	54.0291
1.0044	55.2259	54.3925	54.0598	55.2259	55.2259	55.2259	55.2259	55.2259	55.2259
1.0045	56.4227	55.5894	55.2567	56.4227	56.4227	56.4227	56.4227	56.4227	56.4227
1.0046	57.6195	56.7861	56.4534	57.6195	57.6195	57.6195	57.6195	57.6195	57.6195
1.0047	58.8163	57.9829	57.6492	58.8163	58.8163	58.8163	58.8163	58.8163	58.8163
1.0048	60.0131	59.1797	58.8460	60.0131	60.0131	60.0131	60.0131	60.0131	60.0131
1.0049	61.2099	60.3864	59.0527	61.2099	61.2099	61.2099	61.2099	61.2099	61.2099
1.0050	62.4067	61.5134	59.9994	62.4067	62.4067	62.4067	62.4067	62.4067	62.4067
Y DE DESVIACION	2.0008	5.1549	6.2274	4.8099	5.1031	6.1491	4.7767	5.3593	

ISOTERMA DE SUBLIMACION GRADOS KELVIN PARA METANO TABLA 31

VALORES ESTADISTICOS PARA LA CORRELACIONES ENTRE LOS DATOS DE PRESIONES Y CONCENTRACIONES

VOLVIMEN

PRESIONES

	P EXP	COF	1	2	3	4	5	6	7
1.00000	4.0772	2.0772	2.0774	2.0773	2.0774	2.0774	2.0774	2.0774	2.0774
1.00001	4.1252	4.1553	4.1554	4.1552	4.1551	4.1552	4.1551	4.1552	4.1552
1.00002	4.2252	4.2124	4.2125	4.2123	4.2124	4.2124	4.2123	4.2124	4.2124
1.00003	4.3252	4.3047	4.3048	4.3046	4.3047	4.3047	4.3046	4.3047	4.3047
1.00004	4.4252	4.4067	4.4067	4.4065	4.4066	4.4066	4.4065	4.4066	4.4066
1.00005	4.5252	4.4887	4.4887	4.4885	4.4886	4.4886	4.4885	4.4886	4.4886
1.00006	4.6252	4.5707	4.5707	4.5705	4.5706	4.5706	4.5705	4.5706	4.5706
1.00007	4.7252	4.6527	4.6527	4.6525	4.6526	4.6526	4.6525	4.6526	4.6526
1.00008	4.8252	4.7347	4.7347	4.7345	4.7346	4.7346	4.7345	4.7346	4.7346
1.00009	4.9252	4.8167	4.8167	4.8165	4.8166	4.8166	4.8165	4.8166	4.8166
1.00010	5.0252	4.8987	4.8987	4.8985	4.8986	4.8986	4.8985	4.8986	4.8986
1.00011	5.1252	5.0807	5.0807	5.0805	5.0806	5.0806	5.0805	5.0806	5.0806
1.00012	5.2252	5.2627	5.2627	5.2625	5.2626	5.2626	5.2625	5.2626	5.2626
1.00013	5.3252	5.4447	5.4447	5.4445	5.4446	5.4446	5.4445	5.4446	5.4446
1.00014	5.4252	5.6267	5.6267	5.6265	5.6266	5.6266	5.6265	5.6266	5.6266
1.00015	5.5252	5.8087	5.8087	5.8085	5.8086	5.8086	5.8085	5.8086	5.8086
1.00016	5.6252	5.9907	5.9907	5.9905	5.9906	5.9906	5.9905	5.9906	5.9906
1.00017	5.7252	6.1727	6.1727	6.1725	6.1726	6.1726	6.1725	6.1726	6.1726
1.00018	5.8252	6.3547	6.3547	6.3545	6.3546	6.3546	6.3545	6.3546	6.3546
1.00019	5.9252	6.5367	6.5367	6.5365	6.5366	6.5366	6.5365	6.5366	6.5366
1.00020	6.0252	6.7187	6.7187	6.7185	6.7186	6.7186	6.7185	6.7186	6.7186
1.00021	6.1252	6.8997	6.8997	6.8995	6.8996	6.8996	6.8995	6.8996	6.8996
1.00022	6.2252	7.0817	7.0817	7.0815	7.0816	7.0816	7.0815	7.0816	7.0816
1.00023	6.3252	7.2637	7.2637	7.2635	7.2636	7.2636	7.2635	7.2636	7.2636
1.00024	6.4252	7.4457	7.4457	7.4455	7.4456	7.4456	7.4455	7.4456	7.4456
1.00025	6.5252	7.6277	7.6277	7.6275	7.6276	7.6276	7.6275	7.6276	7.6276
1.00026	6.6252	7.8097	7.8097	7.8095	7.8096	7.8096	7.8095	7.8096	7.8096
1.00027	6.7252	8.0917	8.0917	8.0915	8.0916	8.0916	8.0915	8.0916	8.0916
1.00028	6.8252	8.2737	8.2737	8.2735	8.2736	8.2736	8.2735	8.2736	8.2736
1.00029	6.9252	8.4557	8.4557	8.4555	8.4556	8.4556	8.4555	8.4556	8.4556
1.00030	7.0252	8.6377	8.6377	8.6375	8.6376	8.6376	8.6375	8.6376	8.6376
1.00031	7.1252	8.8197	8.8197	8.8195	8.8196	8.8196	8.8195	8.8196	8.8196
1.00032	7.2252	9.0017	9.0017	9.0015	9.0016	9.0016	9.0015	9.0016	9.0016
1.00033	7.3252	9.1837	9.1837	9.1835	9.1836	9.1836	9.1835	9.1836	9.1836
1.00034	7.4252	9.3657	9.3657	9.3655	9.3656	9.3656	9.3655	9.3656	9.3656
1.00035	7.5252	9.5477	9.5477	9.5475	9.5476	9.5476	9.5475	9.5476	9.5476
1.00036	7.6252	9.7297	9.7297	9.7295	9.7296	9.7296	9.7295	9.7296	9.7296
1.00037	7.7252	9.9117	9.9117	9.9115	9.9116	9.9116	9.9115	9.9116	9.9116
1.00038	7.8252	10.0937	10.0937	10.0935	10.0936	10.0936	10.0935	10.0936	10.0936
1.00039	7.9252	10.2757	10.2757	10.2755	10.2756	10.2756	10.2755	10.2756	10.2756
1.00040	8.0252	10.4577	10.4577	10.4575	10.4576	10.4576	10.4575	10.4576	10.4576
1.00041	8.1252	10.6397	10.6397	10.6395	10.6396	10.6396	10.6395	10.6396	10.6396
1.00042	8.2252	10.8217	10.8217	10.8215	10.8216	10.8216	10.8215	10.8216	10.8216
1.00043	8.3252	10.9997	10.9997	10.9995	11.0000	11.0000	11.0000	11.0000	11.0000
1.00044	8.4252	11.1817	11.1817	11.1815	11.1818	11.1818	11.1815	11.1818	11.1818
1.00045	8.5252	11.3637	11.3637	11.3635	11.3638	11.3638	11.3635	11.3638	11.3638
1.00046	8.6252	11.5457	11.5457	11.5455	11.5458	11.5458	11.5455	11.5458	11.5458
1.00047	8.7252	11.7277	11.7277	11.7275	11.7278	11.7278	11.7275	11.7278	11.7278
1.00048	8.8252	11.9097	11.9097	11.9095	11.9100	11.9100	11.9100	11.9100	11.9100
1.00049	8.9252	12.0917	12.0917	12.0915	12.0920	12.0920	12.0920	12.0920	12.0920
1.00050	9.0252	12.2737	12.2737	12.2735	12.2740	12.2740	12.2740	12.2740	12.2740
1.00051	9.1252	12.4557	12.4557	12.4555	12.4560	12.4560	12.4560	12.4560	12.4560
1.00052	9.2252	12.6377	12.6377	12.6375	12.6380	12.6380	12.6380	12.6380	12.6380
1.00053	9.3252	12.8197	12.8197	12.8195	12.8200	12.8200	12.8200	12.8200	12.8200
1.00054	9.4252	13.0017	13.0017	13.0015	13.0020	13.0020	13.0020	13.0020	13.0020
1.00055	9.5252	13.1837	13.1837	13.1835	13.1840	13.1840	13.1840	13.1840	13.1840
1.00056	9.6252	13.3657	13.3657	13.3655	13.3660	13.3660	13.3660	13.3660	13.3660
1.00057	9.7252	13.5477	13.5477	13.5475	13.5480	13.5480	13.5480	13.5480	13.5480
1.00058	9.8252	13.7297	13.7297	13.7295	13.7300	13.7300	13.7300	13.7300	13.7300
1.00059	9.9252	13.9117	13.9117	13.9115	13.9120	13.9120	13.9120	13.9120	13.9120
1.00060	10.0252	14.0937	14.0937	14.0935	14.0940	14.0940	14.0940	14.0940	14.0940
1.00061	10.1252	14.2757	14.2757	14.2755	14.2760	14.2760	14.2760	14.2760	14.2760
1.00062	10.2252	14.4577	14.4577	14.4575	14.4580	14.4580	14.4580	14.4580	14.4580
1.00063	10.3252	14.6397	14.6397	14.6395	14.6400	14.6400	14.6400	14.6400	14.6400
1.00064	10.4252	14.8217	14.8217	14.8215	14.8220	14.8220	14.8220	14.8220	14.8220
1.00065	10.5252	15.0037	15.0037	15.0035	15.0040	15.0040	15.0040	15.0040	15.0040
1.00066	10.6252	15.1857	15.1857	15.1855	15.1860	15.1860	15.1860	15.1860	15.1860
1.00067	10.7252	15.3677	15.3677	15.3675	15.3680	15.3680	15.3680	15.3680	15.3680
1.00068	10.8252	15.5497	15.5497	15.5495	15.5500	15.5500	15.5500	15.5500	15.5500
1.00069	10.9252	15.7317	15.7317	15.7315	15.7320	15.7320	15.7320	15.7320	15.7320
1.00070	11.0252	15.9137	15.9137	15.9135	15.9140	15.9140	15.9140	15.9140	15.9140
1.00071	11.1252	16.0957	16.0957	16.0955	16.0960	16.0960	16.0960	16.0960	16.0960
1.00072	11.2252	16.2777	16.2777	16.2775	16.2780	16.2780	16.2780	16.2780	16.2780
1.00073	11.3252	16.4597	16.4597	16.4595	16.4600	16.4600	16.4600	16.4600	16.4600
1.00074	11.4252	16.6417	16.6417	16.6415	16.6420	16.6420	16.6420	16.6420	16.6420
1.00075	11.5252	16.8237	16.8237	16.8235	16.8240	16.8240	16.8240	16.8240	16.8240
1.00076	11.6252	17.0057	17.0057	17.0055	17.0060	17.0060	17.0060	17.0060	17.0060
1.00077	11.7252	17.1877	17.1877	17.1875	17.1880	17.1880	17.1880	17.1880	17.1880
1.00078	11.8252	17.3697	17.3697	17.3695	17.3700	17.3700	17.3700	17.3700	17.3700
1.00079	11.9252	17.5517	17.5517	17.5515	17.5520	17.5520	17.5520	17.5520	17.5520
1.00080	12.0252	17.7337	17.7337	17.7335	17.7340	17.7340	17.7340	17.7340	17.7340
1.00081	12.1252	17.9157	17.9157	17.9155	17.9160	17.9160	17.9160	17.9160	17.9160
1.00082	12.2252	18.0977	18.0977	18.0975	18.0980	18.0980	18.0980	18.0980	18.0980
1.00083	12.3252	18.2797	18.2797	18.2795	18.2800	18.2800	18.2800	18.2800	18.2800
1.00084	12.4252	18.4617	18.4617	18.4615	18.4620	18.4620	18.4620	18.4620	18.4620
1.00085	12.5252	18.6437	18.6437	18.6435	18.6440	18.6440	18.6440	18.6440	18.6440
1.00086	12.6252	18.8257	18.8257	18.8255	18.8260	18.8260	18.8260	18.8260	18.8260
1.00087	12.7252	19.0077	19.0077	19.0075	19.0080	19.0080	19.0080	19.0080	19.0080
1.00088	12.8252	19.1897	19.1897	19.1895	19.1900	19.1900	19.1900	19.1900	19.1900
1.00089	12.9252	19.3717	19.3717	19.3715	19.3720	19.3720	19.3720	19.3720	19.3720
1.00090	13.0252	19.5537	19.5537	19.5535	19.5540	19.5540	19.5540	19.5540	19.5540
1.00091	13.1252	19.7357	19.7357	19.7355	19.7360	19.7360	19.7360	19.7360	19.7360
1.00092	13.2252	19.9177	19.9177	19.9175	19.9180	19.9180	19.9180	19.9180	19.9180
1.00093	13.3252	20.0997	20.0997	20.0995	20.1000	20.1000	20.1000	20.1000	20.1000
1.00094	13.4252	20.2817	20.2817	20.2815	20.2820	20.2820	20.2820	20.2820	20.2820
1.00095	13.5252	20.4637	20.4637	20.4635	20.4640	20.4640	20.4640	20.4640	20.4640
1.00096	13.6252	20.6457	20.6457	20.6455	20.6460	20.6460	20.6460	20.6460	20.6460
1.00097	13.7252	20.8277	20.8277	20.8275	20.8280	20.8280	20.8280	20.8280	20.8280
1.00098	13.8252	21.0097	21.0097</td						

ESTIMACION DE 375.10 UCHING KUJU PARA OCTUBRE TABLA 32

VOLATILIDAD PRECIOLES

P. CAP	COP	CORRELACIONES							
		1	2	3	4	5	6	7	
363.10	-0.027	+0.77	+2.353	-01.242	45.767	46.024	-21.745	+5.557	47.756
362.99	7.727	+6.532	-2.542	43.362	45.427	-20.240	47.951	50.272	
362.99	1.519	+6.532	-2.542	43.454	45.045	-21.717	37.342	31.511	
362.99	5.723	+2.353	-21.232	31.454	42.213	-20.193	33.172	32.432	
362.99	1.721	+2.353	-21.232	31.454	42.213	-20.193	31.237	32.412	
362.99	1.137	+2.353	-21.232	31.454	42.213	-20.193	32.174	32.415	
362.99	16.122	+2.353	-21.232	31.454	42.213	-20.193	32.174	32.415	
362.99	12.512	+2.353	-21.232	31.454	42.213	-20.193	32.174	32.415	
362.99	12.512	+2.353	-21.232	31.454	42.213	-20.193	32.174	32.415	
362.99	13.175	+2.353	-21.232	31.454	42.213	-20.193	32.174	32.415	
362.99	21.175	+2.353	-21.232	31.454	42.213	-20.193	32.174	32.415	
362.99	21.175	+2.353	-21.232	31.454	42.213	-20.193	32.174	32.415	
362.99	33.337	35.244	+2.353	-11.239	101.240	95.119	-11.264	101.10	104.00
X DE JUNTAACION		36.401	30.210	167.26	97.731	86.565	106.92	97.717	93.115

ESTADÍSTICA MATEMÁTICA. ESTIMACIÓN DE LOS COEFICIENTES DE CORRELACIONES ENTRE LOS VARIOS INDICADORES.

VOLUNTARIOS

PARA LOS DIFERENTES

P. EXP.	COR.	CORRELACIONES							78
		1	2	3	4	5	6	7	
5.1-78	-0.125	-0.11	-0.11	-0.2043	-0.1733	-0.1757	-0.1744	-0.197	
5.1-2	-0.127	-0.11	-0.11	-0.1747	-0.1733	-0.1753	-0.1749	-0.197	
5.1-7	-0.127	-0.11	-0.11	-0.1747	-0.1733	-0.1753	-0.1749	-0.197	
5.2-5	-0.125	-0.11	-0.11	-0.1747	-0.1733	-0.1753	-0.1749	-0.197	
5.2-1	-0.127	-0.11	-0.11	-0.1747	-0.1733	-0.1753	-0.1749	-0.197	
5.2-2	-0.125	-0.11	-0.11	-0.1747	-0.1733	-0.1753	-0.1749	-0.197	
5.2-3	-0.127	-0.11	-0.11	-0.1747	-0.1733	-0.1753	-0.1749	-0.197	
5.2-4	-0.125	-0.11	-0.11	-0.1747	-0.1733	-0.1753	-0.1749	-0.197	
5.2-5	-0.127	-0.11	-0.11	-0.1747	-0.1733	-0.1753	-0.1749	-0.197	
5.2-6	-0.125	-0.11	-0.11	-0.1747	-0.1733	-0.1753	-0.1749	-0.197	
5.2-7	-0.127	-0.11	-0.11	-0.1747	-0.1733	-0.1753	-0.1749	-0.197	
5.3-1	-0.125	-0.11	-0.11	-0.1747	-0.1733	-0.1753	-0.1749	-0.197	
5.3-2	-0.127	-0.11	-0.11	-0.1747	-0.1733	-0.1753	-0.1749	-0.197	
5.3-3	-0.125	-0.11	-0.11	-0.1747	-0.1733	-0.1753	-0.1749	-0.197	
5.3-4	-0.127	-0.11	-0.11	-0.1747	-0.1733	-0.1753	-0.1749	-0.197	
5.3-5	-0.125	-0.11	-0.11	-0.1747	-0.1733	-0.1753	-0.1749	-0.197	
5.3-6	-0.127	-0.11	-0.11	-0.1747	-0.1733	-0.1753	-0.1749	-0.197	
5.3-7	-0.125	-0.11	-0.11	-0.1747	-0.1733	-0.1753	-0.1749	-0.197	
% DE DESVIACIÓN	46.01	55.128	327.27	34.105	93.031	323.32	34.070	34.473	

13675-57A-06-34-12-57A-34-06-57B-5373-3812

TABLA 34

These findings are consistent with previous studies showing that the presence of a partner is associated with lower levels of depression and anxiety.

VOL. I.

- 16 - 2024

15

## ESTADÍSTICA DE GRADO DE GRADO KOLMOGOROV PARA ESTIMACIÓN TABLA 35

TABLA 35. ESTADÍSTICAS DE ESTIMACIÓN DEL GRADO DE GRADO KOLMOGOROV PARA ESTIMACIÓN DE VARIANZA ESTÁNDAR.

VOLUMEN

PRESIONES

PRESION	COF	CORRELACIONES							88
		1	2	3	4	5	6	7	
6.3270	1.0153	2.0723	1.0422	-1.1560	1.0102	1.1382	-2.1605	12.153	12.329
6.3271	1.0153	2.0723	1.2027	-1.19445	1.0145	1.2545	-1.0265	15.411	15.321
6.32711	1.0153	2.0723	1.2027	-1.17239	1.0165	1.2545	-1.021	14.517	14.517
6.32730	1.0153	2.0723	1.2027	-1.21411	1.0119	1.2123	-1.0328	16.109	16.377
6.32731	1.0153	2.0723	1.2027	-1.2126	1.0124	1.2222	-1.0332	17.212	17.322
6.32732	1.0153	2.0723	1.2027	-1.1671	1.0171	1.2459	-1.0345	21.092	21.321
6.32733	1.0153	2.0723	1.2027	-1.1651	1.0172	1.2470	-1.0219	21.705	21.737
6.32734	1.0153	2.0723	1.2027	-1.2063	1.0152	1.2517	-1.0314	21.415	21.415
6.32735	1.0153	2.0723	1.2027	-1.2223	1.0120	1.2520	-1.0310	21.730	21.730
6.32736	1.0153	2.0723	1.2027	-1.2149	1.0126	1.2558	-1.0307	21.704	21.704
6.32737	1.0153	2.0723	1.2027	-1.0676	1.0124	1.2558	-1.03475	21.702	21.742
3 DE DESVIACION	34.476	72.359	350.14	76.169	72.937	346.31	74.157	74.357	

## TABLA 36

VOL. 100

PERCENTAJES

## CORRELACIONES

P	FAP	CDF	1	2	3	4	5	6	7
3.5344	2.0655	6.5775	7.1397	6.1514	5.2277	5.0544	2.1290	5.2270	5.1775
3.5547	2.0351	6.4455	7.7315	6.2372	5.5575	5.2147	2.4271	5.5553	5.7212
3.7140	3.0371	6.4455	7.1110	6.2374	5.5575	3.9235	2.4264	5.5553	5.7212
3.7210	3.0373	6.5272	7.1453	6.2771	12.2322	12.4259	3.7433	12.2323	12.4259
4.5314	10.1251	12.6511	24.751	8.2729	23.532	22.725	8.2729	23.532	24.751
4.5355	10.1252	12.6511	24.751	8.2729	23.532	31.956	10.2550	31.956	32.925
4.5571	20.2451	22.4451	41.1713	17.1959	42.250	40.705	17.1959	42.250	42.159
4.7751	33.7957	54.5324	32.6510	15.8710	60.4682	59.3356	15.8795	60.4682	51.321
% JC. INCORPORACIONES	10.424	55.042	50.264	57.207	55.631	50.385	57.203	55.747	

TEMPERATURA

TABLA 37:

SEGUNDO COEFICIENTE VIRIAL  $\beta$ /METANO

## CORRELACIONES

	$\delta$ EXP	COR	1	2	3	4	5	6	7
600.00	-9.1006	12.112	7.5233	7.3466	7.5535	7.5537	7.5077	7.7057	10.306
500.00	-1.60000	1.0334	-2.7741	-2.7057	-2.8100	-2.5501	-2.5772	-2.6723	-1.5273
400.00	-15.5000	-14.553	-15.710	-14.252	-14.343	-18.003	-18.103	-15.717	-16.373
350.00	-27.0000	-25.680	-31.680	-29.700	-31.097	-30.392	-30.193	-31.511	-33.245
300.00	-42.0000	-43.552	-45.790	-45.083	-47.112	-46.713	-46.007	-47.943	-44.742
275.00	-53.0000	-52.101	-57.451	-56.124	-57.953	-57.501	-56.143	-57.916	-55.740
250.00	-57.0000	-63.000	-71.436	-71.221	-71.450	-70.710	-68.292	-71.429	-71.165
225.00	-55.0000	-55.401	-65.129	-65.390	-68.702	-69.352	-65.973	-71.595	-80.479
200.00	-70.0000	-71.501	-113.970	-116.721	-111.51	-110.324	-103.222	-111.356	-103.729
180.00	-133.000	-123.14	-113.57	-112.35	-133.24	-135.31	-132.11	-135.29	-133.72
160.00	-127.000	-103.51	-103.76	-106.25	-109.50	-109.57	-106.59	-109.35	-106.21
150.00	-121.000	-130.09	-109.41	-105.79	-101.62	-100.35	-104.92	-101.32	-103.34
140.00	-117.000	-117.07	-103.52	-101.56	-103.53	-101.55	-101.75	-101.55	-101.26
130.00	-66.0000	-62.000	-102.03	-104.39	-105.22	-104.97	-104.05	-105.77	-103.03
120.00	-634.000	-29.03	-29.69	-30.38	-29.632	-29.240	-28.543	-29.430	-29.173
110.00	-344.000	-343.43	-143.51	-340.15	-340.81	-348.31	-340.20	-331.01	-345.57
X DE DESVIACION	11.430	10.173	9.6173	10.636	9.9321	9.3848	10.411	17.473	

TEMPERATURA

TABLA 3B : SEUNDO COEFICIENTE VITIAL P/ BENCENO

## CORRELACIONES

	B	EYR	C0N	1	2	3	4	5	6	7
335.00	-1295.0	-507.51	-82.15	-923.11	-1093.2	-391.80	-223.57	-593.17	-893.82	
342.00	-112.0	-537.73	-22.23	-760.01	-1049.2	-655.93	-791.45	-337.25	-557.92	
343.00	-112.0	-512.51	-22.31	-765.23	-1013.7	-726.93	-753.71	-322.23	-532.39	
352.00	-122.0	-777.79	-79.25	-727.95	-130.03	-799.54	-733.57	-510.74	-611.36	
357.00	-101.0	-706.66	-72.59	-725.71	-163.83	-736.33	-726.19	-737.22	-731.13	
362.00	-92.0	-766.45	-72.40	-710.17	-177.35	-745.11	-705.57	-700.53	-755.34	
364.00	-72.0	-723.92	-79.34	-691.07	-917.73	-745.72	-651.46	-720.90	-751.61	
372.00	-72.0	-710.23	-72.45	-669.32	-830.92	-725.61	-659.72	-720.36	-725.79	
373.00	-72.0	-616.27	-71.15	-634.36	-870.01	-713.36	-652.22	-716.05	-715.39	
373.00	-127.0	-1017.71	-112.22	-1040.00	-1532.4	-1177.3	-1041.5	-1127.5	-1111.3	
314.00	-127.0	-945.61	-101.46	-772.24	-1553.4	-1010.4	-932.74	-1011.5	-1011.3	
323.00	-121.0	-742.75	-95.55	-744.75	-175.5	-954.35	-835.32	-751.64	-831.77	
342.00	-113.0	-276.24	-23.54	-567.53	-1099.0	-956.29	-877.97	-977.76	-831.57	
342.00	-92.0	-713.62	-34.88	-749.04	-133.35	-102.06	-71.25	-103.39	-114.50	
353.00	-72.0	-607.41	-34.46	-631.47	-153.33	-694.21	-631.95	-635.74	-635.41	
313.00	-124.0	-273.13	-102.22	-245.06	-1252.5	-1021.3	-943.54	-1023.3	-1124.1	
323.00	-72.0	-232.13	-95.55	-735.27	-175.7	-559.15	-355.77	-950.65	-951.37	
335.00	-127.0	-171.01	-92.35	-336.73	-115.3	-902.49	-833.44	-793.57	-792.59	
355.00	-122.0	-527.77	-50.54	-735.45	-1043.1	-151.01	-735.59	-152.31	-732.97	
355.00	-124.0	-713.19	-31.53	-742.05	-155.55	-104.01	-742.51	-112.20	-335.46	
353.00	-72.0	-731.27	-31.53	-741.21	-196.45	-903.11	-741.67	-814.34	-114.75	
343.00	-577.00	-733.42	-73.44	-701.59	-731.73	-760.14	-701.97	-751.31	-761.86	
373.00	-40.00	-701.52	-73.91	-665.11	-133.55	-720.56	-533.51	-721.79	-722.19	
353.00	-314.00	-103.01	-53.44	-631.47	-159.63	-634.20	-631.32	-635.26	-635.50	
353.00	-72.0	-731.27	-105.43	-761.25	-782.43	-633.11	-741.67	-104.36	-214.95	
363.00	-121.00	-720.72	-72.67	-701.59	-851.73	-760.14	-701.77	-751.31	-751.46	
373.00	-72.0	-701.91	-26.51	-663.11	-833.33	-720.64	-665.50	-721.72	-722.19	
333.00	-103.00	-605.41	-83.44	-231.47	-130.03	-684.20	-631.35	-635.24	-635.60	

% UL DESVIACION 34.60% 27.251 37.925 7.1477 27.301 37.847 27.106 27.015

TEMPERATURA

TABLA 39 : SEGUNDO COEFICIENTE VIRIAL  $\beta/\text{BUTANO}$ 

## CORRELACIONES

	4 EXP	COR.	1	2	3	4	5	6	7
-325.10	-710.65	-347.16	-691.32	-310.83	-310.47	-291.73	-311.10	-307.38	
-427.30	-270.55	-270.55	-270.55	-270.55	-273.03	-227.24	-227.24	-227.24	
-524.28	-251.45	-251.45	-251.45	-251.45	-211.20	-207.17	-207.17	-207.17	
-621.26	-242.35	-242.35	-242.35	-242.35	-213.38	-207.75	-207.75	-207.75	
-718.24	-233.25	-233.25	-233.25	-233.25	-218.05	-217.38	-217.38	-217.38	
-815.22	-224.15	-224.15	-224.15	-224.15	-218.65	-217.75	-217.75	-217.75	
-912.20	-215.05	-215.05	-215.05	-215.05	-226.57	-215.94	-215.94	-215.94	
-1009.18	-205.95	-205.95	-205.95	-205.95	-227.40	-216.96	-216.96	-216.96	
-1106.16	-196.85	-196.85	-196.85	-196.85	-234.10	-217.57	-217.57	-217.57	
-1203.14	-187.75	-187.75	-187.75	-187.75	-234.62	-217.20	-217.20	-217.20	
-1299.12	-178.65	-178.65	-178.65	-178.65	-235.25	-216.82	-216.82	-216.82	
-1396.10	-169.55	-169.55	-169.55	-169.55	-235.87	-216.44	-216.44	-216.44	
-1493.08	-160.45	-160.45	-160.45	-160.45	-236.50	-216.06	-216.06	-216.06	
-1589.06	-151.35	-151.35	-151.35	-151.35	-237.00	-215.69	-215.69	-215.69	
-1686.04	-142.25	-142.25	-142.25	-142.25	-237.57	-215.32	-215.32	-215.32	
-1783.02	-133.15	-133.15	-133.15	-133.15	-238.05	-214.94	-214.94	-214.94	
-1880.00	-124.05	-124.05	-124.05	-124.05	-238.50	-214.56	-214.56	-214.56	
-1977.00	-114.95	-114.95	-114.95	-114.95	-238.97	-214.18	-214.18	-214.18	
-2074.00	-105.85	-105.85	-105.85	-105.85	-239.40	-213.80	-213.80	-213.80	
-2171.00	-96.75	-96.75	-96.75	-96.75	-239.82	-213.42	-213.42	-213.42	
-2268.00	-87.65	-87.65	-87.65	-87.65	-240.24	-213.04	-213.04	-213.04	
-2365.00	-78.55	-78.55	-78.55	-78.55	-240.65	-212.66	-212.66	-212.66	
-2462.00	-69.45	-69.45	-69.45	-69.45	-241.07	-212.28	-212.28	-212.28	
-2559.00	-60.35	-60.35	-60.35	-60.35	-241.49	-211.90	-211.90	-211.90	
-2656.00	-51.25	-51.25	-51.25	-51.25	-241.90	-211.52	-211.52	-211.52	
-2753.00	-42.15	-42.15	-42.15	-42.15	-242.32	-211.14	-211.14	-211.14	
-2850.00	-33.05	-33.05	-33.05	-33.05	-242.73	-210.76	-210.76	-210.76	
-2947.00	-23.95	-23.95	-23.95	-23.95	-243.15	-210.38	-210.38	-210.38	
-3044.00	-14.85	-14.85	-14.85	-14.85	-243.57	-210.00	-210.00	-210.00	
-3141.00	-5.75	-5.75	-5.75	-5.75	-244.00	-209.62	-209.62	-209.62	
-3238.00	-16.65	-16.65	-16.65	-16.65	-244.42	-209.24	-209.24	-209.24	
-3335.00	-27.55	-27.55	-27.55	-27.55	-244.84	-208.86	-208.86	-208.86	
-3432.00	-38.45	-38.45	-38.45	-38.45	-245.26	-208.48	-208.48	-208.48	
-3529.00	-49.35	-49.35	-49.35	-49.35	-245.67	-208.10	-208.10	-208.10	
-3626.00	-60.25	-60.25	-60.25	-60.25	-246.09	-207.72	-207.72	-207.72	
-3723.00	-71.15	-71.15	-71.15	-71.15	-246.50	-207.34	-207.34	-207.34	
-3820.00	-82.05	-82.05	-82.05	-82.05	-246.92	-206.96	-206.96	-206.96	
-3917.00	-92.95	-92.95	-92.95	-92.95	-247.33	-206.58	-206.58	-206.58	
-4014.00	-103.85	-103.85	-103.85	-103.85	-247.75	-206.20	-206.20	-206.20	
-4111.00	-114.75	-114.75	-114.75	-114.75	-248.16	-205.82	-205.82	-205.82	
-4208.00	-125.65	-125.65	-125.65	-125.65	-248.57	-205.44	-205.44	-205.44	
-4305.00	-136.55	-136.55	-136.55	-136.55	-248.98	-205.06	-205.06	-205.06	
-4402.00	-147.45	-147.45	-147.45	-147.45	-249.39	-204.68	-204.68	-204.68	
-4499.00	-158.35	-158.35	-158.35	-158.35	-249.80	-204.30	-204.30	-204.30	
-4596.00	-169.25	-169.25	-169.25	-169.25	-250.21	-203.92	-203.92	-203.92	
-4693.00	-180.15	-180.15	-180.15	-180.15	-250.62	-203.54	-203.54	-203.54	
-4790.00	-191.05	-191.05	-191.05	-191.05	-251.03	-203.16	-203.16	-203.16	
-4887.00	-201.95	-201.95	-201.95	-201.95	-251.44	-202.78	-202.78	-202.78	
-4984.00	-212.85	-212.85	-212.85	-212.85	-251.85	-202.40	-202.40	-202.40	
-5081.00	-223.75	-223.75	-223.75	-223.75	-252.26	-201.92	-201.92	-201.92	
-5178.00	-234.65	-234.65	-234.65	-234.65	-252.67	-201.54	-201.54	-201.54	
-5275.00	-245.55	-245.55	-245.55	-245.55	-253.08	-201.16	-201.16	-201.16	
-5372.00	-256.45	-256.45	-256.45	-256.45	-253.49	-200.78	-200.78	-200.78	
-5469.00	-267.35	-267.35	-267.35	-267.35	-253.90	-200.40	-200.40	-200.40	
-5566.00	-278.25	-278.25	-278.25	-278.25	-254.31	-200.02	-200.02	-200.02	
-5663.00	-289.15	-289.15	-289.15	-289.15	-254.72	-199.64	-199.64	-199.64	
-5760.00	-300.05	-300.05	-300.05	-300.05	-255.13	-199.26	-199.26	-199.26	
-5857.00	-310.95	-310.95	-310.95	-310.95	-255.54	-198.88	-198.88	-198.88	
-5954.00	-321.85	-321.85	-321.85	-321.85	-255.95	-198.50	-198.50	-198.50	
-6051.00	-332.75	-332.75	-332.75	-332.75	-256.36	-198.12	-198.12	-198.12	
-6148.00	-343.65	-343.65	-343.65	-343.65	-256.77	-197.74	-197.74	-197.74	
-6245.00	-354.55	-354.55	-354.55	-354.55	-257.18	-197.36	-197.36	-197.36	
-6342.00	-365.45	-365.45	-365.45	-365.45	-257.59	-196.98	-196.98	-196.98	
-6439.00	-376.35	-376.35	-376.35	-376.35	-258.00	-196.60	-196.60	-196.60	
-6536.00	-387.25	-387.25	-387.25	-387.25	-258.41	-196.22	-196.22	-196.22	
-6633.00	-398.15	-398.15	-398.15	-398.15	-258.82	-195.84	-195.84	-195.84	
-6730.00	-409.05	-409.05	-409.05	-409.05	-259.23	-195.46	-195.46	-195.46	
-6827.00	-419.95	-419.95	-419.95	-419.95	-259.64	-195.08	-195.08	-195.08	
-6924.00	-430.85	-430.85	-430.85	-430.85	-259.05	-194.70	-194.70	-194.70	
-7021.00	-441.75	-441.75	-441.75	-441.75	-259.46	-194.32	-194.32	-194.32	
-7118.00	-452.65	-452.65	-452.65	-452.65	-259.87	-193.94	-193.94	-193.94	
-7215.00	-463.55	-463.55	-463.55	-463.55	-260.28	-193.56	-193.56	-193.56	
-7312.00	-474.45	-474.45	-474.45	-474.45	-260.69	-193.18	-193.18	-193.18	
-7409.00	-485.35	-485.35	-485.35	-485.35	-261.10	-192.80	-192.80	-192.80	
-7506.00	-496.25	-496.25	-496.25	-496.25	-261.51	-192.42	-192.42	-192.42	
-7503.00	-507.15	-507.15	-507.15	-507.15	-261.92	-192.04	-192.04	-192.04	
-7599.00	-518.05	-518.05	-518.05	-518.05	-262.33	-191.66	-191.66	-191.66	
-7696.00	-528.95	-528.95	-528.95	-528.95	-262.74	-191.28	-191.28	-191.28	
-7793.00	-539.85	-539.85	-539.85	-539.85	-263.15	-190.90	-190.90	-190.90	
-7890.00	-550.75	-550.75	-550.75	-550.75	-263.56	-190.52	-190.52	-190.52	
-7987.00	-561.65	-561.65	-561.65	-561.65	-263.97	-190.14	-190.14	-190.14	
-8084.00	-572.55	-572.55	-572.55	-572.55	-264.38	-189.76	-189.76	-189.76	
-8181.00	-583.45	-583.45	-583.45	-583.45	-264.79	-189.38	-189.38	-189.38	
-8278.00	-594.35	-594.35	-594.35	-594.35	-265.20	-188.00	-188.00	-188.00	
-8375.00	-605.25	-605.25	-605.25	-605.25	-265.61	-187.62	-187.62	-187.62	
-8472.00	-616.15	-616.15	-616.15	-616.15	-266.02	-187.24	-187.24	-187.24	
-8569.00	-627.05	-627.05	-627.05	-627.05	-266.43	-186.86	-186.86	-186.86	
-8666.00	-637.95	-637.95	-637.95	-637.95	-266.84	-186.48	-186.48	-186.48	
-8763.00	-648.85	-648.85	-648.85	-648.85	-267.25	-186.10	-186.10	-186.10	
-8860.00	-659.75	-659.75	-659.75	-659.75	-267.66	-185.72	-185.72	-185.72	
-8957.00	-670.65	-670.65	-670.65	-670.65	-268.07	-185.34	-185.34	-185.34	
-9054.00	-681.55	-681.55	-681.55	-681.55	-268.48	-184.96	-184.96	-184.96	
-9151.00	-692.45	-692.45	-692.45	-692.45	-268.89	-184.58	-184.58	-184.58	
-9248.00	-703.35	-703.35	-703.35	-703.35	-269.30	-184.20	-184.20	-184.20	
-9345.00	-714.25	-714.25	-714.25	-714.25	-269.71	-183.82	-183.82	-183.82	
-9442.00	-725.15	-725.15	-725.15	-725.15	-270.12	-183.44	-183.44	-183.44	
-9539.00	-736.05	-736.05	-736.05	-736.05	-270.53	-183.06	-183.06	-183.06	
-9636.00	-746.95	-746.95	-746.95	-746.95	-270.94	-182.68	-182.68	-182.68	
-9733.00	-757.85	-757.85	-757.85	-757.85	-271.35	-182.30	-182.30	-182.30	
-9830.00	-768.75	-768.75	-768.75	-768.75	-271.76	-181.92	-181.92	-181.92	
-9927.00	-779.65	-779.65	-779.65	-779.65	-272.17	-181.54	-181.54	-181.54	
-10024.00	-790.55	-790.55	-790.55	-790.55	-272.58	-181.16	-181.16	-181.16	
-10121.00	-801.45	-801.45	-801.45	-801.45	-273.00	-180.78	-180.78	-180.78	
-10218.00	-812.35	-812.35	-812.35	-812.35	-273.41	-180.40	-180.40	-180.40	
-10315.00	-823.25	-823.25	-823.25	-823.25	-273.82	-180.02	-180.02	-180.02	
-10412.00	-834.15	-834.15	-834.15	-834.15	-274.23	-179.64	-179.64	-179.64	
-10509.00	-845.05	-845.05	-845.05	-845.05	-274.64	-179.26	-179.26	-179.26	
-10596.00	-855.95	-855.95	-855.95	-855.95	-275.05	-178.88	-178.88	-178.88	
-10693.00	-866.85	-866.85	-866.85	-866.85	-275.46	-178.50	-178.50	-178.50	
-10790.00	-877.75	-877.75	-877.75	-877.75	-275.87	-178.12	-178.12	-178.12	
-10887.00	-888.65	-888.65	-888.65	-888.65	-276.28	-177.74	-177.74	-177.74	

TELEGRAMS

TABLA 40 : SENSIBILIDAD AL CAFEÍNA DE VARIOS P/n-HEXANO

CONTAINERS

Zeta REGULARITY

15

ב' ב'

41-1

25-6\*

252

17

三

20-344

16PM FEATURES

TABLEA 41 : SECURIRE COLFILAMENTUL VIEZIAL P/ETILENO

CULT LAGGERS

TERME · ATJA · 3

TABLA 42 : SÍGUEO COEFICIENTE VIRIAL P/ n-OCTANO

Datos experimentales de un diagrama presión-entalpía para n-bu  
tano saturado.

T	P	H LIQ	H VAP
20.0	11.590	-780.2	-613.3
40.0	17.620	-769.1	-606.7
50.0	21.550	-763.5	-603.4
60.0	26.020	-757.9	-600.0
70.0	31.200	-752.2	-596.7
80.0	37.240	-746.6	-593.3
90.0	43.91	-740.8	-590.0
100.0	51.37	-735.0	-586.6
110.0	60.27	-729.1	-583.3
120.0	69.98	-723.2	-580.0
130.0	80.83	-717.2	-576.8
140.0	92.87	-711.1	-573.5
150.0	106.20	-704.9	-570.3
160.0	120.90	-698.7	-567.1
170.0	137.00	-692.3	-563.9
180.0	154.68	-685.8	-560.9
190.0	173.88	-679.2	-557.8
200.0	194.70	-672.4	-554.9
210.0	217.40	-665.5	-552.0
220.0	241.60	-658.3	-549.2
230.0	268.20	-651.0	-546.6
240.0	297.20	-643.4	-544.3
250.0	328.30	-635.5	-542.2
260.0	361.90	-627.2	-540.5
270.0	398.20	-618.2	-539.3
280.0	437.30	-608.3	-538.9
290.0	479.30	-596.0	-540.1
300.0	524.90	-574.1	-546.3

Cp = 4.4, VT = 52.34, TD = 293.25,

LAS VARIABLES DE LA CURVA TIENEN LAS SIGUIENTES UNIDADES:

TEMPERATURA --- GRADOS F  
 P DE VAP -----PSIA  
 VOL LIQ SAT ---PIE CUB/LB  
 VOL VAP SAT ---PIE CUB/LB  
 ENTALPIA DE LIQ ---BTU/LB  
 ENTALPIA DE VAP ---BTU/LB

TEMPERATURA	P DE VAP	V LIQ SAT	V VAP SAT	H LIQ	H VAP	DH DE VAP.
240.00	11.317	1.6523	457.32	-783.89	-614.57	169.32
232.833	13.423	1.6693	378.12	-778.46	-611.10	162.36
225.667	15.529	1.6863	311.21	-772.97	-607.01	155.32
218.500	17.635	1.7033	257.60	-767.41	-604.00	148.22
211.333	19.741	1.7213	217.61	-761.78	-600.56	141.22
204.167	21.847	1.7407	183.36	-756.07	-597.41	134.00
197.000	23.953	1.7596	155.00	-750.28	-593.44	126.84
190.833	26.059	1.7783	133.23	-744.41	-589.87	119.54
183.667	28.165	1.7973	111.44	-738.46	-586.29	112.16
176.500	30.271	1.8162	91.76	-732.41	-582.72	104.69
170.333	32.377	1.8352	75.619	-726.27	-579.15	97.11
163.167	34.483	1.8542	61.452	-720.03	-575.61	89.42
156.000	36.589	1.8733	51.064	-713.68	-572.09	81.60
149.833	38.695	1.8925	57.023	-707.22	-568.57	73.53
142.667	40.801	1.9113	51.108	-700.66	-565.11	65.53
135.500	42.907	1.9302	44.174	-694.93	-561.70	57.24
128.333	45.013	1.9491	31.990	-687.09	-558.37	48.72
121.167	47.119	1.9683	34.404	-680.10	-555.03	40.02
114.000	49.225	1.9872	31.467	-672.95	-551.92	31.05
106.833	51.331	2.0062	26.942	-665.62	-548.85	21.78
100.667	53.437	2.0253	21.344	-658.15	-545.93	14.216
93.500	55.543	2.0442	21.079	-650.34	-543.26	10.714
86.333	57.649	2.0632	19.507	-642.32	-540.70	101.62
79.167	59.755	2.0822	16.352	-635.94	-538.49	93.180
72.000	61.861	2.1010	14.310	-625.24	-535.67	88.376
64.833	63.967	2.1202	12.443	-615.57	-533.33	81.641
57.667	66.073	2.1393	11.412	-605.94	-531.97	71.973
50.500	68.179	2.1581	3.334	-604.64	-530.85	58.795
43.333	70.285	2.1769	3.012	-592.55	-530.65	40.901
36.167	72.391	2.1957	4.9222	-554.31	-551.10	2.910
29.000	74.497	2.2145	3.6906	-519.67	-519.67	-2.6151E-02
21.833	76.603	2.2331	11.941	-503.24	-503.19	-4.7225E-01

68

Tabla 43 : n-BUTANO: Ecuación COR

C., 3.2564, V11, 12.041, TD4, 207.57,

LAS VARIABLES DE LA CURVA TIENEN LAS SIGUIENTES UNIDADES:  
 T DE TEMPERATURA --- GRADOS F  
 P DE VAP -----PSIA  
 PDL LIA SAT ---PIE CUB/LB  
 PDL VAP SAT ---PIE CUB/LB  
 DITALPIA DE LIA --- BTU/LB  
 DITALPIA DE VAP ---BTU/LB

TEMPERATURA	P DE VAP	V LIQ SAT	V VAP SAT	H LIQ	H VAP	DH DE VAP
20.000	12.711	1.3727	447.90	-781.02	-614.62	166.40
30.000	11.223	1.3923	367.62	-775.62	-611.16	144.54
40.000	10.234	1.3955	301.06	-770.52	-617.67	162.53
50.000	9.231	1.3955	253.79	-764.72	-604.15	160.57
60.000	8.229	1.3747	213.43	-759.15	-600.62	159.54
70.000	7.226	1.3607	180.61	-753.51	-597.06	156.44
80.000	6.226	1.3306	153.69	-747.79	-593.50	154.29
90.000	5.221	1.3112	131.66	-741.98	-589.94	152.05
100.000	4.221	1.3023	111.15	-736.09	-586.34	149.75
110.000	3.221	1.3014	94.84	-730.11	-582.76	147.35
120.000	2.221	1.3692	35.167	-724.04	-579.19	144.85
130.000	1.220	1.3645	24.262	-717.97	-575.63	142.23
140.000	1.220	1.3295	16.972	-711.59	-572.00	139.51
150.000	1.220	1.2410	12.049	-705.21	-568.57	136.64
160.000	1.220	1.2073	9.224	-698.71	-565.09	133.63
170.000	1.220	1.1111	4.4310	-692.70	-561.65	130.44
180.000	1.220	1.0446	39.111	-685.34	-558.29	127.15
190.000	1.220	1.0813	34.958	-678.44	-554.98	123.46
200.000	1.220	1.1313	30.123	-671.39	-551.70	119.63
210.000	2.212	1.1667	27.237	-664.16	-548.66	115.50
220.000	2.212	1.2143	24.141	-656.75	-545.76	111.05
230.000	2.212	1.2695	21.376	-649.12	-542.91	106.21
240.000	2.212	1.3116	18.891	-641.23	-541.34	101.89
250.000	2.212	1.4035	16.562	-633.04	-538.05	94.992
260.000	2.212	1.4349	14.593	-624.48	-536.42	88.555
270.000	2.212	1.5239	12.720	-615.41	-534.65	80.759
280.000	2.212	1.5793	10.901	-607.65	-534.17	71.149
290.000	2.212	1.6077	9.1564	-594.75	-534.69	64.057
300.000	2.212	1.6495	7.3689	-581.44	-537.74	43.218
310.000	2.212	1.6721	4.9965	-557.03	-550.24	6.791
320.000	2.212	1.7052	8.1959	-521.96	-521.96	-22913E-02
330.000	2.212	11.466	11.489	-504.54	-514.4	.88596E-01

06

Tabla 44 : n-BUTANO. Forma 1

C<sub>4</sub>, 3.2364, V<sub>12</sub>, 47.777, T<sub>02</sub>, 297.57,

LAS VARIABLES DE LA CURVA TIENEN LAS SIGUIENTES UNIDADES:

TEMPERATURA --- GRADOS F  
 P DE VAP --- PSIA  
 VOL LIQ SAT --- PTE CUB/LB  
 VOL VAP SAT --- PTE CUB/LB  
 ENALPIA DE LIQ --- BTU/LB  
 ENALPIA DE VAP --- BTU/LB

TEMPERATURA	P DE VAP	V LIQ SAT	V VAP SAT	H LIQ	H VAP	RH DE VAP
20.000	12.721	1.5620	420.53	-781.02	-614.62	166.40
30.000	12.332	1.5854	345.16	-775.65	-611.16	164.50
40.000	12.012	1.6015	235.52	-770.25	-607.67	162.55
50.000	11.721	1.6181	238.38	-764.75	-604.15	160.57
60.000	11.432	1.6353	210.39	-759.15	-600.62	158.54
70.000	11.172	1.6532	159.59	-753.54	-597.06	156.44
80.000	10.921	1.6713	144.20	-747.78	-593.50	154.28
90.000	10.671	1.6901	123.62	-741.98	-589.92	152.05
100.000	10.431	1.7115	106.23	-736.09	-586.34	149.75
110.000	10.201	1.7327	92.054	-730.11	-582.76	147.45
120.000	9.981	1.7537	79.966	-724.04	-579.19	144.85
130.000	9.761	1.7745	69.669	-717.87	-575.62	142.24
140.000	9.541	1.8033	61.003	-711.59	-572.00	139.51
150.000	9.331	1.8296	53.564	-705.21	-568.57	136.64
160.000	9.121	1.8557	43.153	-698.71	-565.09	133.63
170.000	8.921	1.8875	41.603	-692.79	-561.65	130.44
180.000	8.721	1.9217	36.722	-685.34	-558.20	127.05
190.000	8.521	1.9544	32.541	-678.44	-554.99	123.46
200.000	8.331	1.9922	28.846	-671.39	-551.76	119.63
210.000	8.141	2.0336	25.573	-664.16	-548.66	115.57
220.000	7.961	2.0725	22.566	-656.76	-545.70	111.05
230.000	7.781	2.1109	20.070	-649.12	-542.91	106.21
240.000	7.611	2.1493	17.717	-641.24	-540.34	100.89
250.000	7.441	2.1863	15.625	-633.04	-538.62	94.99
260.000	7.271	2.2248	13.762	-626.48	-536.12	88.35
270.000	7.111	2.2634	11.943	-619.41	-534.65	81.35
280.000	6.951	2.3020	10.226	-612.65	-534.10	71.24
290.000	6.791	2.3404	9.5970	-596.75	-534.69	60.05
300.000	6.641	2.3791	6.9182	-581.44	-537.92	43.718
310.000	6.491	2.4179	4.6914	-557.03	-550.24	6.7969
320.000	6.341	2.4552	2.4948	-521.96	-521.06	-22838L-02
330.000	6.201	2.4924	10.787	-504.54	-504.45	-8862L-01

C., 1.2704, V.D., 77.156, T.D., 297.57,

LAS VARIABLES DE LA CURVA TIENEN LAS SIGUIENTES UNIDADES:

TEMPERATURA --- GRADOS F

P.D.E. VAP -----PSIA

V.LIQ. SAT --- DEG CUB/LB

V.VAP. SAT --- PSIC. CUB/LB

SITALPIA DE LIQ. --- ATU/LB

SITALPIA DE VAP. --- ATU/LB

TEMPERATURA	P.D.E. VAP	V.LIQ. SAT	V.VAP. SAT	H.LIQ.	H.VAP	DH DE VAP
20.000	11.237	1.3757	447.73	-781.02	-614.62	156.40
20.000	14.214	1.6910	369.35	-775.65	-611.16	164.56
20.000	17.192	1.7600	304.60	-776.22	-607.67	162.55
20.000	20.170	1.7453	254.30	-764.72	-604.15	160.57
20.000	23.148	1.7451	213.85	-750.15	-600.63	158.54
20.000	27.126	1.7342	181.97	-753.51	-597.06	156.44
20.000	31.104	1.7341	153.93	-747.78	-593.50	154.28
20.000	37.082	1.7343	131.92	-741.98	-589.97	152.15
20.000	44.060	1.7322	113.58	-736.40	-586.74	149.75
20.000	52.038	1.7421	91.33	-730.11	-583.76	147.35
20.000	61.016	1.7220	75.35	-724.04	-579.70	144.85
20.000	71.994	1.7081	74.349	-717.87	-575.67	142.23
20.000	83.972	1.7244	65.101	-711.50	-572.09	139.51
20.000	96.950	1.7321	55.162	-705.21	-568.27	134.64
20.000	110.928	1.7324	50.321	-699.71	-565.09	133.63
20.000	125.906	1.7043	44.393	-692.00	-561.65	130.44
20.000	141.884	1.6636	39.189	-685.34	-558.20	127.16
20.000	158.862	1.6357	34.737	-678.44	-554.98	123.46
20.000	176.840	1.6260	30.733	-671.30	-551.76	119.63
20.000	195.818	1.7003	27.221	-664.16	-548.60	116.50
20.000	215.796	1.6403	24.189	-656.75	-545.70	113.05
20.000	236.774	1.7241	21.413	-649.12	-542.01	109.21
20.000	258.752	1.6162	18.923	-641.23	-541.34	106.89
20.000	281.730	1.6083	16.575	-633.04	-538.09	94.992
20.000	305.708	1.6030	14.622	-624.48	-536.12	88.455
20.000	330.686	1.5990	12.725	-615.41	-534.65	81.755
20.000	356.664	1.5947	10.913	-605.65	-534.16	71.640
20.000	383.642	1.5867	9.1745	-594.75	-534.69	60.057
20.000	411.620	1.5550	7.3835	-581.44	-537.70	43.718
20.000	440.598	1.6110	5.0050	-557.03	-550.26	6.7908
20.000	470.576	1.5110	3.2105	-521.97	-521.97	0.29981
20.000	501.554	1.41477	1.1470	-504.54	-504.46	-0.87421

Tabla 46 : n-BUTANO. Forma 3

LAS VARIACIONES DE LA CURVA TIENE LAS SIGUIENTES UNIDADES:  
 TEMPERATURA --- GRADOS F  
 P DE VAP ----- PSIA  
 V/LIQUID SAT --- PES CUR/LB  
 V/LVAP SAT --- PES CUD/LB  
 ENTALPIA DE LIQ --- BTU/LB  
 ENTALPIA DE VAP --- BTU/LB

TEMPERATURA	P DE VAP	V LIQ SAT	V VAP SAT	H LIQ	H VAP	DH DE VAP
20.000	12.111	1.03723	444.15	-780.52	-614.63	165.89
21.000	12.321	1.03921	444.75	-775.17	-611.69	154.00
22.000	12.531	1.04034	441.87	-769.75	-607.69	162.36
23.000	12.741	1.04241	433.17	-764.26	-604.17	160.09
24.000	12.951	1.04448	423.02	-758.59	-600.63	158.26
25.000	13.161	1.04654	412.56	-753.6	-597.08	155.98
26.000	13.371	1.04854	402.34	-747.34	-593.51	153.83
27.000	13.581	1.05052	391.00	-741.55	-589.94	151.61
28.000	13.791	1.05249	379.83	-735.6	-586.36	149.41
29.000	13.991	1.05446	377.66	-729.70	-582.73	146.92
30.000	14.191	1.05632	34.331	-723.64	-579.20	144.44
31.000	14.391	1.05827	21.214	-717.48	-575.64	141.83
32.000	14.591	1.06021	6.753	-711.22	-572.10	139.12
33.000	14.791	1.06211	33.378	-704.84	-568.58	136.37
34.000	14.991	1.06403	50.135	-698.36	-565.09	133.27
35.000	15.191	1.06593	46.202	-691.75	-561.66	130.09
36.000	15.391	1.06783	30.026	-685.01	-558.29	126.79
37.000	15.591	1.06972	31.593	-679.12	-554.99	123.15
38.000	15.791	1.07159	30.571	-674.08	-551.76	120.47
39.000	15.991	1.07346	17.198	-667.97	-548.55	116.22
40.000	16.191	1.07532	24.112	-661.47	-545.33	113.79
41.000	16.391	1.07719	21.355	-654.86	-542.99	110.97
42.000	16.591	1.07905	13.376	-648.99	-540.41	108.68
43.000	16.791	1.08087	12.633	-642.92	-538.01	106.87
44.000	16.991	1.08272	14.338	-636.36	-536.08	105.21
45.000	17.191	1.08454	12.719	-630.24	-534.60	103.64
46.000	17.391	1.08634	11.992	-625.51	-534.07	101.474
47.000	17.591	1.08815	2.1603	-594.64	-534.60	100.041
48.000	17.791	1.09005	2.3786	-581.39	-537.57	93.816
49.000	17.991	1.09193	4.0693	-557.17	-530.13	7.0145
50.000	18.191	1.09384	8.1489	-522.11	-522.11	-21976F-02
51.000	18.391	1.09571	11.4442	-504.02	-504.51	-03274F-11

CE, 0.046, 77, 10.732, TD, 222.21,

LAS VARIACIONES DE LA CURVA TITRISI LAS SIGUIENTES UNI. DADES:

TEMPERATURA --- GRADOS C  
HUMIDAD --- %  
VOL VAP SAT --- PDE CUR/LU  
VOL VAP SAT --- PDE CUR/LU  
TITULIA DE LIQ --- TITULIA  
TITULIA DE VAP --- TITULIA

TEMPERATURA	P DE VAP	V LIQ SAT	V VAP SAT	H LIQ	H VAP	RH DE VAP
23.000	1.	1.771	1.771.41	-700.52	-614.63	162.79
23.022	1.	1.772	1.772.29	-725.17	-614.17	164.16
23.044	1.	1.773	1.773.75	-750.25	-517.82	165.16
23.066	1.	1.774	1.774.26	-764.26	-604.17	160.09
23.088	1.	1.775	1.775.22	-758.60	-500.63	159.35
23.110	1.	1.776	1.776.75	-783.06	-599.03	155.78
23.132	1.	1.777	1.777.54	-747.34	-503.51	153.83
23.154	1.	1.778	1.778.11	-741.51	-509.04	154.41
23.176	1.	1.779	1.779.13	-775.62	-504.70	153.31
23.200	1.	1.780	21.746	-729.70	-592.79	146.92
23.222	1.	1.782	20.724	-723.64	-579.2	144.44
23.244	1.	1.783	19.433	-717.49	-575.34	141.83
23.266	1.	1.784	19.360	-711.22	-572.1	139.12
23.288	1.	1.785	19.298	-706.84	-568.55	137.24
23.310	1.	1.787	19.238	-698.39	-565.09	133.27
23.332	1.	1.788	19.178	-691.75	-561.66	130.09
23.354	1.	1.789	19.117	-635.71	-558.39	124.71
23.376	1.	1.791	19.059	-678.12	-554.98	121.15
23.400	1.	1.793	19.002	-671.03	-551.78	119.34
23.422	1.	1.794	18.941	-663.87	-548.45	115.22
23.444	1.	1.795	18.881	-656.47	-545.33	110.79
23.466	1.	1.797	18.820	-648.86	-542.99	105.97
23.488	1.	1.799	18.760	-641.90	-541.31	101.46
23.510	1.	1.802	18.700	-572.32	-539.01	94.807
23.532	1.	1.803	18.641	-624.28	-530.12	83.361
23.554	1.	1.805	18.581	-517.34	-534.41	91.064
23.576	1.	1.807	18.523	-505.71	-534.13	71.474
23.600	1.	1.809	18.464	-504.64	-534.60	60.041
23.622	1.	1.812	18.404	-581.39	-537.57	43.812
23.644	1.	1.815	18.341	-557.17	-530.16	7.0155
23.666	1.	1.817	18.277	-522.17	-522.12	-514.89E-1
23.688	1.	1.820	18.211	-524.24	-514.53	-524.16E-1

Tabla 48 : n-BUTANO. Forma 5

Ge, 7.163, Vap, Tl, Lq, Tdp, 223.00

LAS VARIABLES DE LA CURVA TIENEN LAS SIGUIENTES UNIDADES:

TEMPERATURA --- GRADOS C  
 PRES VAP --- MMHG  
 PRES SAT --- MMHG CHD/LG  
 PRES SAT --- MMHG CHD/LB  
 DENSIDAD DE LIQ --- DTU/LB  
 DENSIDAD DE VAP --- DTU/LB

95

TEMPERATURA	PRES VAP	V LIQ SAT	V PRES SAT	H LIQ	H PRES	CH DE VAP
20.000	12.311	1.1723	445.04	-730.52	-614.63	162.99
22.000	13.303	1.1593	431.40	-725.17	-611.17	164.01
24.000	14.295	1.1575	422.43	-719.73	-607.63	162.09
26.000	15.287	1.1555	413.53	-714.26	-604.17	160.09
28.000	16.279	1.1535	404.51	-708.69	-600.61	159.09
30.000	17.271	1.1515	395.52	-703.06	-597.06	155.09
32.000	18.263	1.1495	386.51	-707.34	-593.51	153.09
34.000	19.255	1.1475	377.50	-711.55	-589.94	151.09
36.000	20.247	1.1455	368.50	-715.67	-586.30	149.09
38.000	21.239	1.1435	359.51	-719.70	-582.70	146.09
40.000	22.231	1.1415	350.53	-723.64	-579.20	144.09
42.000	23.223	1.1395	341.53	-717.48	-575.64	141.83
44.000	24.215	1.1375	332.52	-711.22	-572.10	139.12
46.000	25.207	1.1355	323.52	-704.94	-568.59	136.27
48.000	26.199	1.1335	314.50	-698.36	-565.09	133.27
50.000	27.191	1.1315	305.50	-691.75	-561.56	130.09
52.000	28.183	1.1295	296.50	-685.01	-558.99	126.71
54.000	29.175	1.1275	287.50	-678.12	-554.98	123.15
56.000	30.167	1.1255	278.50	-671.03	-551.78	119.33
58.000	31.159	1.1235	269.50	-663.82	-548.65	115.22
60.000	32.151	1.1215	260.50	-656.47	-545.63	110.76
62.000	33.143	1.1195	251.50	-648.86	-542.89	105.97
64.000	34.135	1.1175	242.50	-641.09	-540.31	101.48
66.000	35.127	1.1155	233.50	-632.82	-538.04	96.80
68.000	36.119	1.1135	224.50	-624.26	-536.08	91.20
70.000	37.111	1.1115	215.50	-615.24	-534.00	86.24
72.000	38.103	1.1095	206.50	-605.51	-534.04	81.47
74.000	39.095	1.1075	197.50	-596.64	-534.50	76.04
76.000	40.087	1.1055	188.50	-587.49	-533.57	71.81
78.000	41.079	1.1035	179.50	-578.17	-532.40	67.42
80.000	42.071	1.1015	170.50	-569.12	-532.12	62.84
82.000	43.063	1.0995	161.50	-560.43	-530.43	58.07
84.000	44.055	1.0975	152.50	-551.99	-529.12	53.24
86.000	45.047	1.0955	143.50	-543.69	-527.91	48.41
88.000	46.039	1.0935	134.50	-535.51	-526.72	43.58
90.000	47.031	1.0915	125.50	-527.44	-525.52	38.74
92.000	48.023	1.0895	116.50	-519.49	-524.32	33.91
94.000	49.015	1.0875	107.50	-511.59	-523.12	29.07
96.000	50.007	1.0855	98.50	-503.73	-521.91	24.24
98.000	51.000	1.0835	89.50	-496.90	-520.71	19.41
100.000	52.000	1.0815	80.50	-490.10	-519.51	14.58
102.000	53.000	1.0795	71.50	-483.34	-518.31	9.74
104.000	54.000	1.0775	62.50	-476.61	-517.11	4.90
106.000	55.000	1.0755	53.50	-470.01	-515.91	0.07
108.000	56.000	1.0735	44.50	-463.44	-514.71	-0.20
110.000	57.000	1.0715	35.50	-456.90	-513.51	-0.44
112.000	58.000	1.0695	26.50	-450.40	-512.31	-0.68
114.000	59.000	1.0675	17.50	-443.94	-511.11	-0.92
116.000	60.000	1.0655	8.50	-437.51	-510.01	-1.16
118.000	61.000	1.0635	-1.50	-431.11	-508.91	-1.40
120.000	62.000	1.0615	-10.50	-424.74	-507.81	-1.64
122.000	63.000	1.0595	-21.50	-418.40	-506.71	-1.88
124.000	64.000	1.0575	-32.50	-412.10	-505.61	-2.12
126.000	65.000	1.0555	-43.50	-405.80	-504.51	-2.36
128.000	66.000	1.0535	-54.50	-400.54	-503.41	-2.60
130.000	67.000	1.0515	-65.50	-395.30	-502.31	-2.84
132.000	68.000	1.0495	-76.50	-390.09	-501.21	-3.08
134.000	69.000	1.0475	-87.50	-384.90	-500.11	-3.32
136.000	70.000	1.0455	-98.50	-379.74	-499.01	-3.56
138.000	71.000	1.0435	-109.50	-374.60	-497.91	-3.80
140.000	72.000	1.0415	-120.50	-369.49	-496.81	-4.04
142.000	73.000	1.0395	-131.50	-364.39	-495.71	-4.28
144.000	74.000	1.0375	-142.50	-359.30	-494.61	-4.52
146.000	75.000	1.0355	-153.50	-354.24	-493.51	-4.76
148.000	76.000	1.0335	-164.50	-349.19	-492.41	-5.00
150.000	77.000	1.0315	-175.50	-344.15	-491.31	-5.24
152.000	78.000	1.0295	-186.50	-339.12	-490.21	-5.48
154.000	79.000	1.0275	-197.50	-334.10	-489.11	-5.72
156.000	80.000	1.0255	-208.50	-329.08	-488.01	-6.06
158.000	81.000	1.0235	-219.50	-324.07	-486.91	-6.30
160.000	82.000	1.0215	-230.50	-319.06	-485.81	-6.54
162.000	83.000	1.0195	-241.50	-314.05	-484.71	-6.78
164.000	84.000	1.0175	-252.50	-309.04	-483.61	-7.02
166.000	85.000	1.0155	-263.50	-304.03	-482.51	-7.26
168.000	86.000	1.0135	-274.50	-299.02	-481.41	-7.50
170.000	87.000	1.0115	-285.50	-294.01	-480.31	-7.74
172.000	88.000	1.0095	-296.50	-289.00	-479.21	-8.00
174.000	89.000	1.0075	-307.50	-284.00	-478.11	-8.24
176.000	90.000	1.0055	-318.50	-279.00	-477.01	-8.48
178.000	91.000	1.0035	-329.50	-274.00	-475.91	-8.72
180.000	92.000	1.0015	-340.50	-269.00	-474.81	-9.00
182.000	93.000	1.0000	-351.50	-264.00	-473.71	-9.24
184.000	94.000	1.0000	-362.50	-259.00	-472.61	-9.48
186.000	95.000	1.0000	-373.50	-254.00	-471.51	-9.72
188.000	96.000	1.0000	-384.50	-249.00	-470.41	-10.00
190.000	97.000	1.0000	-395.50	-244.00	-469.31	-10.24
192.000	98.000	1.0000	-406.50	-239.00	-468.21	-10.48
194.000	99.000	1.0000	-417.50	-234.00	-467.11	-10.72
196.000	100.000	1.0000	-428.50	-229.00	-466.01	-11.00
198.000	101.000	1.0000	-439.50	-224.00	-464.91	-11.24
200.000	102.000	1.0000	-450.50	-219.00	-463.81	-11.48
202.000	103.000	1.0000	-461.50	-214.00	-462.71	-11.72
204.000	104.000	1.0000	-472.50	-209.00	-461.61	-12.00
206.000	105.000	1.0000	-483.50	-204.00	-460.51	-12.24
208.000	106.000	1.0000	-494.50	-199.00	-459.41	-12.48
210.000	107.000	1.0000	-505.50	-194.00	-458.31	-12.72
212.000	108.000	1.0000	-516.50	-189.00	-457.21	-13.00
214.000	109.000	1.0000	-527.50	-184.00	-456.11	-13.24
216.000	110.000	1.0000	-538.50	-179.00	-455.01	-13.48
218.000	111.000	1.0000	-549.50	-174.00	-453.91	-13.72
220.000	112.000	1.0000	-560.50	-169.00	-452.81	-14.00
222.000	113.000	1.0000	-571.50	-164.00	-451.71	-14.24
224.000	114.000	1.0000	-582.50	-159.00	-450.61	-14.48
226.000	115.000	1.0000	-593.50	-154.00	-449.51	-14.72
228.000	116.000	1.0000	-604.50	-149.00	-448.41	-15.00

Tabla 49 : n-BUTANO. Forma 6

LAS VARIABLES DE LA CURVA TIENEN LAS SIGUIENTES UNIDADES:

TEMPERATURA --- °K

VAPOR SAT --- MMHg

VAPOR SAT --- MOLES/CUB/LG

TITULADA DE LIO --- TITUL/LG

TITULADA DE VAP --- TITUL/LG

TEMPERATURA	P DE VAP	V LIO SAT	V VAP SAT	H LIO	H VAP	DH DE VAP
20.000	11.477	1.5373	458.92	-783.72	-614.37	169.16
20.001	11.477	1.5372	457.53	-773.41	-611.50	167.21
20.002	11.477	1.5371	456.43	-762.42	-607.86	165.22
20.003	11.477	1.5371	455.40	-751.65	-604.09	163.19
20.004	11.477	1.5371	454.43	-741.02	-600.36	161.10
20.005	11.477	1.5371	453.53	-730.50	-597.04	158.25
20.006	11.477	1.5371	452.63	-720.09	-593.46	156.75
20.007	11.477	1.5371	451.76	-710.72	-589.80	154.47
20.008	11.477	1.5371	450.93	-701.41	-586.20	152.10
20.009	11.477	1.5371	450.13	-692.11	-582.60	149.64
20.010	11.477	1.5371	449.33	-682.81	-579.00	147.06
20.011	11.477	1.5371	448.53	-673.51	-575.52	144.41
20.012	11.477	1.5371	447.73	-664.21	-572.04	141.81
20.013	11.477	1.5371	447.00	-654.91	-568.56	139.50
20.014	11.477	1.5371	446.26	-645.61	-565.08	137.32
20.015	11.477	1.5371	445.53	-636.31	-561.60	135.32
20.016	11.477	1.5371	444.80	-627.01	-558.12	132.84
20.017	11.477	1.5371	444.07	-617.71	-554.66	129.17
20.018	11.477	1.5371	443.33	-608.41	-551.20	126.24
20.019	11.477	1.5371	442.60	-599.03	-547.74	123.74
20.020	11.477	1.5371	441.87	-589.62	-544.28	121.45
20.021	11.477	1.5371	441.13	-580.22	-540.83	119.48
20.022	11.477	1.5371	440.40	-570.80	-537.36	117.60
20.023	11.477	1.5371	439.67	-561.38	-533.90	115.80
20.024	11.477	1.5371	438.93	-551.96	-530.44	114.06
20.025	11.477	1.5371	438.20	-542.54	-526.98	112.36
20.026	11.477	1.5371	437.47	-533.12	-523.52	110.70
20.027	11.477	1.5371	436.73	-523.69	-519.96	109.06
20.028	11.477	1.5371	436.00	-514.27	-516.39	107.43
20.029	11.477	1.5371	435.26	-504.84	-512.83	105.77
20.030	11.477	1.5371	434.53	-495.41	-509.26	104.12
20.031	11.477	1.5371	433.79	-485.98	-505.69	102.46
20.032	11.477	1.5371	433.05	-476.55	-502.09	100.79
20.033	11.477	1.5371	432.32	-467.12	-501.43	99.13
20.034	11.477	1.5371	431.58	-457.69	-498.76	97.47
20.035	11.477	1.5371	430.84	-448.26	-496.08	95.80
20.036	11.477	1.5371	430.10	-438.83	-493.40	94.13
20.037	11.477	1.5371	429.36	-429.40	-490.72	92.46
20.038	11.477	1.5371	428.62	-419.97	-488.04	90.77
20.039	11.477	1.5371	427.87	-410.54	-485.36	89.10
20.040	11.477	1.5371	427.13	-401.11	-482.68	87.41
20.041	11.477	1.5371	426.38	-391.68	-479.99	85.74
20.042	11.477	1.5371	425.63	-382.25	-477.31	84.06
20.043	11.477	1.5371	424.88	-372.82	-474.63	82.38
20.044	11.477	1.5371	424.13	-363.39	-471.95	80.69
20.045	11.477	1.5371	423.38	-353.96	-469.27	79.00
20.046	11.477	1.5371	422.63	-344.53	-466.59	77.31
20.047	11.477	1.5371	421.88	-335.10	-463.91	75.62
20.048	11.477	1.5371	421.13	-325.67	-461.23	73.93
20.049	11.477	1.5371	420.38	-316.24	-458.55	72.24
20.050	11.477	1.5371	419.63	-306.81	-455.87	70.55
20.051	11.477	1.5371	418.88	-297.38	-453.19	68.86
20.052	11.477	1.5371	418.13	-287.95	-450.51	67.17
20.053	11.477	1.5371	417.38	-278.52	-447.83	65.47
20.054	11.477	1.5371	416.63	-269.09	-445.15	63.77
20.055	11.477	1.5371	415.88	-259.66	-442.47	62.07
20.056	11.477	1.5371	415.13	-250.23	-439.79	60.38
20.057	11.477	1.5371	414.38	-240.80	-437.11	58.69
20.058	11.477	1.5371	413.63	-231.37	-434.43	57.00
20.059	11.477	1.5371	412.88	-221.94	-431.75	55.31
20.060	11.477	1.5371	412.13	-212.51	-429.07	53.62
20.061	11.477	1.5371	411.38	-203.08	-426.39	51.93
20.062	11.477	1.5371	410.63	-193.65	-423.71	50.24
20.063	11.477	1.5371	409.88	-184.22	-421.03	48.55
20.064	11.477	1.5371	409.13	-174.79	-418.35	46.86
20.065	11.477	1.5371	408.38	-165.36	-415.67	45.17
20.066	11.477	1.5371	407.63	-155.93	-412.99	43.48
20.067	11.477	1.5371	406.88	-146.50	-410.31	41.79
20.068	11.477	1.5371	406.13	-137.07	-407.63	40.10
20.069	11.477	1.5371	405.38	-127.64	-404.95	38.41
20.070	11.477	1.5371	404.63	-118.21	-402.27	36.72
20.071	11.477	1.5371	403.88	-108.78	-401.00	35.03
20.072	11.477	1.5371	403.13	-99.35	-398.32	33.34
20.073	11.477	1.5371	402.38	-89.92	-395.64	31.65
20.074	11.477	1.5371	401.63	-80.49	-392.96	30.00
20.075	11.477	1.5371	400.88	-71.06	-390.28	28.31
20.076	11.477	1.5371	400.13	-61.63	-387.60	26.62
20.077	11.477	1.5371	399.38	-52.20	-384.92	25.00
20.078	11.477	1.5371	398.63	-42.77	-382.24	23.31
20.079	11.477	1.5371	397.88	-33.34	-379.56	21.62
20.080	11.477	1.5371	397.13	-23.91	-376.88	20.00
20.081	11.477	1.5371	396.38	-14.48	-374.20	18.31
20.082	11.477	1.5371	395.63	-4.05	-371.52	16.62
20.083	11.477	1.5371	394.88	-107.39	-368.84	15.00
20.084	11.477	1.5371	394.13	-207.07	-366.16	13.31
20.085	11.477	1.5371	393.38	-306.75	-363.48	11.62
20.086	11.477	1.5371	392.63	-406.43	-360.80	10.00
20.087	11.477	1.5371	391.88	-506.11	-358.12	8.31
20.088	11.477	1.5371	391.13	-605.79	-355.44	6.62
20.089	11.477	1.5371	390.38	-705.47	-352.76	5.00
20.090	11.477	1.5371	389.63	-805.15	-350.08	3.31
20.091	11.477	1.5371	388.88	-904.83	-347.40	1.62
20.092	11.477	1.5371	388.13	-1004.51	-344.72	.00

Table 50 : n-BUTANO. Forma 7

Datos experimentales de un diagrama presión-entalpia para metano saturado.

T	P	H LIQ	H VAP
-258.7	14.696	-1915.4	-1697.0
-250.0	21.710	-1907.9	-1693.7
-240.0	32.400	-1899.2	-1690.1
-230.0	46.400	-1890.3	-1686.8
-220.0	64.500	-1881.3	-1683.9
-210.0	87.600	-1872.6	-1681.4
-200.0	115.700	-1863.1	-1679.4
-190.0	150.000	-1853.6	-1677.8
-180.0	191.500	-1844.0	-1676.9
-170.0	240.000	-1833.9	-1676.6
-160.0	297.000	-1823.3	-1677.2
-150.0	364.000	-1811.8	-1679.1
-140.0	440.000	-1799.1	-1682.5
-130.0	527.000	-1784.2	-1688.5
-120.0	627.000	-1764.0	-1701.1

estos datos se pueden comparar con los calculados en las tablas de la 52 a la 59.

LOS DATOS DE LA CURVA TIENEN LAS SIGUIENTES UNIDADES:

TEMPERATURA --- GRADOS F  
-400.000 - 200.000  
DE VAP SAT --- PIE. CUB/LD  
DE VAP SAT CORRECTO CUB/LD  
TITULPIA DE LIQ --- PTD/LD  
TITULPIA DE VAP --- PTU/LD

TEMPERATURA	P DE VAP	V LIQ SAT	V VAP SAT	H LIQ	H VAP	PH DE VAP
-200.00	14.147	2.3624	571.59	-1014.2	-1622.3	221.98
-190.00	21.223	2.3156	531.47	-1906.5	-1689.4	217.11
-180.00	32.273	2.4654	534.26	-1896.0	-1686.7	212.05
-170.00	43.223	2.6211	532.46	-1890.9	-1684.2	205.69
-160.00	54.773	2.8077	530.21	-1887.9	-1681.9	201.95
-150.00	71.223	2.9453	524.46	-1876.6	-1579.0	194.74
-140.00	112.14	2.7193	72.979	-1866.1	-1572.2	187.96
-130.00	171.34	2.4313	52.854	-1857.3	-1576.9	180.42
-120.00	222.43	2.1073	43.542	-1848.1	-1574.2	171.91
-110.00	251.23	1.7683	33.125	-1838.3	-1576.2	162.19
-100.00	270.23	1.4373	30.050	-1827.3	-1577.3	156.51
-90.00	270.23	1.0757	27.454	-1816.3	-1579.9	136.54
-80.00	241.33	1.0427	27.237	-1802.9	-1685.1	117.94
-70.00	151.23	1.0264	12.979	-1785.3	-1694.0	91.859

Tabla 52 : METANO. Ecuación COR

LAS VARIABLES DE LA CURVA TIENEN LAS SIGUIENTES UNIDADES:

TEMPERATURA ---GRADOS F  
 PRES VAP -----PSIA  
 VOL LIQ SAT ---PIE CUB/LB  
 VOL VAP SAT ---PIE CUB/LB  
 ENTALPIA DE LIQ ---BTU/LB  
 ENTALPIA DE VAP ---BTU/LB

TEMPERATURA	P DE VAP	V LIQ SAT	V VAP SAT	H LIQ	H VAP	DH DE VAP
-260.00	15.157	2.7732	732.63	-1906.4	-1692.4	213.98
-250.00	27.217	2.7734	362.61	-1899.2	-1689.5	209.71
-240.00	51.117	2.4312	253.64	-1897.0	-1684.8	215.28
-230.00	10.177	2.4126	187.74	-1884.6	-1634.1	200.43
-220.00	55.717	2.5733	136.43	-1877.4	-1691.7	195.33
-210.00	12.777	2.5922	103.76	-1869.2	-1670.4	199.95
-200.00	117.57	2.5664	79.060	-1851.2	-1677.4	193.97
-190.00	171.77	2.7417	62.709	-1853.0	-1675.7	177.28
-180.00	121.54	2.0262	49.638	-1844.3	-1674.5	169.87
-170.00	271.22	2.2743	32.554	-1835.2	-1673.8	161.39
-160.00	226.74	2.1617	21.346	-1825.5	-1674.0	171.48
-150.00	771.11	3.1265	20.060	-1815.0	-1675.4	139.56
-140.00	471.71	3.3734	12.640	-1803.1	-1678.5	124.56
-130.00	521.47	3.5535	14.971	-1788.8	-1684.6	104.22
-120.00	771.73	4.5722	8.7230	-1759.3	-1751.4	7.9679
-110.70	1111.1	3.3671	7.3673	-1720.5	-1770.4	.58241E-12

Table 53 : METANO. Forma 1

C = -0.77341, V01 = 21.173, T01 = 150.73,

LAS VARIABLES DE LA CURVA TIENEN LAS SIGUIENTES UNIDADES:

TEMPERATURA ---GRADOS F

P DE VAP -----PSIA

VOL LIQ SAT ---PIE CUB/LB

VOL VAP SAT ---PIE CUB/LB

ENTALPIA DE LIQ ---BTU/LB

ENTALPIA DE VAP ---BTU/LB

TEMPERATURA	P DE VAP	V LIQ SAT	V VAP SAT	H LIQ	H VAP	DH DE VAP
-260.00	15.775	2.3562	536.59	-1906.4	-1692.4	213.98
-250.00	23.074	2.4011	363.29	-1899.2	-1689.5	209.71
-240.00	33.352	2.4492	255.52	-1892.0	-1686.8	205.20
-230.00	43.077	2.5010	185.13	-1884.6	-1684.1	200.43
-220.00	66.273	2.5572	137.44	-1877.0	-1681.7	195.33
-210.00	113.241	2.6185	104.53	-1869.2	-1679.4	189.85
-200.00	115.76	2.6861	80.654	-1861.2	-1677.4	183.87
-190.00	173.22	2.7616	63.265	-1853.0	-1675.7	177.28
-180.00	177.12	2.8472	50.056	-1844.3	-1674.5	169.87
-170.00	237.15	2.9452	39.848	-1835.2	-1673.8	161.39
-160.00	223.17	3.0641	31.780	-1825.5	-1674.0	151.48
-150.00	335.17	3.2102	25.246	-1815.0	-1675.4	139.56
-140.00	430.51	3.4032	19.795	-1803.1	-1678.5	124.56
-130.00	511.70	3.6008	15.082	-1788.8	-1684.6	104.22
-120.00	532.41	4.6636	5.0603	-1759.3	-1751.4	7.9675
-110.00	1013.6	3.8957	3.8960	-1770.5	-1770.4	-52809E-02

Tabla 55 : METANO. Forma 3

C<sub>a</sub> = -0.74369, V<sub>T</sub> = 21.774, TD = 170.59,

LAS VARIABLES DE LA CURVA TIENEN LAS SIGUIENTES UNIDADES:

TEMPERATURA --- GRADOS F  
P DE VAP --- PSIA  
VOL LIQ SAT ---PIE CUB/LB  
VOL VAP SAT ---PIE CUB/LB  
ENTALGIA DE LIQ ---BTU/LB  
ENTALGIA DE VAP ---BTU/LB

TEMPERATURA	P DE VAP	V LIQ SAT	V VAP SAT	H LIQ	H VAP	DH DE VAP
-260.00	15.036	2.3373	535.94	-1906.8	-1692.4	214.42
-250.00	27.016	2.3318	542.58	-1899.7	-1689.5	210.13
-240.00	37.254	2.4296	554.96	-1892.4	-1686.8	205.61
-230.00	47.230	2.4310	554.54	-1884.9	-1684.1	200.81
-220.00	56.534	2.5367	136.93	-1877.4	-1681.7	195.70
-210.00	69.311	2.5975	104.10	-1869.6	-1679.4	190.21
-200.00	117.32	2.6646	80.283	-1861.6	-1677.4	184.20
-190.00	151.00	2.7395	62.950	-1853.3	-1675.7	177.59
-180.00	171.17	2.8245	49.730	-1844.6	-1674.5	170.16
-170.00	211.54	2.9227	39.621	-1835.5	-1673.9	161.66
-160.00	223.25	3.0397	31.589	-1825.8	-1674.1	151.73
-150.00	223.43	3.1146	25.037	-1815.2	-1675.5	139.77
-140.00	433.35	3.3761	19.665	-1803.3	-1673.6	124.74
-130.00	520.14	3.6614	14.976	-1789.0	-1684.7	104.35
-120.00	523.53	4.6260	5.0215	-1759.6	-1751.6	8.0029
-110.00	1010.0	3.3666	3.3666	-1770.6	-1770.6	.98802E-04

102

Tabla 56 : METANO. Fazme 4

C = -0.77341, V = 1, 20.507% TD = 150.73

LAS VARIABLES DE LA CURVA TIENEN LAS SIGUIENTES UNIDADES:

TEMPERATURA --- GRADOS F  
P DE VAP ----- PSIA  
VOL LIQ SAT ---PIE CUB/LB  
VOL VAP SAT ---PIE CUB/LB  
ENTALPIA DE LIQ ---BTU/LB  
ENTALPIA DE VAP ---BTU/LB

TEMPERATURA	P DE VAP	V LIQ SAT	V VAP SAT	H LIQ	H VAP	DH DE VAP
-260.00	15.523	2.2821	510.71	-1906.4	-1692.4	213.98
-250.00	23.715	2.3256	351.96	-1899.2	-1699.5	209.71
-240.00	31.909	2.3722	247.48	-1892.0	-1696.8	205.20
-230.00	40.573	2.4224	179.30	-1884.6	-1684.1	200.43
-220.00	49.426	2.4767	133.12	-1877.0	-1681.7	195.33
-210.00	59.373	2.5341	101.24	-1869.2	-1679.4	189.85
-200.00	121.075	2.6016	78.11	-1861.2	-1677.4	183.87
-190.00	153.11	2.6749	61.275	-1853.0	-1675.7	177.28
-180.00	191.00	2.7577	48.482	-1844.3	-1674.5	169.87
-170.00	244.16	2.8536	39.594	-1835.2	-1673.9	161.39
-160.00	301.66	2.9677	30.790	-1825.5	-1674.0	151.48
-150.00	362.21	3.1092	24.452	-1815.0	-1675.4	139.56
-140.00	441.51	3.2062	19.173	-1803.1	-1678.5	124.56
-130.00	533.37	3.3747	14.608	-1788.8	-1684.6	106.22
-120.00	631.55	4.5161	4.9042	-1759.3	-1751.4	7.9694
-110.00	1736.2	3.7730	3.7733	-1770.5	-1770.4	.69189E-02

Tabla 54 : METANO. Forma 2

Q<sub>4</sub> = -0.24369, T<sub>04</sub> = 21.155, T<sub>04</sub> = 150.50,

LAS VARIABLES DE LA CURVA TIENEN LAS SIGUIENTES UNIDADES:

TEMPERATURA ---GRADOS F  
P DE VAP -----PSIA  
VOL LIQ SAT ---PIE CUB/LB  
VOL VAP SAT ---PIE CUB/LB  
ENTALPIA DE LIQ ---BTU/LB  
ENTALPIA DE VAP ---BTU/LB

TEMPERATURA	P DE VAP	V LIQ SAT	V VAP SAT	H LIQ	H VAP	DH DE VAP
-260.00	14.043	2.7541	539.30	-1906.8	-1692.4	214.42
-250.00	32.221	2.7026	550.10	-1890.7	-1689.5	210.13
-240.00	53.712	2.6471	556.69	-1892.4	-1686.8	205.61
-230.00	87.304	2.4933	555.37	-1884.9	-1684.1	200.81
-220.00	131.052	2.3549	557.92	-1877.4	-1681.7	195.70
-210.00	173.634	2.6162	504.85	-1869.6	-1679.4	190.21
-200.00	215.43	2.6133	50.960	-1861.6	-1677.4	184.20
-190.00	142.22	2.7592	47.402	-1853.3	-1675.7	177.59
-180.00	132.11	2.1448	50.147	-1844.6	-1674.5	170.16
-170.00	235.34	2.9437	39.906	-1835.5	-1673.9	161.66
-160.00	321.35	3.0615	31.816	-1825.8	-1674.1	151.73
-150.00	375.33	3.2075	25.267	-1815.2	-1675.5	139.77
-140.00	471.23	3.4014	19.306	-1803.3	-1678.6	124.74
-130.00	515.43	3.6373	15.083	-1789.0	-1684.7	104.35
-120.00	572.52	4.6503	5.0577	-1750.6	-1751.6	8.0034
-110.00	1111.7	3.3945	3.3945	-1770.6	-1776.0	-22881E-04

C<sub>0</sub>, -0.74762, T<sub>0</sub>, 22.557, P<sub>0</sub>, 159.55,

LAS VARIABLES DE LA CURVA TIENEN LAS SIGUIENTES UNIDADES:

TEMPERATURA --- GRADOS F  
 H DE VAP --- PPSA  
 VOL LÍQ SAT --- PPS CUR/LB  
 VOL VAP SAT --- PPS CUR/LB  
 ENTALPIA DE LÍQ --- BTU/LB  
 ENTALPIA DE VAP --- BTU/LB

TEMPERATURA	H DE VAP	V LÍQ SAT	V VAP SAT	H LÍQ	H VAP	HN DE VAP
-250.00	15.431	2.2320	523.26	-1906.8	-1622.4	214.42
-251.00	23.113	2.3265	354.01	-1990.7	-1489.5	410.43
-240.00	34.777	2.3721	243.83	-1992.4	-1686.8	205.41
-230.00	47.412	2.4227	130.17	-1884.9	-1604.1	200.51
-220.00	61.145	2.4767	133.69	-1977.4	-1681.7	195.70
-210.00	76.435	2.5341	101.63	-1909.6	-1679.4	190.21
-200.00	100.113	2.6016	73.333	-1861.6	-1677.4	184.20
-190.00	134.16	2.6747	51.468	-1853.3	-1675.7	177.59
-180.00	177.21	2.7576	43.610	-1846.4	-1676.5	170.14
-170.00	241.72	2.8536	32.684	-1835.5	-1673.9	161.40
-160.00	301.73	2.9577	30.742	-1825.8	-1674.1	151.73
-150.00	367.12	3.1092	24.493	-1815.2	-1675.5	139.77
-140.00	447.36	3.2062	19.200	-1803.3	-1678.6	124.74
-130.00	532.75	3.2942	14.624	-1789.0	-1684.7	104.35
-120.00	613.73	4.3163	4.9034	-1759.6	-1751.6	8.0213
-110.00	704.7	3.7747	3.7747	-1770.6	-1770.6	10039E-03

Tabla 57 : METANO. Forma5

LAS VARIABLES DE LA CURVA TIENEN LAS SIGUIENTES UNIDADES:

TEMPERATURA --- GRADOS F

P DE VAP --- PSIN

VOL LIQ SAT --- PIES CUB/LB

VOL VAP SAT --- PIES CUB/LB

ENTALPIA DE LIQ --- BTU/LB

ENTALPIA DE VAP --- BTU/LB

TEMPERATURA	P DE VAP	V LIQ SAT	V VAP SAT	H LIQ	H VAP	RH DE VAP
-260.00	17.423	2.3051	603.14	-1915.3	-1692.2	223.16
-250.00	21.217	2.3425	492.00	-1907.8	-1689.3	218.55
-240.00	21.153	2.3072	278.18	-1900.2	-1686.5	213.70
-230.00	46.776	2.4434	199.59	-1892.5	-1683.9	208.57
-220.00	51.472	2.5030	146.54	-1884.6	-1681.5	203.16
-210.00	56.773	2.5646	110.35	-1876.5	-1679.3	197.23
-200.00	112.74	2.6314	84.358	-1868.2	-1677.4	190.82
-190.00	147.22	2.7061	65.423	-1859.7	-1675.9	183.77
-180.00	115.12	2.7207	51.521	-1850.7	-1674.9	175.86
-170.00	252.50	2.8333	40.716	-1841.3	-1674.5	164.83
-160.00	283.11	3.0055	32.249	-1831.3	-1675.0	156.31
-150.00	357.10	3.1505	25.446	-1820.3	-1676.7	147.68
-140.00	421.20	3.3426	19.812	-1808.1	-1680.2	137.83
-130.00	517.73	3.6301	14.039	-1793.3	-1687.6	124.28
-120.00	573.13	4.1196	4.1208	-1774.3	-1774.2	.23219E-01

105

Tabla 59 : METANO. Forma 7

Datos experimentales de un diagrama presión-entalpia para  
etileno saturado.

T	P	H LIQ	H VAP
-220.0	0.885	763.1	998.7
-200.0	2.484	777.7	1004.1
-180.0	5.893	791.5	1009.2
-160.0	12.310	804.7	1014.0
-150.0	17.15	811.1	1016.3
-140.0	23.18	817.3	1018.4
-130.0	30.60	823.5	1020.5
-120.0	40.23	829.6	1022.5
-110.0	52.15	835.7	1024.2
-100.0	66.55	841.8	1025.8
-90.0	83.21	847.9	1027.3
-80.0	101.20	854.0	1028.8
-70.0	122.60	860.1	1030.1
-60.0	146.50	866.4	1031.3
-50.0	173.30	872.8	1032.4
-40.0	206.20	879.3	1032.9
-30.0	244.50	886.0	1033.1
-20.0	285.00	893.0	1033.2
0.0	384.60	908.0	1031.7
10.0	442.70	916.4	1029.9
20.0	507.70	925.6	1027.1

ESTIMACIONES DE LA SUSTANCIA TITULADA LOS SIGUIENTES DMT. CADRES:

TITULADA --- 200/13

TITULADA --- 200/13

TITULADA --- 200/13

TITULADA --- 200/13

TEMPERATURA °C	P.D.E. VAP mm Hg	H. LIG. SAT mm Hg	H. VAP. SAT mm Hg	H. LIG. mm Hg	H. VAP. mm Hg	DIF. DE VAP.
-160.00	12.571	1.746.6	531.46	-1150.3	-941.40	200.26
-150.00	12.572	1.746.6	417.72	-1145.6	-939.59	25.74
-140.00	12.572	1.746.6	317.46	-1140.2	-937.70	25.74
-130.00	12.572	1.746.6	241.46	-1135.2	-935.99	19.30
-120.00	12.572	1.746.6	171.32	-1129.5	-934.65	10.74
-110.00	12.572	1.746.6	117.32	-1124.1	-932.31	12.15
-100.00	12.572	1.746.6	87.32	-1113.1	-930.03	13.15
-90.00	12.572	1.746.6	67.32	-1103.1	-927.74	12.67
-80.00	12.572	1.746.6	51.97	-1091.1	-926.23	15.02
-70.00	12.572	1.746.6	39.23	-1079.1	-925.14	14.74
-60.00	12.572	1.746.6	29.23	-1058.7	-924.15	16.66
-50.00	12.572	1.746.6	21.11	-1038.1	-923.32	15.79
-40.00	12.572	1.746.6	15.44	-1025.2	-922.86	15.37
-30.00	12.572	1.746.6	11.01	-1008.9	-922.21	16.79
-20.00	12.572	1.746.6	7.34	-987.4	-921.57	16.11
-10.00	12.572	1.746.6	4.05	-967.6	-920.74	17.22
0.00	12.572	1.746.6	1.73	-943.8	-920.51	10.38
10.00	12.572	1.746.6	1.03	-922.0	-919.54	8.51
20.00	12.572	1.746.6	0.42	-906.1	-918.17	6.114
30.00	12.572	1.746.6	0.16	-892.31	-917.22	8.95E-11
40.00	12.572	1.746.6	0.02	-876.32	-915.41	1.384E-11
50.00	12.572	1.746.6	0.00	-854.79	-913.70	1.2726E-14

Tabla 60 : ETILENO. Ecuación COR

LAS VARIABLES DE LA CURVA TIENEN LAS SIGUIENTES UNIDADES:

TEMPERATURA --- GRADOS F  
 P DE VAP -----PSIA  
 VOL LIQ SAT --- PIS CUB/LB  
 VOL VAP SAT --- PIS CUB/LB  
 ETALPIA DE LIQ --- BTU/LB  
 ETALPIA DE VAP --- BTU/LB

TEMPERATURA	P DE VAP	V LIQ SAT	V VAP SAT	H LIQ	H VAP	DH DE VAP
-180.00	12.211	1.7452	518.31	-1145.4	-941.57	203.83
-170.00	12.223	1.7702	401.70	-1140.5	-939.66	210.81
-160.00	12.235	1.7746	394.31	-1147.5	-937.77	197.72
-150.00	12.247	1.7791	374.97	-1130.4	-935.91	194.51
-140.00	12.259	1.7842	134.69	-1125.3	-934.09	191.40
-130.00	12.271	1.7882	138.21	-1120.0	-932.29	187.73
-120.00	12.283	1.7952	121.09	-1114.7	-930.57	184.11
-110.00	12.295	1.7973	93.934	-1109.2	-928.91	180.30
-100.00	12.307	1.7913	31.915	-1103.6	-927.35	170.27
-90.00	12.319	1.7813	2.006	-1097.9	-925.90	171.98
-80.00	12.331	2.0225	66.906	-1092.0	-924.59	167.40
-70.00	12.343	2.0420	22.942	-1085.9	-923.42	162.46
-60.00	12.355	2.0622	4.000	-1079.6	-922.50	157.18
-50.00	12.367	2.0820	30.536	-1073.0	-921.80	151.23
-40.00	12.379	2.1020	33.549	-1066.2	-921.44	144.75
-30.00	12.391	2.1222	22.629	-1059.0	-921.49	137.50
-20.00	12.403	2.1422	24.795	-1052.0	-922.27	130.27
-10.00	12.415	2.1622	20.353	-1051.4	-923.41	119.72
0.00	12.427	2.1822	17.100	-1043.1	-923.80	108.31
10.00	12.439	2.2022	14.211	-1034.1	-929.86	93.97
20.00	12.451	2.2221	11.571	-1027.8	-937.19	73.74
30.00	12.463	2.2321	9.000	-1016.9		
40.00	12.475	2.2397				
50.00	12.487	2.2456				
60.00	12.500	2.2496				
70.00	12.512	2.2522				
80.00	12.524	2.2542				
90.00	12.536	2.2557				
100.00	12.548	2.2567				
110.00	12.560	2.2571				
120.00	12.572	2.2571				
130.00	12.584	2.2571				
140.00	12.596	2.2571				
150.00	12.608	2.2571				
160.00	12.620	2.2571				
170.00	12.632	2.2571				
180.00	12.644	2.2571				
190.00	12.656	2.2571				
200.00	12.668	2.2571				
210.00	12.680	2.2571				
220.00	12.692	2.2571				
230.00	12.704	2.2571				
240.00	12.716	2.2571				
250.00	12.728	2.2571				
260.00	12.740	2.2571				
270.00	12.752	2.2571				
280.00	12.764	2.2571				
290.00	12.776	2.2571				
300.00	12.788	2.2571				
310.00	12.800	2.2571				
320.00	12.812	2.2571				
330.00	12.824	2.2571				
340.00	12.836	2.2571				
350.00	12.848	2.2571				
360.00	12.860	2.2571				
370.00	12.872	2.2571				
380.00	12.884	2.2571				
390.00	12.896	2.2571				
400.00	12.908	2.2571				
410.00	12.920	2.2571				
420.00	12.932	2.2571				
430.00	12.944	2.2571				
440.00	12.956	2.2571				
450.00	12.968	2.2571				
460.00	12.980	2.2571				
470.00	12.992	2.2571				
480.00	13.004	2.2571				
490.00	13.016	2.2571				
500.00	13.028	2.2571				
510.00	13.040	2.2571				
520.00	13.052	2.2571				
530.00	13.064	2.2571				
540.00	13.076	2.2571				
550.00	13.088	2.2571				
560.00	13.100	2.2571				
570.00	13.112	2.2571				
580.00	13.124	2.2571				
590.00	13.136	2.2571				
600.00	13.148	2.2571				
610.00	13.160	2.2571				
620.00	13.172	2.2571				
630.00	13.184	2.2571				
640.00	13.196	2.2571				
650.00	13.208	2.2571				
660.00	13.220	2.2571				
670.00	13.232	2.2571				
680.00	13.244	2.2571				
690.00	13.256	2.2571				
700.00	13.268	2.2571				
710.00	13.280	2.2571				
720.00	13.292	2.2571				
730.00	13.304	2.2571				
740.00	13.316	2.2571				
750.00	13.328	2.2571				
760.00	13.340	2.2571				
770.00	13.352	2.2571				
780.00	13.364	2.2571				
790.00	13.376	2.2571				
800.00	13.388	2.2571				
810.00	13.400	2.2571				
820.00	13.412	2.2571				
830.00	13.424	2.2571				
840.00	13.436	2.2571				
850.00	13.448	2.2571				
860.00	13.460	2.2571				
870.00	13.472	2.2571				
880.00	13.484	2.2571				
890.00	13.496	2.2571				
900.00	13.508	2.2571				
910.00	13.520	2.2571				
920.00	13.532	2.2571				
930.00	13.544	2.2571				
940.00	13.556	2.2571				
950.00	13.568	2.2571				
960.00	13.580	2.2571				
970.00	13.592	2.2571				
980.00	13.604	2.2571				
990.00	13.616	2.2571				
1000.00	13.628	2.2571				

LAS VARIABLES DE LA CURVA TIENEN LAS SIGUIENTES UNIDADES:

TEMPERATURA --- GRADOS F  
 P DE VAP --- PSIA  
 VOL LIQ SAT --- PIES CUBICOS/LB  
 VOL VAP SAT --- PIES CUBICOS/LB  
 ENTALPIA DE LIQ --- BTU/LB  
 ENTALPIA DE VAP --- BTU/LB

TEMPERATURA	P DE VAP	V LIQ SAT	V VAP SAT	H LIQ	H VAP	DH DE VAP
-160.00	17.671	1.4322	512.07	-1145.4	-941.57	203.83
-150.00	17.472	1.2953	336.98	-1140.5	-939.66	261.91
-140.00	17.273	1.2233	226.09	-1133.5	-937.77	197.72
-130.00	17.074	1.1736	178.20	-1130.4	-935.91	194.51
-120.00	16.875	1.1222	172.84	-1127.4	-934.08	191.19
-110.00	16.676	1.0811	161.46	-1120.0	-932.29	187.73
-100.00	16.477	1.0356	115.69	-1114.7	-930.57	184.11
-90.00	16.278	1.0081	94.443	-1109.2	-928.91	180.30
-80.00	16.079	1.0383	77.769	-1103.6	-927.35	176.27
-70.00	15.879	1.0340	64.455	-1097.9	-925.90	171.98
-60.00	15.679	1.0222	51.323	-1092.6	-924.58	167.40
-50.00	15.479	1.0111	41.379	-1086.9	-923.42	162.46
-40.00	15.279	1.0011	31.176	-1079.6	-922.50	157.08
-30.00	15.079	2.1022	32.322	-1073.0	-921.80	151.23
-20.00	14.879	2.1652	27.383	-1066.2	-921.44	144.75
-10.00	14.679	2.2303	23.202	-1050.0	-921.40	137.50
0	14.479	2.2923	19.607	-1051.4	-921.09	129.27
10.000	14.279	2.3522	16.674	-1043.1	-923.41	119.72
20.000	14.079	2.4151	13.600	-1034.1	-925.80	108.30
30.000	13.879	2.4742	11.147	-1023.8	-929.86	93.907
40.000	13.679	2.5334	9.4790	-1010.0	-937.19	73.707

Tabla 62 : ETILENO. Forma 2

C=, 0.02472, VD=, 27.352, TO=, 213.9,

LAS VARIABLES DE LA CURVA TIENEN LAS SIGUIENTES UNIDADES:

TEMPERATURA --- GRADOS F

P DE VAP --- PSIA

VOL LIQ SAT --- PIE CUB/LB

VOL VAP SAT --- PIE CUB/LB

ENTALPIA DE LIQ --- BTU/LB

ENTALPIA DE VAP --- BTU/LB

TEMPERATURA	P DE VAP	V LIQ SAT	V VAP SAT	H LIQ	H VAP	DH DE VAP
-160.00	12.373	1.7426	537.44	-1145.4	-941.57	203.83
-150.00	14.343	1.7657	400.67	-1140.5	-939.56	200.81
-140.00	17.233	1.7887	355.55	-1135.5	-937.77	197.72
-130.00	21.153	1.8114	236.27	-1130.4	-935.91	194.51
-120.00	27.233	1.8434	196.20	-1125.3	-934.08	191.19
-110.00	33.273	1.8755	149.53	-1120.0	-932.29	187.73
-100.00	41.373	1.9073	112.79	-1114.7	-930.57	186.11
-90.00	51.573	1.9391	97.984	-1109.2	-928.91	180.35
-80.00	63.773	1.9631	81.510	-1103.6	-927.35	176.27
-70.00	77.973	2.0024	65.735	-1097.9	-925.90	171.98
-60.00	94.273	2.0443	51.709	-1092.5	-924.58	167.40
-50.00	112.573	2.0945	43.930	-1085.9	-923.42	162.46
-40.00	132.873	2.1435	37.495	-1079.6	-922.50	157.98
-30.00	154.263	2.1835	31.463	-1073.0	-921.80	152.24
-20.00	177.733	2.2425	25.357	-1066.2	-921.44	144.75
-10.00	203.233	2.3062	20.023	-1050.0	-921.26	137.50
0	231.233	2.3794	15.701	-1034.4	-922.09	129.27
10.000	261.233	2.4336	12.057	-1013.4	-923.41	110.72
20.000	293.233	2.4967	9.175	-1034.1	-925.80	105.30
30.000	326.233	2.5639	7.1541	-1023.8	-929.86	93.907
40.000	360.233	3.0330	5.9861	-1010.9	-937.10	73.707

110

Tabla 63 : ETILENO: Forma 3

C=, 0.97586, VT=, 27.44, TO=, 219.04,

LAS VARIABLES DE LA CURVA TIENEN LAS SIGUIENTES UNIDADES:

TEMPERATURA ---GRAADOS F  
 P DE VAP -----PSIA  
 VOL LIQ SAT ---PIE CUR/LB  
 VOL VAP SAT ---PIE CUR/LB  
 ENTALPIA DE LIQ --BTU/LB  
 ENTALPIA DE VAP --BTU/LB

TEMPERATURA	P DE VAP	V LIQ SAT	V VAP SAT	H LIQ	H VAP	DH DE VAP
-160.00	12.233	1.37474	337.10	-1145.2	-941.58	203.61
-150.00	17.233	1.7921	305.51	-1175.3	-939.67	197.51
-140.00	21.233	2.4266	336.31	-1170.2	-937.78	194.31
-130.00	27.233	1.3475	136.28	-1125.1	-935.92	191.00
-120.00	40.233	1.8753	143.62	-1119.8	-934.08	187.55
-110.00	63.233	1.9054	119.88	-1114.5	-932.30	183.92
-100.000	91.502	1.9376	97.879	-1109.0	-928.92	180.12
-80.000	99.502	1.9716	80.602	-1103.5	-927.45	176.10
-70.000	111.70	2.0031	66.321	-1097.7	-925.91	171.81
-60.000	141.63	2.0475	55.879	-1091.8	-924.58	167.24
-50.000	173.33	2.0914	46.954	-1085.7	-923.42	162.31
-40.000	213.22	2.1375	39.552	-1079.4	-922.50	156.94
-30.000	241.12	2.1820	33.574	-1072.9	-921.79	151.10
-20.000	231.26	2.2429	29.411	-1066.1	-921.43	144.63
-10.000	231.21	2.3161	24.072	-1058.9	-921.08	137.39
0.	231.21	2.3950	20.345	-1051.2	-922.07	129.17
10.000	221.30	2.4903	17.095	-1043.0	-923.39	119.63
20.000	211.31	2.6111	14.203	-1034.0	-925.77	108.23
30.000	201.26	2.7463	11.570	-1023.7	-929.83	93.850
40.000	191.26	2.0390	9.0099	-1010.8	-937.14	74.677
50.000	181.20	2.1730	6.1277	-987.70	-954.17	33.622
60.000	171.20	2.2513	4.9444	-963.79	-963.89	-0.94605E-01
70.000	161.23	2.4307	6.4297	-943.52	-943.53	-0.92320E-02

111

Tabla 64 : ETILENO. Forma 4

C<sub>2</sub>, 0.97583, VD<sub>2</sub>, 23.472, TD<sub>2</sub>, 210.06,

LAS VARIABLES DE LA CURVA TIENEN LAS SIGUIENTES UNIDADES:

TEMPERATURA --- GRADOS F  
 P DE VAP --- PSIA  
 VOL LIQ SAT --- PIE CUB/LB  
 VOL VAP SAT --- PIE CUB/LB  
 ENTALPIA DE LIQ --- BTU/LB  
 ENTALPIA DE VAP --- BTU/LB

TEMPERATURA	P DE VAP	V LIQ SAT	V VAP SAT	H LIQ	H VAP	DH DE VAP
-160.00	13.431	1.6832	517.37	-1145.2	-941.58	203.61
-150.00	13.471	1.6869	518.38	-1146.7	-942.57	200.61
-140.00	24.395	1.7291	506.88	-1135.7	-935.92	197.51
-130.00	53.531	1.7537	527.63	-1130.4	-935.08	194.51
-120.00	63.525	1.7796	519.44	-1125.4	-934.50	191.00
-110.00	54.222	1.8050	517.16	-1119.0	-932.50	187.55
-100.00	63.122	1.8357	515.48	-1114.0	-930.58	183.92
-90.00	34.145	1.8664	514.83	-1109.0	-928.92	180.12
-80.00	13.472	1.8921	514.44	-1103.7	-927.34	176.10
-70.00	12.771	1.9343	514.767	-1097.7	-925.91	171.81
-60.00	15.144	1.9723	515.827	-1091.7	-924.58	167.24
-50.00	17.145	2.0176	516.229	-1085.7	-923.42	162.31
-40.00	21.161	2.0590	516.099	-1079.7	-922.50	156.94
-30.00	21.172	2.1094	516.223	-1073.9	-921.79	151.10
-20.00	52.122	2.1231	516.368	-1066.1	-921.43	146.61
-10.00	53.171	2.2310	516.198	-1059.9	-921.68	137.39
0	52.442	2.3070	516.597	-1051.2	-922.07	129.17
10.00	49.242	2.3930	516.467	-1043.0	-923.39	119.61
20.00	51.124	2.5152	516.686	-1034.0	-925.77	108.23
30.00	50.124	2.5243	516.145	-1027.0	-929.83	95.850
40.00	55.121	2.5292	516.289	-1017.0	-937.14	75.677
50.00	55.121	2.6316	516.317	-988.6	-954.90	33.164
60.00	15.121	4.7231	4.7166	-964.45	-964.54	-0.95366E-01
70.00	33.120	6.0765	6.0750	-944.62	-944.64	-0.14199E-01

112

Tabla 65 : ETILENO. Forma 5

C=, 0.97636, V=4, 27.371, T0=, 212.06,

LAS VARIACIONES DE LA CURVA TIENEN LAS SIGUIENTES UNIDADES:

TEMPERATURA ---GRADOS F  
 P DE VAP -----PSIA  
 VOL LIQ SAT ---PIE CUR/LB  
 VOL VAP SAT ---PIE CUR/LB  
 ENTALPIA DE LIQ ---BTU/LB  
 ENTALPIA DE VAP ---BTU/LB

13

TEMPERATURA	P DE VAP	V LIQ SAT	V VAP SAT	H LIQ	H VAP	DH DE VAP
-160.00	13.712	1.7430	575.75	-1145.2	-941.58	203.61
-150.00	24.742	1.7906	520.52	-1140.5	-949.57	200.51
-140.00	41.762	1.8180	475.32	-1135.3	-937.78	197.51
-130.00	41.762	1.8423	435.81	-1130.1	-935.92	194.31
-120.00	52.772	1.8711	403.25	-1125.1	-934.08	191.00
-110.00	62.772	1.9000	370.58	-1119.8	-932.34	187.55
-100.00	72.772	1.9327	337.33	-1109.0	-928.58	183.93
-80.000	101.73	1.99656	301.39	-1103.5	-928.92	180.12
-70.000	121.70	2.0030	66.653	-1097.7	-925.91	171.81
-60.000	141.67	2.0427	55.739	-1091.8	-924.58	167.24
-50.000	171.64	2.0852	45.336	-1085.7	-923.42	162.31
-40.000	171.64	2.1337	42.453	-1079.4	-922.50	156.94
-30.000	241.59	2.1944	33.340	-1072.9	-921.79	151.10
-20.000	341.53	2.2471	33.340	-1066.1	-921.43	146.63
-10.000	75.270	2.3105	24.012	-1058.9	-921.48	137.39
0.	75.270	2.3890	21.293	-1051.2	-922.07	129.17
10.000	275.32	2.4844	17.052	-1043.6	-923.30	119.64
20.000	431.15	2.6045	14.172	-1034.0	-925.77	108.23
30.000	551.07	2.7623	11.541	-1023.7	-929.83	93.850
40.000	551.07	3.0723	8.9872	-1010.8	-937.14	74.677
50.000	475.41	3.4666	6.0744	-987.54	-954.54	34.394
60.000	321.21	4.2120	4.9180	-964.14	-964.24	-95589E-01
70.000	311.27	6.3488	6.3488	-944.11	-944.12	-11788E-01

Tabla 66 : ETILENO, Forma 6

C=, 1.7263, V=, 77.143, T=, 212.0,

LAS VARIABLES DE LA CURVA TIENEN LAS SIGUIENTES UNIDADES:

TEMPERATURA ---- GRADOS F  
 P DE VAP ----- PSTA  
 VOL LIQ SAT --- PIE CNU/LB  
 VOL VAP SAT --- PIE CNU/LB  
 ENTALPIA DE LIQ --- BTU/LB  
 ENTALPIA DE VAP --- BTU/LB

14

TEMPERATURA	P DE VAP	V LIQ SAT	V VAP SAT	H LIQ	H VAP	OH DE VAP
-160.00	11.732	1.7221	615.97	-1156.0	-941.37	212.64
-150.00	11.713	1.7205	553.72	-1148.5	-939.44	209.42
-140.00	11.625	1.7249	522.30	-1143.6	-937.52	206.12
-130.00	11.573	1.7305	502.61	-1138.4	-935.64	202.72
-120.00	11.515	1.7373	494.70	-1133.0	-933.81	199.20
-110.00	11.424	1.7555	491.93	-1127.5	-932.02	195.53
-100.00	11.324	1.7953	429.50	-1122.0	-930.30	191.69
-90.00	11.224	1.8172	405.03	-1116.13	-928.66	187.65
-80.00	11.123	1.8512	381.06	-1110.5	-927.12	183.39
-70.00	11.023	1.8933	370.764	-1104.6	-925.71	178.84
-60.00	11.223	2.0220	351.830	-1098.4	-924.43	174.00
-50.00	11.223	2.0710	40.463	-1092.1	-923.33	168.78
-40.00	11.223	2.1123	41.185	-1085.6	-922.49	163.09
-30.00	11.223	2.1722	374.753	-1078.8	-921.86	156.92
-20.00	11.223	2.2320	321.320	-1071.7	-921.60	150.09
-10.00	11.223	2.2973	244.738	-1064.0	-921.76	142.66
0.	11.223	2.3721	20.925	-1056.5	-922.49	133.82
10.00	11.223	2.4731	17.436	-1047.8	-923.07	123.83
20.00	11.223	2.5841	14.444	-1039.4	-926.53	111.91
30.00	11.223	2.7603	11.728	-1027.0	-930.81	96.955
40.00	11.223	3.0233	9.2071	-1014.7	-937.91	76.533
50.00	11.223	3.3126	6.0296	-992.73	-957.44	34.692
60.00	11.223	4.2172	4.9159	-966.59	-966.61	-17262E-01
70.00	11.223	5.5301	3.5385	-944.31	-944.31	-51791E-02

Tabla 67 : ETILENO. Forma 7

Datos experimentales de un diagrama presión-entalpia para  
n-hexano saturado.

T	P	H LIQ	H VAP
150.0	13.283	-622.0	-479.1
160.0	15.823	-616.3	-475.1
170.0	18.73	-616.3	-471.0
180.0	22.03	-604.7	-466.9
190.0	25.80	-598.8	-462.8
200.0	30.01	-592.9	-458.6
210.0	34.65	-586.9	-454.5
220.0	39.85	-580.8	-450.3
230.0	45.60	-574.7	-446.1
250.0	59.34	-562.3	-437.7
270.0	75.35	-549.6	-429.3
290.0	95.05	-536.6	-421.0
300.0	106.10	-529.9	-416.9
320.0	131.30	-516.2	-408.7
340.0	160.30	-502.1	-400.6
360.0	193.60	-487.4	-392.8
380.0	231.70	-471.9	-385.3
400.0	277.50	-455.2	-378.8
410.0	301.30	-446.0	-375.6
420.0	327.50	-435.9	-373.0
430.0	356.50	-423.8	-371.4
440.0	386.00	-406.7	-370.4

C=, 6.3, V0=, 73.71, T1=, 333.87,

LAS VARIABLES DE LA CURVA TIENEN LAS SIGUIENTES UNIDADES:

TEMPERATURA ---GRADOS F  
 P DE VAP -----PSIA  
 VOL LIQ SAT ---PIE CUB/LB  
 VOL VAP SAT ---PIE CUB/LB  
 ENTALPIA DE LIQ ---BTU/LB  
 ENTALPIA DE VAP ---BTU/LB

TEMPERATURA	P DE VAP	V LIQ SAT	V VAP SAT	H LIQ	H VAP	DH DE VAP
140.00	11.374	1.6116	409.45	-633.48	-485.26	148.22
150.00	13.271	1.6261	345.82	-627.73	-481.06	146.67
160.00	15.109	1.6410	293.44	-621.91	-476.83	145.08
170.00	17.031	1.6564	250.86	-616.07	-472.56	143.46
180.00	19.021	1.6715	215.58	-610.06	-468.26	141.80
190.00	21.032	1.6868	186.14	-604.03	-463.03	140.10
200.00	23.131	1.7052	161.43	-597.92	-459.57	138.36
210.00	24.346	1.7237	140.59	-591.74	-455.18	136.56
220.00	25.646	1.7423	122.83	-585.48	-450.78	134.70
230.00	26.935	1.7615	107.38	-579.14	-446.35	132.79
240.00	28.223	1.7812	94.916	-572.72	-441.92	130.80
250.00	29.513	1.8018	83.416	-566.24	-437.46	128.75
260.00	30.799	1.8220	74.252	-559.62	-433.00	126.61
270.00	32.072	1.8428	65.992	-552.93	-428.54	124.39
280.00	33.341	1.8728	59.750	-546.15	-424.08	122.08
290.00	34.609	1.9026	52.426	-539.27	-419.62	119.65
300.00	35.870	1.9265	46.861	-532.20	-415.18	117.12
310.00	37.113	1.9500	41.953	-525.20	-410.75	114.45
320.00	38.347	1.9745	37.386	-518.70	-406.37	111.63
330.00	39.570	2.0013	33.748	-512.69	-402.00	108.86
340.00	40.785	2.0279	30.300	-505.23	-397.38	105.55
350.00	41.995	2.0573	27.234	-495.64	-393.43	102.22
360.00	43.195	2.0873	24.470	-487.90	-389.24	98.658
370.00	44.382	2.1175	21.976	-479.99	-385.15	94.844
380.00	45.562	2.1479	19.712	-471.90	-381.17	90.730
390.00	46.734	2.1780	17.639	-463.50	-377.34	86.259
400.00	47.897	2.2079	15.772	-455.94	-373.98	81.321
410.00	48.952	2.2373	14.042	-446.18	-370.20	77.000
420.00	50.007	2.2576	12.439	-436.94	-367.14	69.804
430.00	51.054	2.2634	10.946	-427.19	-364.41	62.783
440.00	51.994	2.2652	9.621	-416.72	-362.59	54.134
450.00	52.926	2.2692	7.9361	-406.97	-361.83	43.139
460.00	53.850	2.2775	6.3934	-390.50	-361.00	26.108
470.00	54.765	5.615	4.4507	-363.44	-363.45	-6.1164E-02
480.00	55.671	5.615	9.5406	-356.74	-356.75	-6.7348E-03

Tabla 68 : n-MEXANO. Ecuación COR

C=, 7.1211, V0=, 70.143, TD=, 328.01,

LAS VARIABLES DE LA CURVA TIENEN LAS SIGUIENTES UNIDADES:

TEMPERATURA --- GRADOS F  
 P DE VAP ----- PSIA  
 VOL LIQ SAT ---PIE CUB/LB  
 VOL VAP SAT ---PIE CUB/LB  
 ENTALPIA DE LIQ --BTU/LB  
 ENTALPIA DE VAP --BTU/LB

417

TEMPERATURA	P DE VAP	V LIQ SAT	V VAP SAT	H LIQ	H VAP	DH DE VAP
140.-00	11.-111	1.-7355	404.-46	-632.-63	-495.-34	147.-28
150.-00	13.-327	1.-7519	341.-53	-626.-84	-481.-16	145.-68
160.-00	13.-311	1.-7685	290.-49	-620.-99	-476.-24	144.-05
170.-00	13.-317	1.-7854	248.-39	-615.-06	-472.-60	142.-38
180.-00	22.-113	1.-8234	213.-47	-609.-07	-468.-40	140.-66
190.-00	22.-361	1.-8210	184.-33	-602.-99	-464.-09	138.-90
200.-00	22.-327	1.-8410	159.-88	-596.-85	-459.-75	137.-09
210.-00	23.-217	1.-8610	139.-52	-590.-62	-455.-39	135.-23
220.-00	23.-242	1.-8910	121.-56	-584.-31	-451.-02	133.-50
230.-00	23.-211	1.-9035	106.-84	-577.-92	-446.-52	131.-37
240.-00	23.-213	1.-9265	93.-917	-571.-45	-442.-22	129.-23
250.-00	23.-117	1.-9502	93.-019	-564.-89	-437.-81	127.-08
260.-00	67.-111	1.-9754	73.-542	-558.-23	-433.-39	124.-84
270.-00	23.-620	2.-0010	65.-302	-551.-48	-428.-97	122.-51
280.-00	24.-322	2.-0300	58.-111	-544.-63	-424.-56	120.-07
290.-00	24.-277	2.-0599	51.-814	-537.-68	-420.-16	117.-51
300.-00	22.-175	2.-1912	46.-278	-530.-61	-419.-79	114.-83
310.-01	111.-11	2.-1255	41.-333	-523.-64	-411.-45	111.-98
320.-01	131.-70	2.-1425	37.-045	-516.-14	-407.-13	109.-01
330.-01	145.-74	2.-2021	33.-215	-508.-71	-402.-86	105.-85
340.-01	145.-53	2.-2453	29.-748	-501.-14	-398.-65	102.-49
350.-01	123.-23	2.-2927	26.-774	-493.-41	-394.-51	98.-002
360.-01	121.-23	2.-3455	23.-947	-485.-52	-390.-47	95.-054
370.-01	21.-17	2.-4038	21.-447	-477.-44	-386.-54	90.-901
380.-01	221.-17	2.-4703	19.-176	-469.-14	-382.-75	86.-388
390.-01	254.-30	2.-5462	17.-102	-460.-59	-379.-15	81.-439
400.-01	221.-32	2.-6162	15.-163	-451.-73	-375.-78	75.-947
410.-01	221.-34	2.-7452	13.-438	-442.-48	-372.-72	69.-764
420.-01	28835	2.-8835	11.-303	-432.-41	-370.-05	62.-658
430.-01	221.-33	2.-9683	10.-256	-422.-17	-367.-97	54.-265
440.-01	331.-11	3.-3413	8.-5486	-410.-39	-367.-61	42.-781
450.-01	417.-37	3.-3598	6.-7360	-395.-66	-370.-03	25.-638
460.-01	63.-37	3.-9380	4.-9386	-368.-65	-368.-66	-1.-8234E-02
470.-01	403.-57	10.-258	1.-258	-342.-66	-342.-66	-1.-509934E-L2
480.-01	311.-11	13.-669	13.-375	-328.-62	-328.-61	-1.-909934E-L2

Tabla 69 : n-HEXANO. Forma 1

C=, 7.1311, V=, 17.161, T=, 323.0°,

LAS VARIABLES DE LA CURVA TIENEN LAS SIGUIENTES UNIDADES:

TEMPERATURA --- GRADOS F  
 P DE VAP ----- PSIA  
 VOL LIQ SAT --- PIE CUB/LB  
 VOL VAP SAT --- PIE CUB/LB  
 ENTALPIA DE LIQ --- BTU/LB  
 ENTALPIA DE VAP --- BTU/LB

TEMPERATURA	P DE VAP.	V LIQ SAT	V VAP SAT	H LIQ	H VAP	DH DE VAP
140.00	13-17.2	1-4730	343.22	-632.93	-485.34	147.28
150.00	15-23.2	1-3942	380.95	-626.94	-481.16	125.68
160.00	16-27.7	1-3007	348.51	-620.99	-479.94	146.05
170.00	17-31.0	1-2537	310.79	-615.06	-472.69	142.38
180.00	17-34.6	1-2076	181.15	-609.07	-468.40	140.66
190.00	17-37.1	1-1511	156.42	-602.99	-464.09	138.90
200.00	17-37.4	1-1073	135.67	-596.85	-459.75	137.09
210.00	17-37.4	1-7922	113.47	-590.62	-455.19	135.23
220.00	17-37.0	1-5959	103.32	-584.31	-451.02	133.40
230.00	17-36.5	1-5153	90.667	-577.92	-446.62	131.30
240.00	61-57.4	1-6347	79.333	-571.45	-442.22	129.23
250.00	52-33.3	1-6552	70.250	-564.89	-437.31	127.08
260.00	52-33.3	1-6763	62.708	-558.23	-433.39	125.84
270.00	52-31.5	1-5933	55.415	-551.48	-428.97	122.51
280.00	52-31.5	1-7227	49.113	-544.63	-424.56	120.07
290.00	52-31.5	1-7430	43.960	-537.68	-420.16	117.51
300.00	125-71	1-7950	39.71	-530.61	-415.79	114.83
310.00	135-71	1-1040	35.876	-523.44	-411.45	111.98
320.00	145-71	1-3351	31.437	-516.14	-407.13	109.01
330.00	145-71	1-3867	28.187	-508.71	-402.86	105.85
340.00	135-12	1-9054	25.178	-501.14	-398.65	102.49
350.00	221-32	1-9456	22.669	-493.41	-394.51	98.902
360.00	221-26	1-9911	20.421	-485.52	-390.47	95.054
370.00	221-23	1-9929	19.390	-477.44	-386.32	90.301
380.00	221-15	1-7963	12.577	-469.18	-382.25	86.588
390.00	221-15	1-1612	14.513	-460.50	-379.15	81.439
400.00	221-11	1-2176	15.897	-454.73	-375.78	75.947
410.00	355-72	2-3701	11.404	-442.49	-372.72	69.764
420.00	333-21	2-4469	10.016	-432.71	-370.05	62.658
430.00	411-65	2-6133	8.7032	-422.17	-367.97	54.205
440.00	453-62	2-9354	7.2344	-410.39	-367.61	42.781
450.00	453-62	4-3854	5.9162	-395.66	-370.03	25.637
460.00	721-32	5-0399	5.0396	-368.65	-368.66	-195.78E-02
470.00	621-71	5-7052	5-7051	-362.66	-342.66	-505.71E-13
480.00	421-73	11-600	11.604	-328.62	-328.61	.90886E-02

Tabla 70 : n-HEXANO. Forma 2

LAS VARIABLES DE LA CURVA TIENEN LAS SIGUIENTES UNIDADES:

TEMPERATURA --- GRADOS F  
 P DE VAP ----- PSIA  
 VOL LIQ SAT --- PIE CUB/LB  
 VOL VAP SAT --- PIE CUB/LB  
 ENTHALPIA DE LIQ --- BTU/LB  
 ENTHALPIA DE VAP --- BTU/LB

TEMPERATURA	P DE VAP	V LIQ SAT	V VAP SAT	H LIQ	H VAP	DH DE VAP
140.00	11.223	1.2297	403.04	-632.63	-485.34	147.28
150.00	11.444	1.2457	320.43	-624.86	-481.16	145.68
160.00	11.675	1.2427	320.47	-620.90	-476.04	144.05
170.00	11.906	1.2364	247.52	-615.06	-472.69	142.38
180.00	12.137	1.2271	212.75	-609.07	-468.40	140.66
190.00	12.368	1.2153	194.68	-602.99	-464.09	138.90
200.00	12.599	1.2034	159.32	-596.85	-459.75	137.09
210.00	12.830	1.2054	138.76	-590.62	-455.49	135.23
220.00	13.061	1.2052	131.33	-584.41	-451.02	133.47
230.00	13.292	1.2068	106.47	-577.92	-446.62	131.30
240.00	13.523	1.2105	93.627	-571.45	-442.22	129.23
250.00	13.754	1.2134	97.727	-564.89	-437.81	127.08
260.00	14.000	1.2164	91.284	-558.93	-433.30	124.84
270.00	14.231	1.2194	85.072	-553.148	-428.97	122.51
280.00	14.462	1.2220	57.904	-544.63	-424.56	120.07
290.00	14.693	1.2256	51.636	-537.68	-420.16	117.51
300.00	14.923	1.2343	46.115	-530.61	-415.79	114.84
310.00	15.154	1.2493	41.188	-523.44	-411.45	111.98
320.00	15.385	1.2549	36.915	-516.14	-407.13	109.01
330.00	15.615	1.2544	33.090	-508.71	-402.86	105.85
340.00	15.846	1.2545	39.683	-501.14	-398.65	102.49
350.00	16.076	1.2587	34.620	-493.41	-394.51	98.902
360.00	16.307	1.2669	23.863	-485.52	-390.47	95.054
370.00	16.537	1.2739	21.794	-477.62	-386.54	90.901
380.00	16.768	1.2618	16.706	-469.14	-382.75	86.388
390.00	17.000	1.2578	17.042	-460.59	-379.15	81.439
400.00	17.231	1.2575	15.144	-451.73	-373.78	75.947
410.00	17.462	1.2562	13.391	-442.48	-372.72	69.764
420.00	17.693	1.2574	11.762	-432.71	-371.04	62.658
430.00	17.923	1.2575	10.5220	-422.17	-367.97	54.205
440.00	18.154	1.2529	3.5185	-410.19	-367.61	42.781
450.00	18.385	1.2513	5.7124	-405.66	-370.03	25.637
460.00	18.615	1.2504	5.9190	-368.66	-366.66	-19.227E-12
470.00	18.846	1.2522	10.222	-342.66	-342.66	-50.33E-03
480.00	19.076	1.2621	13.627	-328.62	-328.61	-36.92E-12

Table 71 : n-HEXANO. Forma 3

C=, 7.1214, VDE, 77.143, TO=, 728.01,

## LAS VARIABLES DE LA CURVA TIENEN LAS SIGUIENTES UNIDADES:

TEMPERATURA --- GRADOS F  
 P DE VAP -----PSIA  
 VOL LIQ SAT ---PIE CUB/LB  
 VOL VAP SAT ---PIE CUB/LB  
 ENTALPIA DE LIQ ---BTU/LB  
 ENTALPIA DE VAP ---BTU/LB

TEMPERATURA	P DE VAP	V LIQ SAT	V VAP SAT	H LIQ	H VAP	DH DE VAP
140.-00	11.137	1.7353	404.50	-632.63	-485.34	147.29
150.-00	11.226	1.7516	341.56	-626.84	-481.16	145.68
160.-00	11.326	1.7695	291.52	-620.99	-476.94	144.05
170.-00	11.425	1.7856	248.41	-615.07	-472.69	142.38
180.-00	11.525	1.8034	213.48	-609.07	-468.40	140.67
190.-00	11.625	1.8210	185.80	-613.00	-464.09	138.91
200.-00	11.725	1.8400	159.26	-596.85	-450.75	137.10
210.-00	11.825	1.8600	121.77	-584.52	-455.39	135.26
220.-00	11.925	1.8935	106.85	-577.92	-449.62	131.51
230.-00	12.025	1.9265	93.964	-571.45	-442.22	129.23
240.-00	12.125	1.9602	83.025	-564.80	-437.81	127.08
250.-00	12.225	1.9975	73.547	-558.23	-433.39	124.85
260.-00	12.325	2.0100	65.304	-551.48	-428.97	122.51
270.-00	12.425	2.0130	57.153	-544.66	-424.56	120.07
280.-00	12.525	2.0599	51.817	-537.82	-420.14	117.51
290.-00	12.625	2.0917	46.281	-530.62	-415.79	114.84
300.-00	12.725	2.1259	41.336	-523.44	-411.45	111.99
310.-00	12.825	2.1624	37.048	-516.14	-407.13	109.01
320.-00	12.925	2.2021	33.217	-508.71	-402.86	105.85
330.-00	13.025	2.2453	30.900	-501.14	-399.65	102.49
340.-00	13.125	2.2902	28.715	-493.41	-394.51	98.905
350.-00	13.225	2.3425	26.745	-485.53	-390.46	95.057
360.-00	13.325	2.4015	24.948	-477.44	-386.53	90.005
370.-00	13.425	2.4702	21.377	-469.14	-382.75	86.392
380.-00	13.525	2.5467	17.103	-460.59	-379.15	81.443
390.-00	13.625	2.6303	15.198	-451.79	-375.78	75.951
400.-00	13.725	2.7163	13.430	-442.46	-372.72	69.768
410.-00	13.825	2.8034	11.804	-432.72	-370.05	62.666
420.-00	13.925	2.8934	10.337	-422.18	-367.97	54.211
430.-00	14.025	2.9844	9.015	-412.46	-367.61	42.788
440.-00	14.125	3.0767	7.825	-402.67	-367.02	26.451
450.-00	14.225	3.1700	6.748	-392.86	-366.66	-19956E-02
460.-00	14.325	3.2638	5.708	-382.06	-366.66	-50567E-33
470.-00	14.425	10.2550	4.758	-372.66	-362.66	-96894E-02
480.-00	14.525	13.6660	4.755	-372.66	-328.61	

120

Tabla 72 : n-HEXANO. Forma 4

CA, 7.1214, Y0H, 17.161, TO, 329.01,

LAS VARIABLES DE LA CURVA TIENEN LAS SIGUIENTES UNIDADES:

TEMPERATURA ---GRADOS F  
 P DE VAP -----PSIA  
 VOL LIQ SAT ---PIE CUR/LB  
 VOL VAP SAT ---PIE CUR/LB  
 ENTALPIA DE LIQ ---BTU/LB  
 ENTALPIA DE VAP ---BTU/LB

TEMPERATURA	P DE VAP	V LIQ SAT	V VAP SAT	H LIQ	H VAP	DH DE VAP
140.00	13.173	1.47730	.343-.26	-632-.63	-485-.34	147.29
150.00	15.132	1.49567	.239-.35	-626-.84	-481-.16	145.68
160.00	13.771	1.5007	.246-.53	-620-.99	-476-.94	144.05
170.00	22.173	1.51133	.210-.80	-615-.07	-473-.69	142.38
180.00	22.173	1.5114	.191-.16	-609-.07	-468-.40	140.57
190.00	22.173	1.51450	.156-.43	-603-.00	-464-.09	138.91
200.00	33.211	1.5623	.135-.68	-596-.85	-479-.75	137.20
210.00	45.223	1.5792	.118-.18	-590-.62	-455-.39	135.23
220.00	47.223	1.5960	.103-.33	-584-.32	-451-.02	133.30
230.00	47.223	1.6153	.90-.373	-577-.93	-446-.62	131.31
240.00	51.220	1.6247	.79-.39	-571-.45	-442-.22	129.23
250.00	52.211	1.6240	.70-.455	-564-.39	-417-.41	127.08
260.00	72.261	1.6763	.62-.412	-558-.23	-433-.39	124.85
270.00	72.261	1.6993	.55-.419	-551-.48	-428-.97	122.51
280.00	121.12	1.72227	.49-.317	-544-.63	-424-.56	120.07
290.00	111.12	1.7480	.43-.972	-537-.68	-420-.16	117.51
300.00	12.12	1.7750	.39-.274	-530-.62	-416-.79	114.83
310.00	13.12	1.1039	.35-.078	-523-.44	-411-.45	111.99
320.00	15.12	1.3351	.31-.439	-516-.14	-407-.13	109.01
330.00	17.12	1.3607	.28-.198	-508-.71	-402-.80	105.85
340.00	13.11	1.2054	.25-.280	-501-.14	-398-.65	102.49
350.00	30.11	1.2455	.23-.671	-493-.41	-394-.51	98.95
360.00	32.11	1.26001	.20-.323	-485-.52	-390-.46	95.65
370.00	32.11	1.2799	.18-.201	-477-.44	-383-.53	90.905
380.00	22.11	2.1923	.16-.276	-469-.14	-382-.75	86.392
390.00	22.11	2.1612	.14-.514	-460-.59	-379-.15	81.443
400.00	22.11	2.2376	.12-.297	-451-.73	-373-.78	75.951
410.00	21.11	2.24304	.11-.405	-442-.46	-372-.72	69.764
420.00	21.11	2.24462	.10-.017	-432-.72	-370-.05	62.664
430.00	21.11	2.24017	.8-.7040	-422-.18	-367-.97	54.211
440.00	22.11	2.2353	.7-.2551	-410-.40	-367-.61	47.788
450.00	22.11	2.23750	.5-.7173	-395-.67	-370-.02	25.651
460.00	22.11	2.20390	.5-.0388	-368-.66	-368-.66	-19.847E-.2
470.00	22.11	2.17853	.3-.7052	-342-.66	-342-.66	-50.665F-.03
480.00	22.11	2.1600	.11-.405	-328-.62	-328-.61	-6903F-.02

CA, 7.1214, VD, 71.365, TO, 729.01,

LAS VARIABLES DE LA CURVA TIENEN LOS SIGUIENTES VALORES:

TEMPERATURA --- GRADOS F  
 P DE VAP --- PSIA  
 VOL LIQ SAT --- PIE CUB/LB  
 VOL VAP SAT --- PIE CUB/LB  
 ENALPIA DE LIQ --- BTU/LB  
 ENALPIA DE VAP --- BTU/LB

TEMPERATURA	P DE VAP	V LIQ SAT	V VAP SAT	H LIQ	H VAP	DH DE VAP
140.00	11.222	1.7297	403.008	-632.63	-485.34	147.29
150.00	12.623	1.7457	340.56	-626.54	-481.16	142.68
160.00	13.316	1.7623	299.50	-620.99	-476.94	144.05
170.00	13.377	1.7794	247.54	-615.07	-472.59	142.08
180.00	13.776	1.7971	212.73	-609.07	-468.40	140.67
190.00	14.229	1.8155	183.70	-603.00	-464.09	138.91
200.00	14.371	1.8346	150.33	-598.85	-459.75	137.10
210.00	14.372	1.8533	131.77	-590.62	-455.39	135.23
220.00	14.372	1.8723	121.34	-584.52	-451.02	133.36
230.00	14.372	1.8913	110.47	-577.05	-446.66	131.31
240.00	14.372	1.9103	103.234	-571.45	-442.34	129.23
250.00	14.372	1.9431	92.733	-564.89	-437.81	127.08
260.00	14.372	1.9634	73.289	-558.23	-433.39	124.85
270.00	14.372	1.9940	65.077	-551.48	-428.97	122.51
280.00	14.372	2.0229	57.911	-544.63	-424.56	120.07
290.00	14.372	2.0524	43.435	-537.76	-420.16	117.51
300.00	14.372	2.0824	31.118	-530.82	-415.70	114.83
310.00	14.372	2.1123	21.191	-523.87	-411.45	111.99
320.00	14.372	2.1520	19.18	-516.94	-407.14	109.01
330.00	14.372	2.1915	17.101	-508.71	-402.80	105.35
340.00	14.372	2.2314	15.685	-501.44	-398.50	102.09
350.00	14.372	2.2713	13.621	-493.61	-394.21	98.35
360.00	14.372	2.3112	11.643	-485.52	-390.46	95.05
370.00	14.372	2.3511	9.693	-477.44	-386.53	90.95
380.00	14.372	2.3910	7.740	-469.16	-382.79	86.192
390.00	14.372	2.4309	5.843	-460.39	-379.15	81.43
400.00	14.372	2.4708	4.043	-451.74	-375.26	75.951
410.00	14.372	2.5107	2.326	-443.53	-372.72	69.768
420.00	14.372	2.5506	1.621	-435.63	-370.05	62.653
430.00	14.372	2.5905	1.021	-427.95	-367.97	55.211
440.00	14.372	2.6304	5195	-419.50	-367.01	42.788
450.00	14.372	2.6703	7135	-395.47	-370.02	25.850
460.00	14.372	2.7102	9121	-368.66	-368.66	-200.01E-12
470.00	14.372	2.7501	10.222	-362.66	-362.66	-50748E-13
480.00	14.372	2.7900	621	-328.42	-329.01	96858E-02

122

Tabla 74 : n-HEXANO. Forma 6

C<sub>0</sub>= 6.9119, V<sub>0</sub>= 77.224, T<sub>0</sub>= 329.34,

LAS VARIABLES DE LA CURVA TIENEN LAS SIGUIENTES UNIDADES:

TEMPERATURA --- GRADOS F

P DE VAP -----PSIA

VOL LIQ SAT ---PIE CUB/LB

VOL VAP SAT ---PIE CUB/LB

ENTALPIA DE LIQ ---BTU/LB

ENTALPIA DE VAP ---BTU/LB

TEMPERATURA	P DE VAP	V LIQ SAT	V VAP SAT	H LIQ	H VAP	DH DE VAP
140.00	11.426	1.7366	395.54	-631.54	-481.37	146.17
150.00	11.321	1.7527	334.39	-625.77	-481.19	144.59
150.00	11.320	1.7592	294.80	-619.94	-476.97	141.32
170.00	11.155	1.7961	243.81	-614.03	-472.71	141.32
130.00	22.422	1.8041	209.75	-608.05	-468.43	139.62
190.00	26.249	1.8225	181.40	-602.00	-464.12	137.88
100.00	31.346	1.8416	157.10	-595.87	-459.70	136.08
110.00	31.222	1.8615	137.21	-581.96	-455.33	134.28
120.00	31.182	1.8823	110.07	-583.47	-451.05	132.50
130.00	31.121	1.9039	105.44	-577.00	-446.66	130.35
240.00	32.315	1.9265	92.797	-570.55	-442.26	128.95
250.00	32.233	1.9504	92.953	-564.00	-437.84	126.16
260.00	32.179	1.9756	93.336	-557.37	-433.42	123.95
270.00	32.103	1.9913	94.428	-551.64	-429.01	121.63
280.00	32.043	1.999	97.527	-546.81	-424.60	119.80
290.00	32.005	2.0095	91.341	-538.88	-420.50	118.60
310.00	32.0912	2.01912	45.882	-529.84	-415.82	114.04
410.00	32.1253	2.0253	41.004	-522.69	-411.43	111.21
420.00	32.112	2.02616	36.789	-515.41	-407.15	108.26
430.00	32.102	2.02111	42.993	-508.01	-402.88	105.19
440.00	32.093	2.02641	26.593	-500.47	-398.66	101.80
450.00	32.083	2.02012	26.550	-492.77	-394.52	98.24
460.00	32.073	2.02472	27.813	-489.91	-390.27	95.31
470.00	32.063	2.02046	27.813	-479.76	-388.74	92.51
480.00	32.053	2.02675	19.081	-468.59	-382.75	89.84
490.00	32.043	2.02435	17.123	-460.08	-379.14	86.94
500.00	32.033	2.02320	15.132	-451.26	-375.76	75.49
510.00	32.023	2.02411	13.385	-442.06	-372.60	69.36
520.00	32.013	2.02372	11.780	-433.24	-370.91	62.31
530.00	32.003	2.02094	10.170	-423.98	-368.74	56.68
540.00	31.993	2.02330	8.2134	-410.92	-367.30	47.24
550.00	31.983	2.02371	6.7049	-399.46	-369.40	42.56
560.00	31.973	2.02917	9.9145	-386.60	-368.67	37.01
570.00	31.963	10.217	10.217	-382.64	-364.64	31.61
430.00	31.953	13.637	13.633	-328.59	-328.59	101.61E-01

123

Tabla 75 : n-MEXANOD. FORMA 7

RESET\_E2EE 2023-10-22 10:23:22.27729 16.947184229 DE 2023-10-22



```

160      5 RESET FREE
270      C PROGRAMA PARA COMPARAR SEGUNDOS COEFICIENTES VIRIALES CALCULADOS
370      C CON LOS PARAMETROS QUE DA CHIEN Y A PARTIR DE DATOS CRITICOS.
400      C SE COMPARAN CONTRA DATOS OBTENIDOS DE LA BIBLIOGRAFIA.
500
600
700
800
900
1000
1100
1200
1300
1400
1500
1600
1700
1800
1900
2000
2100
2200
2300
2400
2500
2600
2700
2800
2900
3000
3100
3200
3300
3400
3500
3600
3700
      DIMENSION A(5),CC(3),TT(3),VV(8),TD(50),BB(50),B(50),D(8),DE(8)
      J=4; K=3
      READ(S,/)B0,B1,B2,(A(N),N=1,J),X,Y
      READ(S,/)L,(T,(I),TT(I),VV(I),B(I),I=1,K)
      READ(S,/)TD(I),BB(I),I=1,L
      WRITE(C,1)
      DO 2 I=1,L
      DO 3 O=1,K
      C=CC(O)
      T0=TT(O)
      V0=VV(O)
      T=TD(I)/T0
      S=0
      DO 4 I=1,J
      S=S+A(I)/T**I
      B(O)=V0*(X*(4+(3+C/2)*(Y-1))+(1+(C/2)*(B0+B1/T+B2*T))*S)
      D(O)=D(O)+A(O)*S*(T(I)-T(B(I)))*B(O)
      WRITE(C,1)TD(I),BB(I),(B(O),O=1,K)
      DO 15 O=1,K
      DE(O)=D(O)+100/L
      WRITE(C,1)(DE(I),I=1,K)
      1 FORMAT(//1X,"TEMPERATURA",40X,"SEGUNDO COEFFICIENTE VIRIAL",//1X,
      *110(" -"),//6X,"CORRELACIONES",//1X,110("-"),//14X,"EXP",8X,
      *"COR",2X,"1",1X,"-",1X,"3",1X,"6",1X,"5",1X,"8",1X,"7",1X,
      10 FORMAT(G11.5,G11.5,G11.5,G11.5,G11.5,G11.5,G11.5,G11.5,G11.5),
      20 FORMAT(1X,"DE DESVIACION",5X,G11.5,1X,G11.5,1X,G11.5,1X,G11.5),
      30 STOP
      END

```

KFILE: EVII/CURVA (01/17/15)

```

100      1 RESET FREE
200      C PROGRAMA PARA CALCULAR CURVAS DE SATURACION CON LA ECUACION
300      C DE ESTADO "CORI"
400
500
600      DIMENSION V(11),V1(11)
700      COMMON/READ/II,J1,J2,J3,I1,X,Y
800      COMMON/READ/C06,REF,P01,R1,R2,R3
900      COMMON/READ/I,J3,J4,I1,I2,I3,I4
1000     COMMON/READ/V(11),F1,V
1100     J=4,K=0
1200     READ(5,10)J1,V1(1),V1(2),T0,T1,T2L
1300     READ(5,10)J2,J3,J4,I1,I2,I3,I4
1400     READ(5,10)R1,R2,R3
1500     READ(5,10)V(11),F1,V
1600
1700     PRINT*,C,"V0=",V0,"VI=",VI,"T0=",TK
1800     WRITE(6,25)
1900     WRITE(6,25)
2000     VV=VV
2100     D0=100 L=1,0
2200     TD=TEMP+331
2300     V1V=VV
2400     D0=10 I=0,75
2500     CALL PFC(V1,V,P1V,F1V,ZV,T0)
2600     CALL PFC(V1,L,P1L,F1L,ZL,T0)
2700     ERRORP=P1V-P1L
2800     ERRORF=F1V-F1L
2900     IF(ABS(ERRORP).LE.(TOL*(P1V+P1L)).AND.ABS(ERRORF).LE.(TOL*(F1L+F1V
3000     *))) GO TO 20
3100     CALL PFC(V1,V+1,J1,J2,J3,J4,ZV,F2V,Z2V,T0)
3200     CALL PFC(V1,L+1,J1,J2,J3,J4,ZL,F2L,Z2L,T0)
3300     DPV=(P2V-P1V)/(J1,J2,J3,J4)*V(V)
3400     DPL=(P1L-P0L)/(J1,J2,J3,J4)*V(L)
3500     DFL=(F2V-F1V)/(J1,J2,J3,J4)*V1V
3600     DFLV=L*(DPL*DVL-R1*R2)/DPV
3700     DELV=L*(DPL*DVL-R1*R2)/DPV
3800     VV=V1V+DELV
3900
4000     10 V1L=V1L*DVL
4100     20 FV=(P1L+P1V)/2
4200     CALL ENTHAL(V1V,ZV,SV,T0)
4300     CALL ENTHAL(V1L,ZL,SL,T0)
4400     VLSAT=(V1V*VI)^P1
4500     VVSAT=(V1V*VI)^P1
4600     DIVAP=HV-VL
4700     WRITE(6,33)TEMP,PV,VLSAT,VVSAT,VL,HV,DIVAP
4800
4900     15 FORMAT(/15X,4X,"TEMPERATURE",4X,"P DE VAP",5X,"V",5X,"L",5X,"SAT",5X,
5000     *,"V",5X,"VAP SAT",5X,"L",5X,"V",5X,"P DE VAP",5X,"SAT",5X,
5100     25 FORMAT(/15X,"LAS VARIABLES DE LA CURVA TIENE LAS SIGUIENTES UN
5200     *DADES:",5X,"TEMPERATURA -----GRADOS F",5X,"P DE VAP -----PSI
5300     */5X,"HV VOL SAT -----PIE CUBICO/LB",5X,"VOL VAP SAT -----PIE CUN
5400     */5X,"ENTALPIA DE VAP -----BTU/LB",5X,"ENTALPIA DE VAP -----BTU/LB",5X,
5500     30 FORMAT(/5X,G11.5,5X,G11.5,2X,G11.5,5X,G11.5,4X,G11.5,3X,
5600     *G11.5,4X,G11.5)
5700     END

```

```

6000 C SUBRUTINA PARA CALCULAR PRESTON Y FIGACEDAD
6100
6200      SUBROUTINE PRESTON(T,D,T0)
6300      DIMENSION A(1),B(1),C(1)
6400      J=0, K=0
6500      C01001/READ(01,111,12,1,X,Y)
6600      C01111/READ(01,111,12,1,R1,R2,R3)
6700      C01110/READ(01,111,12,1,S1,S2,S3)
6800      C01111/READ(01,111,12,1,FK)
6900 C CONVERSIÓN DE °F A °C CON CORTES/G VOL --- PESO CUB/LB MOLÍ, Y DE
7000 C TEMPERATURA EN °C A °K CONVIR --- GRADOS KELVIN
7100      V=55+4*(T-50)
7200      T=T-K*1.3
7300      T=T0/T0
7400      U=1/X
7500      FV=U-1
7600      S1=0, S2=0
7700      DO 1 I=1,1,K
7800      S0=S0+4*(C(I,1)-1)*(T**I*X)**4
7900      S1=S1+AC(I,15)/(T**I*(V)**4)
8000      CONTINUE
8100      F1T=(S0/C(2)*((T**11/(T+R2*T))
8200      F1V=(S1+(4*S0*X*(V)**4))/FV**3+(C(2)*(V-1)*(3*U**2+3*Y*U-(Y+1))/
8300      * (V**4+F1V+F1T*S0
8400      V=55+V
8500      P=Z*21*T0/V0
8600      F1=(1/2)*E((2*((Z-J-7)/FV**3-(C(2)*(Y-1)*(V+1)*ALOG(U/FV)-(C(Y+4
8700      * )*(V-5)/FV**4)))+F1T*S1+Z-1)
8800      FUS=F1*P
8900      RETURN
9000      END

2100 C SUBRUTINA PARA CALCULAR ENTALPIAS
2200
2300      SUBROUTINE ENTHL(T,V,T0,D)
2400      DIMENSION D(1,1,1,1)
2500      J=0, K=0
2600      C01011/READ(01,111,12,1,X,Y)
2700      C01101/READ(01,111,12,1,R1,R2,R3)
2800      C01101/READ(01,111,12,1,S1,S2,S3)
2900      C01111/READ(01,111,12,1,FK)
3000      V=55+4*(T-50)
3100      T=T-K*1.3
3200      T=T0/T0
3300      S0=0, S1=0
3400      DO 1 I=1,1,K
3500      S0=S0+4*(AC(I,1)-1)*(T**I*(V)**4)
3600      S1=S1+AC(I,15)/(T**I*(V)**4)
3700      CONTINUE
3800      U=(1+(C(2)*(1111/(T+R2*T)))*S0+(C(2)*(01/T-R2*T))*S1
3900      H1=Q1+T1+12*T1**2/2-17*T1**5/3+04*T1**4/4
4000 C ENTRALPIA DE GAS IDEAL EN CAL/GRMOL Y +TEMPERATURA EN GRADOS KELVIN
4100      H1=T0/D(1,1,1,1)
4200 C ENTRALPIA DE GAS IDEAL EN JTJ/LBMOLE
4300      H2=(T0*R2*1.3)
4400 C ENTRALPIA TOTAL EN JTJ/LB
4500      H=(C(2)*T0+(C(2)*(V-5)/FV**4))/D(1,1,1,1)+CORREC
4600      RETURN
4700      END

```

## CAPITULO V CONCLUSIONES

Un primer punto de observación es la existencia de una relación entre datos críticos y factor acéntrico de Pitzer con los parámetros de la ecuación de estado COR. Tal relación muestra ser aceptable dado el error pequeño que aparece al utilizar las correlaciones obtenidas para calcular los parámetros de la ecuación de estado a partir de datos críticos.

Un segundo punto a tratar es la forma en que la ecuación original predice el punto crítico y el factor acéntrico. Dicha predicción no es aceptable, sobre todo para w, cuyos valores predichos por la ecuación distan mucho de los valores experimentales con que se cuenta (tabla 1B).

De acuerdo a la primera observación se puede decir que con la generalización de la ecuación se esperaría obtener buenos resultados. Sin embargo al utilizar ésta y observar las tablas que muestran los porcentajes de desviación de los valores calculados con respecto a los experimentales, para distintas propiedades termodinámicas de varias sustancias, se puede ver que los errores obtenidos en el cálculo de las propiedades con la ecuación generalizada son mucho mayores que los obtenidos con los parámetros originales. Además se observa que para algunas sustancias las propiedades se corren sistemáticamente en un sentido y para otras en sentido contrario. Por ejemplo, para el metano la presión de vapor obtenida por la ecuación generalizada es casi siempre mayor que la experimental, en cambio para el benceno es casi siempre menor.

Una situación similar se tiene para la densidad del líquido saturado a isotérmas a bajas temperaturas.

Para el cálculo del segundo coeficiente virial, en la mayoría de los casos los datos obtenidos con la ecuación generalizada son más cercanos a los valores experimentales que los obtenidos con el uso de los parámetros originales en la ecuación de estado.

Por otro lado, de la segunda observación se puede deducir que al no predecir la ecuación original en forma muy exacta el punto crítico, cuando se utilicen las correlaciones con datos críticos y factor acéntrico

experimentalos los valores de los parámetros resultantes estarán desviados en cierta forma de los originales, impidiendo así uno de los objetivos del presente trabajo, el utilizar las correlaciones para obtener lo más fielmente posible los valores de los parámetros de la ecuación original. Tales resultados se pueden ver en la tabla 2A del capítulo III.

Esto muestra un poco el porqué de los resultados obtenidos en el capítulo IV.

Por todo lo dicho anteriormente se puede concluir lo siguiente:

Primero que las correlaciones para generalizar la ecuación son buenas aún cuando la ecuación generalizada no funciona de la manera esperada.

Segundo, lo anterior se debe a que la ecuación original no predice correctamente el punto crítico; por lo tanto se puede decir que para poder generalizar una ecuación uno de los puntos principales necesarios es que dicha ecuación tenga una predicción correcta del punto crítico.

Existe la posibilidad de que la ecuación COR prediga un buen punto crítico. En dicho caso será necesario efectuar un reajuste de varias de las funciones dependientes de la temperatura para lograr una buena predicción en primer término de la presión de vapor, y en segundo término, de los restantes propiedades termodinámicas. Una posibilidad sería la siguiente:  
a) reajustar los valores de las constantes  $A_{nm}$  para representar apropiadamente las propiedades del metano, usando la restricción de que la ecuación de estado prediga correctamente el punto crítico.

b) reajustar los valores de las constantes  $B_0$ ,  $B_1$  y  $B_2$  para que las propiedades de los compuestos pesados queden representadas apropiadamente, sobre todo en lo que respecta a la presión de vapor y en particular el valor de  $\omega$  (factor acéntrico de Pitzer) predicho por la ecuación de estado.

CAPITULO VI  
APENDICE A  
ELEMENTOS DE TERMODINAMICA ESTADISTICA

- Conceptos generales -
- Ley de distribución de Maxwell-Boltzman -
- Cálculo de las propiedades termodinámicas -

- Conceptos generales -

Un sistema macroscópico está compuesto de un gran número de constituyentes microscópicos. Es evidente que las propiedades termodinámicas de un sistema no son independientes de la naturaleza de sus constituyentes microscópicos, la mecánica estadística se encarga de estudiar la naturaleza, estructura y estados energéticos de estos constituyentes, a partir de lo cual derivan las propiedades macroscópicas del sistema.

Una función de partición es una expresión matemática que da una idea de la forma en que están distribuidas o repartidas las partículas microscópicas en los diferentes estados o niveles de energía del sistema, por lo tanto también se le puede llamar función de distribución o reparto.

Cuando se tiene una ecuación de estado que no proviene de una función de partición, es posible obtener las variables termodinámicas de alguna manera partiendo de las ecuaciones fundamentales de la termodinámica y las relaciones de Maxwell; pero dado el caso en que la ecuación de estado se haya derivado de una función de partición, entonces se podrán obtener las propiedades termodinámicas de un sistema particular a partir de la misma función de partición.

- Ley de distribución de Maxwell-Boltzman -

Hay una posibilidad de distribución de las partículas a través de los diferentes estados dinámicos en los cuales estas se pueden encontrar, esto no implica que las partículas se muevan al azar, existen suposiciones referentes a la posibilidad de su distribución.

La ley de distribución de Maxwell-Boltzman nos dice en qué forma se reparten las partículas en los distintos niveles de energía. Tales estados de energía se pueden expresar como  $\epsilon_1, \epsilon_2, \dots, \epsilon_i$ , y como  $n_1, n_2, \dots, n_i$  las partículas que existen en cada nivel energético; existe además una gran cantidad de formas posibles de arreglo para las partículas del sistema en sus diferentes niveles, es decir, distintas maneras de acomodar las partículas en la forma  $n_1, n_2, \dots, n_i$  dentro del sistema, cada uno de estos posibles arreglos o formas de distribución se denominan microestados, pero de cualquier forma se debe cumplir para un sistema o macroestado cualquiera, primero, que la suma de todos las partículas dis-

tribuidas es el número total de partículas, y segundó, que la suma de las energías de las partículas distribuidas en los distintos estados energéticos es la energía total del sistema, es decir:

$$\sum n_i = N \quad (1)$$

$$\sum n_i \epsilon_i = E \quad (2)$$

Si a cada microestado se le da la misma probabilidad, o sea que todos los estados de energía tienen la misma probabilidad de ser ocupados, entonces se puede establecer que la probabilidad de obtener una determinada partición o reparto es proporcional al número total de arreglos diferentes o formas distintos en que las partículas se pueden distribuir.

La siguiente fórmula combinatorial representa tal número de formas diferentes a número total de microestados.

$$\alpha = \frac{N!}{n_1! n_2! n_3! \dots} \quad (3)$$

Por otro lado, si no se le da la misma probabilidad a cada microestado puede suceder que los diferentes niveles tengan una cierta probabilidad intrínseca que los favorecería con respecto a los demás, esta probabilidad intrínseca está representada por la degeneración o multiplicidad de un estado y se representa por  $g_i$ ; entonces la probabilidad de encontrar una partícula en el estado  $\epsilon_i$  será:

$$g_i^{n_i},$$

con esto la ecuación (3) queda de la siguiente forma:

$$\alpha = \frac{N! g_1^{n_1} g_2^{n_2} \dots}{n_1! n_2! n_3! \dots} \quad (4)$$

Si se considera que las partículas son idénticas no se puede diferenciar una de otra, entonces estas pueden cambiar de lugar indistintamente y todas las  $N!$  permutaciones conducen a la misma partición; así dividien-

do entre  $N!$  se obtiene:

$$\Omega = \frac{g_1^{n_1!}}{n_1! n_2! n_3! \dots} \quad (5)$$

tomando logaritmos,

$$\ln \Omega = \sum n_i \ln g_i - \sum \ln n_i!$$

aplicando la fórmula de Stirling para logaritmo de un factorial,

$$\ln \Omega = \sum n_i \ln g_i - \left[ \sum n_i \ln n_i - n_i \right]$$

$$\ln \Omega = \sum n_i \ln g_i - \sum n_i \ln n_i + \sum n_i$$

$$\ln \Omega = N - \sum n_i \ln \frac{n_i}{g_i}$$

Para encontrar el estado de equilibrio ó estado más estable, se tiene que encontrar la distribución más probable ó máxima, que se obtiene buscando un valor máximo de  $\Omega$  por lo tanto la diferenciación de la expresión anterior con respecto a  $n_i$  e igualando a cero da como resultado:

$$-d(\ln \Omega) = \sum \left( 1 + \ln \frac{n_i}{g_i} \right) dn_i = 0 \quad (6)$$

Para la solución de esta ecuación se aplica el método de Lagrange sobre multiplicadores indeterminados.

Tomando en cuenta que las condiciones (1) y (2) deben cumplirse se diferencian, se multiplican por  $\alpha$  y  $\beta$  respectivamente y se suman a (6),

$$dN = \sum dn_i = 0$$

$$dE = \sum E_i dn_i = 0$$

$$\sum \left[ \ln \frac{n_i}{g_i} + 1 + \alpha + \beta E_i \right] dn_i = 0$$

que se cumple siempre y cuando

$$\ln \frac{n_i}{g_i} + 1 + \alpha + \beta E_1 = 0$$

de donde

$$n_i = g_i e^{-(1+\alpha) - \beta E_1} \quad (7)$$

utilizando la condición (1);

$$N = \sum n_i = e^{-(1+\alpha)} \sum g_i e^{-\beta E_1}$$

despejando:

$$e^{-(1+\alpha)} = \frac{N}{\sum g_i e^{-\beta E_1}}$$

sustituyendo esta última expresión en (7)

$$\frac{n_i}{N} = \frac{g_i e^{-\beta E_1}}{\sum g_i e^{-\beta E_1}} \quad (8)$$

se obtiene la función de distribución de las energías de Boltzman.

Se puede expresar esta función de Boltzman para la distribución de las energías, más probable o máxima, sin tomar en cuenta la degeneración de los niveles, de la siguiente forma:

$$n_i = \frac{N e^{-\beta E_1}}{\sum e^{-\beta E_1}} \quad (9)$$

expresando en logaritmo:

$$\ln n_i = \ln N - \beta E_1 - \ln (\sum e^{-\beta E_1})$$

$$\ln N - \ln n_i = \beta E_1 + \ln (\sum e^{-\beta E_1})$$

multiplicando esta expresión por  $Nk$  se obtiene,

$$Nk \ln N - kN \ln n_1 = Nk \beta E_1 + Nk \ln (\sum e^{-\beta E_i})$$

y aplicando la condición (1),

$$Nk \ln N - k \sum n_i \ln n_i = k \beta \sum n_i E_i + Nk \ln (\sum e^{-\beta E_i}) \quad (10)$$

Por otra parte se sabe que la entropía es una función de probabilidad y que una función de probabilidad es igual a la constante de Boltzman por el logaritmo natural de la distribución más probable, más una constante de integración.

$$S = f(\text{probabilidad})$$

$$f(\Omega) = k \ln \Omega + \text{cte.}$$

con esto se puede expresar la entropía como:

$$S = k \ln \Omega$$

de la ecuación (3);

$$\ln \Omega = \ln N! - \sum \ln n_i!$$

por lo tanto

$$S = k \left[ \ln N! - \sum \ln n_i! \right]$$

aplicando la fórmula de Stirling para logaritmo de un factorial

$$S = Nk \ln N - kN \ln n_1 - k(\sum n_i \ln n_1 - n_2)$$

$$S = Nk \ln N - k \sum n_i \ln n_i$$

sustituyendo la expresión anterior en la ecuación (10) y aplicando la condición (2)

$$S = k_A \sum n_i E_i + Nk \ln (\sum e^{-\beta E_i})$$

$$S = k_B T + Nk \ln (\sum e^{-\beta E_i})$$

derivando con respecto a  $E_i$ , se obtiene la ecuación (11)

$$\left[ \frac{\partial S}{\partial E} \right]_V = \beta k + kE \left[ \frac{\partial \beta}{\partial E} \right]_V + Nk \frac{\sum E_i e^{-\beta E_i}}{\sum e^{-\beta E_i}} \left[ \frac{\partial \beta}{\partial E} \right]_V$$

sustituyendo el valor  $n_i$  de la ecuación (9) en la condición (2)

$$E = \frac{N \sum E_i e^{-\beta E_i}}{\sum e^{-\beta E_i}} \quad (12)$$

y sustituyendo a su vez este valor en la ecuación (11)

$$\left[ \frac{\partial S}{\partial E} \right]_V = k\beta$$

sabiendo que

$$\left[ \frac{\partial S}{\partial E} \right]_V = \frac{1}{T}$$

entonces

$$k\beta = \frac{1}{T}$$

por lo tanto el valor del parámetro sin considerar la degeneración de los niveles es:

$$\beta = \frac{1}{kT}$$

de aquí que la ecuación (8) queda de la siguiente forma

$$\frac{n_i}{N} = \frac{g_i e^{-E_i/kT}}{\sum g_i e^{-E_i/kT}}$$

que es la ley de distribución de Maxwell-Boltzmann donde:

$$q = \sum g_i e^{-E_i/kT}$$

se conoce como la función de partición o de reparto.

- Cálculo de las propiedades termodinámicas -

Si expresamos el logaritmo natural de la función de partición y se deriva con respecto a la temperatura,

$$\ln q = \ln \sum g_i e^{-E_i/kT}$$

$$\left[ \frac{\partial \ln q}{\partial T} \right]_V = \frac{1}{kT^2} \cdot \frac{\sum g_i E_i e^{-E_i/kT}}{\sum g_i e^{-E_i/kT}}$$

rearranjando la expresión:

$$\frac{\sum g_i E_i e^{-E_i/kT}}{\sum g_i e^{-E_i/kT}} = kT^2 \left[ \frac{\partial \ln q}{\partial T} \right]_V$$

si se observa la expresión anterior, se puede ver que el término de la izquierda, es muy parecido a la expresión para la energía de la ecuación (12), por lo tanto se puede expresar el valor absoluto de la energía total del sistema como:

$$E = NkT^2 \left[ \frac{\partial \ln q}{\partial T} \right]_V$$

Si se toma la sumatoria desde  $i = 1$  hasta  $N$  partículas totales del sistema para la función de partición, entonces la energía total se puede calcular como

$$E = kT^2 \left[ \frac{\partial \ln Q}{\partial T} \right]_{V, n} \quad (13)$$

para un valor constante en el número total de partículas  $N$ .

De aquí se puede partir para obtener otras propiedades, por ejemplo, sabemos que:

$$C_V = \left[ \frac{\partial E}{\partial T} \right]_V$$

entonces

$$C_V = 2 NkT \left[ \frac{\partial \ln Q}{\partial T} \right]_V + NkT^2 \left[ -\frac{\partial^2 \ln Q}{\partial T^2} \right]_V$$

$$C_V = 2kT \left[ \frac{\partial \ln Q}{\partial T} \right]_{V,N} + kT^2 \left[ -\frac{\partial^2 \ln Q}{\partial T^2} \right]_{V,N}$$

en cuyo caso es más práctico obtener la energía y luego  $C_V$ , y no  $C_V$  directamente.

Para la entropía se tiene que:

$$dS = C_V dT/T$$

$$dS = 2k d \ln Q + kT d(d \ln Q/dT)_{V,N}$$

$$\int dS = 2k \int d \ln Q + k \int T d(d \ln Q/dT)_{V,N} + S_0$$

utilizando  $dt=T$  y  $dv=d(d \ln Q/dT)_{V,N}$  como cambios de variables para resolver la integral:

$$S = 2k \ln Q + kT \left[ \frac{d \ln Q}{dT} \right]_{V,N} - k \int d \ln Q + S_0$$

$$S = k \ln Q + kT \left[ \frac{d \ln Q}{dT} \right]_{V,N} + S_0$$

sustituyendo la ecuación (3) en esta expresión:

$$S = k \ln Q + \frac{E}{T} + S_0$$

La expresión para la entropía queda de la forma,

$$S = \frac{E}{T} + k \ln Q \quad (14)$$

Utilizando la relación termodinámica para energía libre de Helmholtz,

$$A = E - TS$$

junto con la expresión (14) para la entropía:

$$A = E - E - kT \ln Q$$

$$A = -kT \ln Q \quad (15)$$

de las ecuaciones fundamentales de la termodinámica se tiene:

$$dA = -pdV - SdT + \sum \mu_i dn_i$$

A partir de la expresión anterior y la ecuación (15), junto con algunas relaciones termodinámicas se puede conocer cualquier función termodinámica a partir de la función de partición.

la siguiente tabla muestra dichas variables termodinámicas.

TABLA 1A

Variables termodinámicas a partir de una función de partición.

$$E = kT^2 \left( \frac{d \ln Q}{dT} \right)_{V,N}$$

$$C_V = \left( \frac{\partial E}{\partial T} \right)_{V,N} = kT \left[ 2 \left[ \frac{\partial \ln Q}{\partial T} \right]_{V,N} + T \left[ \frac{\partial^2 \ln Q}{\partial T^2} \right]_{V,N} \right]$$

$$A = -kT \ln Q$$

$$S = -\left( \frac{\partial A}{\partial T} \right)_{V,N} = k \ln Q + kT \left[ \frac{d \ln Q}{dT} \right]_{V,N}$$

$$P = -\left( \frac{\partial A}{\partial V} \right)_{T,N} = kT \left[ \frac{\partial \ln Q}{\partial V} \right]_{T,N}$$

$$\mu_1 = \left( \frac{\partial A}{\partial N_1} \right)_{T,V,N_{x1}} = -kT \left[ \frac{\partial \ln Q}{\partial N} \right]_{T,V,N_{x1}}$$

$$G = A + PV = -kT \left[ \ln Q - V \left[ \frac{\partial \ln Q}{\partial V} \right]_{T,N} \right]$$

$$H = E + PV = kT \left[ T \left[ \frac{\partial \ln Q}{\partial T} \right]_{V,N} + V \left[ \frac{\partial \ln Q}{\partial V} \right]_{T,N} \right]$$

$$C_P = \left( \frac{\partial H}{\partial T} \right)_{P,N} = kT \left[ 2 \left[ \frac{\partial \ln Q}{\partial T} \right]_{V,N} + T \left[ \frac{\partial^2 \ln Q}{\partial T^2} \right]_{V,N} + V \left[ \frac{\partial \ln Q}{\partial V} \right]_{T,P} \right]$$

CAPITULO VII  
BIBLIOGRAFIA

- 1 Alder, B.J., D.A. Young, and M.A. Mark, J. Chem. Phys., 56, 3013 (1972).
- 2 Barker, J.A. and D.Henderson, J. Chem. Phys. 47, 4714 (1967).
- 3 Bazúa, R.E., Apuntes de termodinámica, Facultad de Química, UNAM.
- 4 Berst, S. and J. M. Prausnitz, Macromolecules, 8, 878 (1975).
- 5 Boublík, T. and I. Nezbeda, Chem. Physics Letters, 46, 315 (1977).
- 6 Butler, J.A.V., C.N. Ramchandran and D.W. Thompson, J.Chem. Soc. London, 280 (1935).
- 7 Butler, J.A.V. and C.N. Ramchandran, J. Chem. Soc. London, 952 (1935).
- 8 Chien, C.H., R.A.Greenkorn and K.C. Chao, AIChE J., 29, 560 (1983).
- 9 Felsing, W.A., G.M. Watson, J. Am. Soc., 64, 1822 (1942).
- 10 Fischer, J., J.Chem. Phys., 72, 5371 (1980).
- 11 Fredenslund, A., J. Gmehling and P. Rasmussen, Vapor-Liquid Equilibrium Using UNIFAC, Elsevier 1977.
- 12 Goodwin, R.D. The Thermophysical Properties of methane from 90 to 500 °K at pressures to 700 bar; National Bureau of Standards, (1974).
- 13 Henderson, D., Practical Calculations of the Equations of State of Fluids and Fluids Mixtures Using Perturbation Theory and Related Theories, in Equations of State in Engineering and Research, K. C. Chao and R.L. Robinson, Published by Am. Chem. Soc., Wash. D.C.
- 14 Hirschfelder, J.O., C.F. Curtis and R.B. Bird, Molecular Theory of Gases and Liquids, Wiley, N.Y. 1954.
- 15 Kohler, F.N. and J.M. Perram, J. Chem. Phys., 71, 4128 (1979).
- 16 Kenneth, E.S., Fluid Thermodynamic Properties for Light Petroleum Systems, Gulf Publishing Co. 1973

- 17 Langmuir, I., Third Colloid Symposium Monograph, N.Y. Chemical Catalog Co. 1925.
- 18 Lennard-Jones, J.E. and A.F. Devonshire, Proc. Roy. Soc. A., 163, 53 (1937).
- 19 Nitta, T., E.A. Turek, R.A. Greenkorn and K.C. Chao, AIChE J., 23, 144 (1977).
- 20 Prigogine, I., N. Trappeniers and V. Mathot, Disc. Faraday Soc., 15, 93 (1953a).
- 21 Prigogine, I., N. Trappeniers and V. Mathot, J. Chem. Phys., 21 559 (1953b).
- 22 Prigogine, I., The Molecular Theory of Solutions, p 328 et seq., Interscience Publishers, N.Y., 1957.
- 23 Smith, J.M. and H.S. Van Ness, Introducción a la termodinámica en ingeniería química, Mc. Graw Hill, México 1960.
- 24 Timmermans, Physicochemical Constants of Pure Organic Compounds, Elsevier, N.Y. 1950.
- 25 Wilson, G.M. and C.H. Deal, I. & EC, Fundamentals 1 (1), 20 (1962).